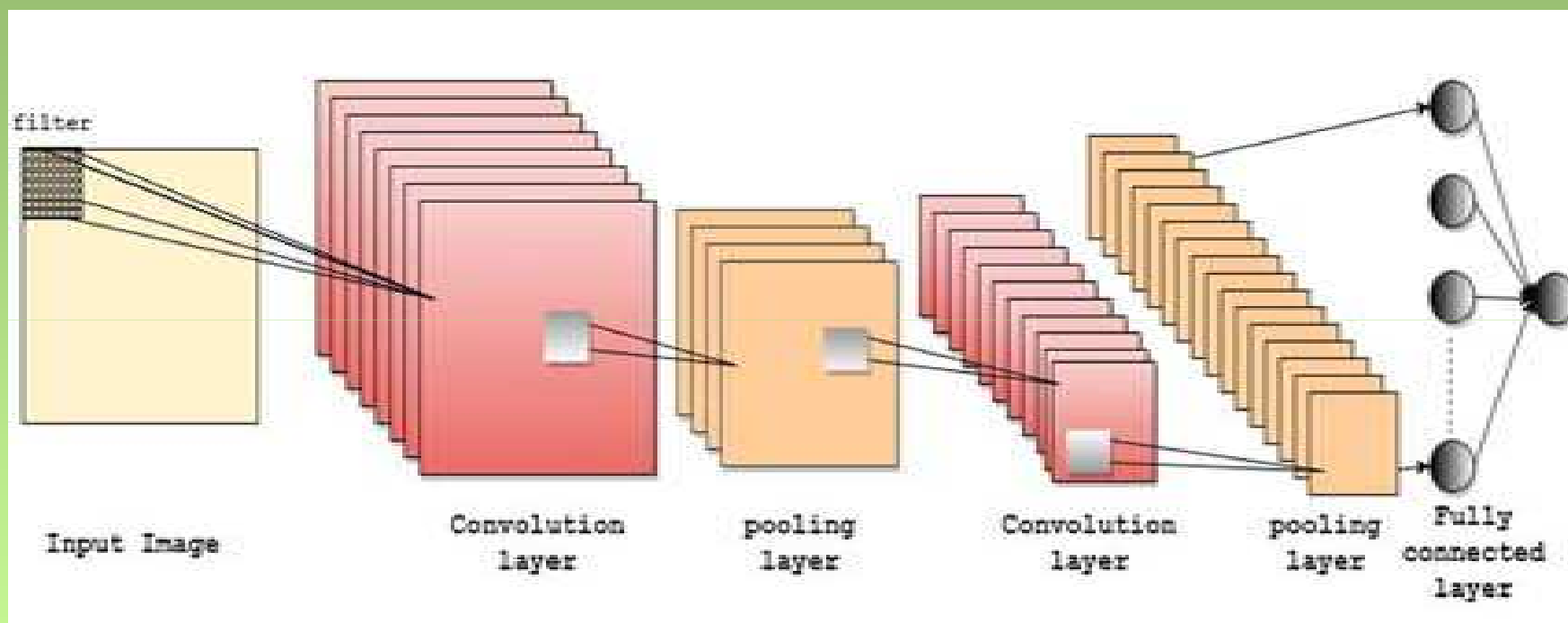




# MODELOS COMPUTACIONALES: CUARTO CURSO DEL GRADO DE ING. INFORMÁTICA EN COMPUTACION



## REDES NEURONALES CONVOLUCIONALES



**César Hervás-Martínez**  
**Grupo de Investigación AYRNA**

**Departamento de Informática y Análisis Numérico**  
**Universidad de Córdoba**  
**Campus de Rabanales. Edificio Einstein.**  
**Email: [chervas@uco.es](mailto:chervas@uco.es)**

**2019-2020**



# REDES NEURONALES CONVOLUCIONALES



**Se emplean en múltiples aplicaciones prácticas**

**Reconocimiento de imágenes, reconocimiento del habla, etiquetas de fotos de Google o Baidu**

**Han ganado varias competiciones**

**ImageNet, Kaggle Facial Expression, Kaggle Multimodal Learning, German Traffic Signs, Connectomics, Handwriting**

**Se aplican a un array de datos donde los valores cercanos están correlados: Imagen, Sonido, Video, Imágenes volumétricas, 3D, Imágenes RGB-Depth**

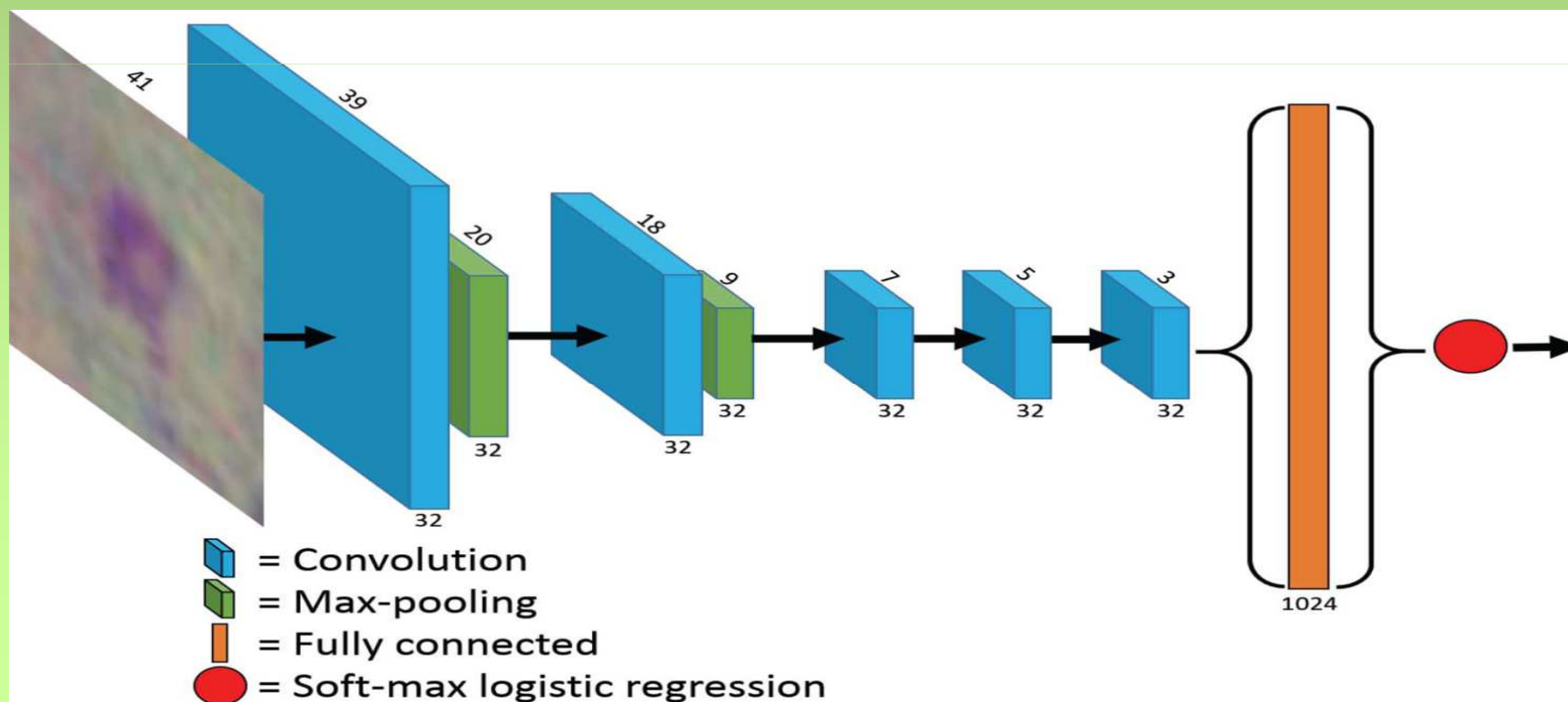
**Es uno de los pocos modelos profundos que puede ser entrenado de modo puramente supervisado**



# ¿Que son las Redes Neuronales Convolucionales?



Son esencialmente redes neuronales que utilizan convolución en lugar de matrices generales multiplicativas en al menos una de sus capas ocultas





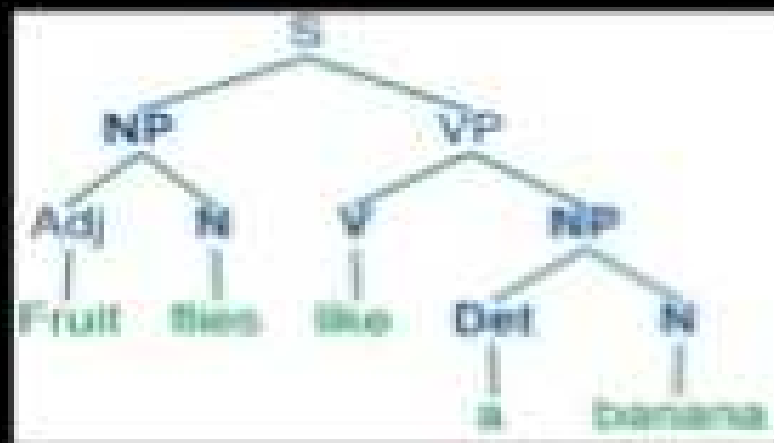
Se utilizan para la obtención de clasificadores potentes en visión, señales de audio, reconocimiento de textos, etc



Computer vision



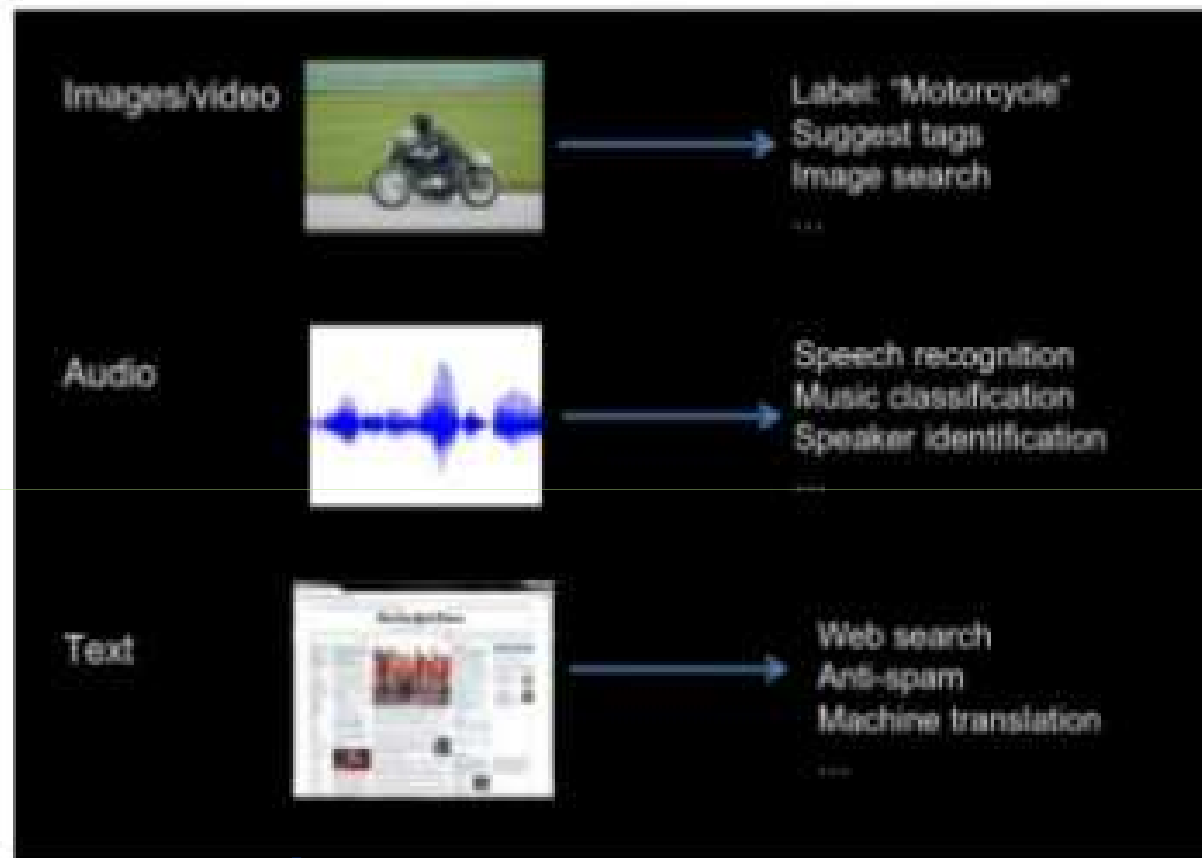
Audio



Text



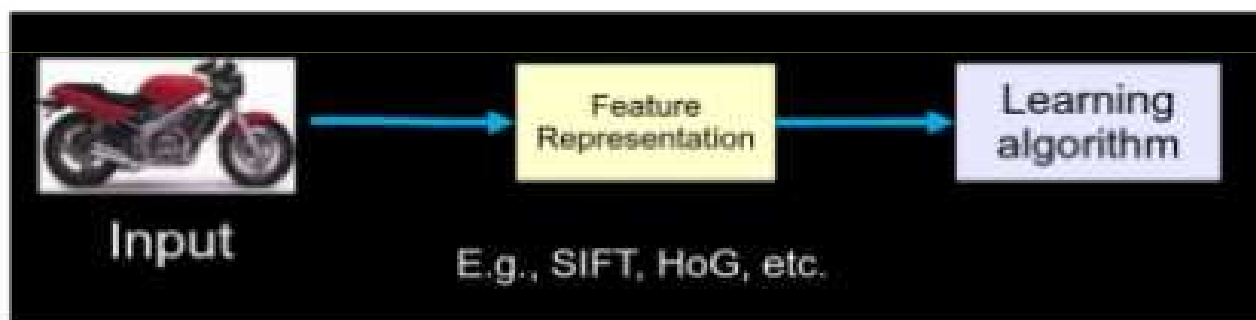
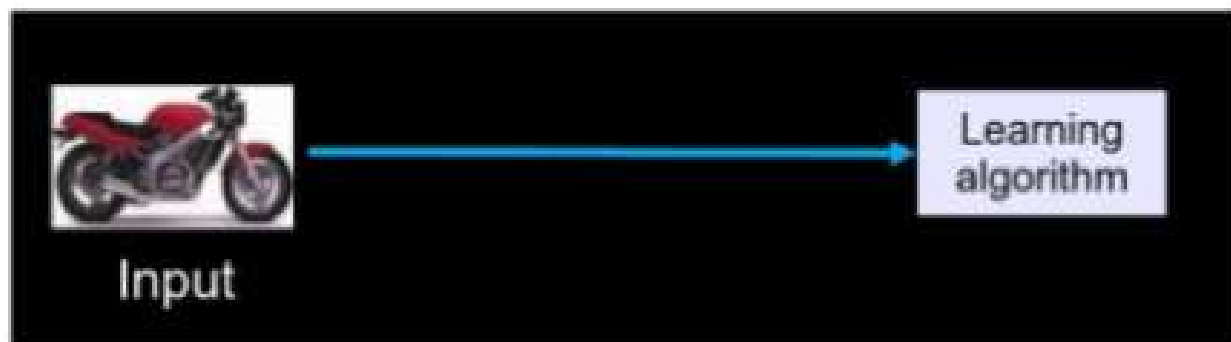
# ¿Que podemos hacer con estos datos para construir modelos de reconocimiento de patrones?



Etiquetar imágenes, sugerir etiquetas, buscar imágenes, reconocimiento del habla, clasificación de música, identificación de locutores, búsquedas en la web, detección de emails no deseados, traducción automática, etc.



## Representación de características



En 1999, David Lowe publicó su primer artículo sobre Scale-invariant feature transform (SIFT), donde describió un algoritmo de detección de características invariante tanto a rotaciones como al escalado de las imágenes



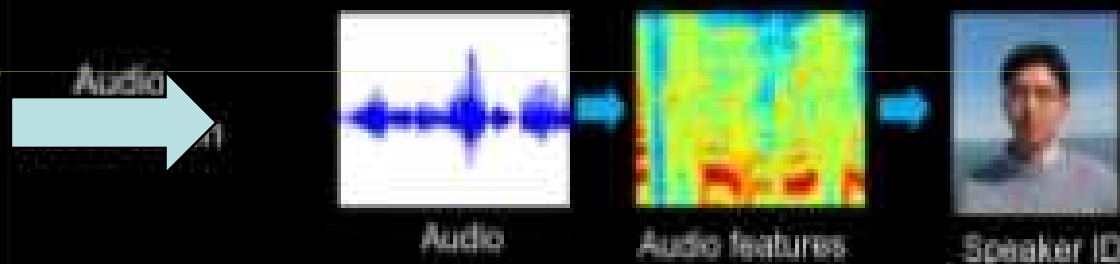
# ¿Como realiza la percepción la computadora?



**Detección de  
objetos**



**Clasificación de  
Audio**

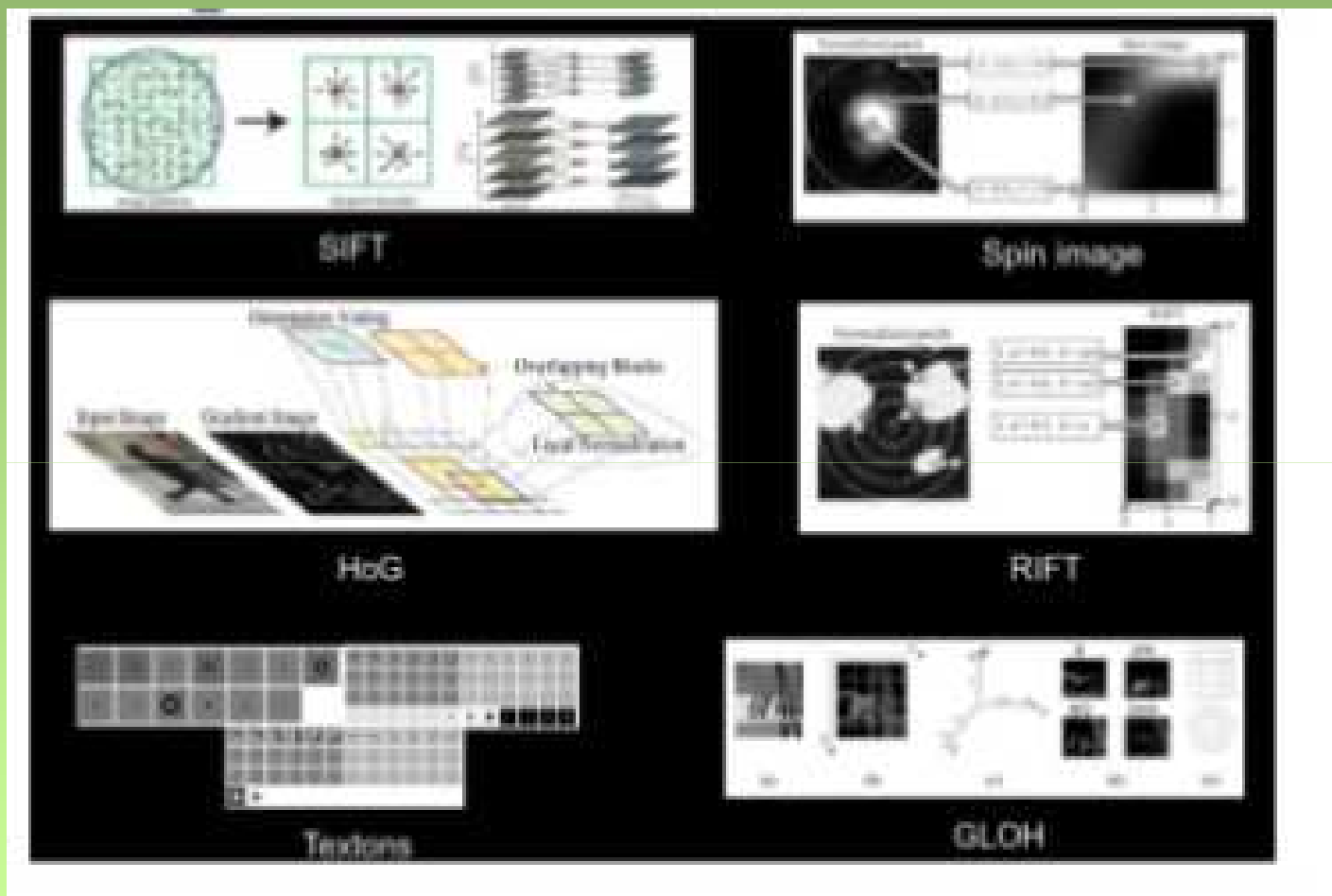


**Procesamiento  
del  
lenguaje natural**





## Características en visión

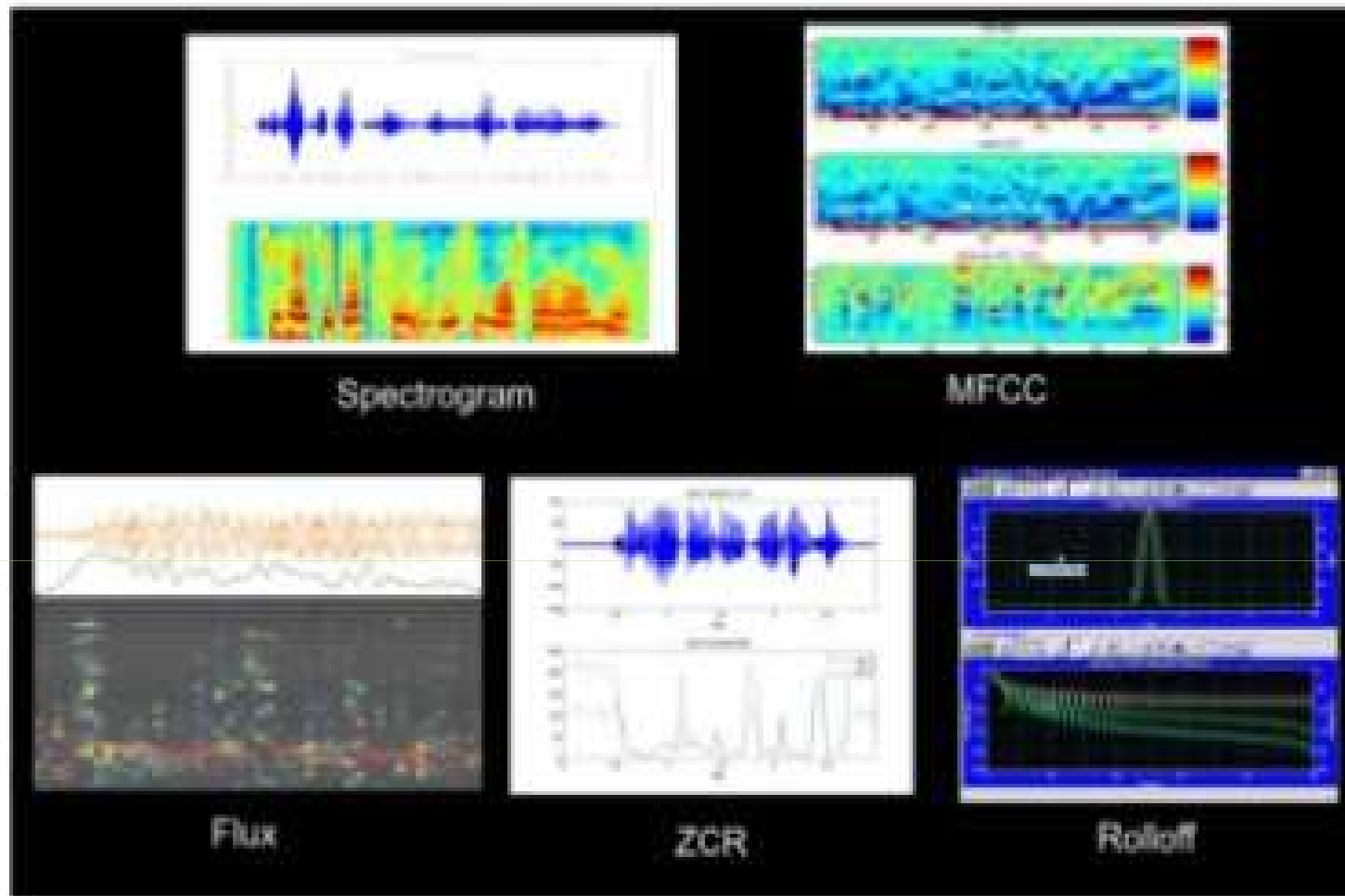


**Obtener estas características es difícil,  
y requiere mucho tiempo y conocimiento experto**

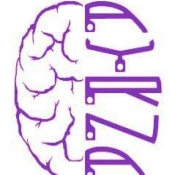




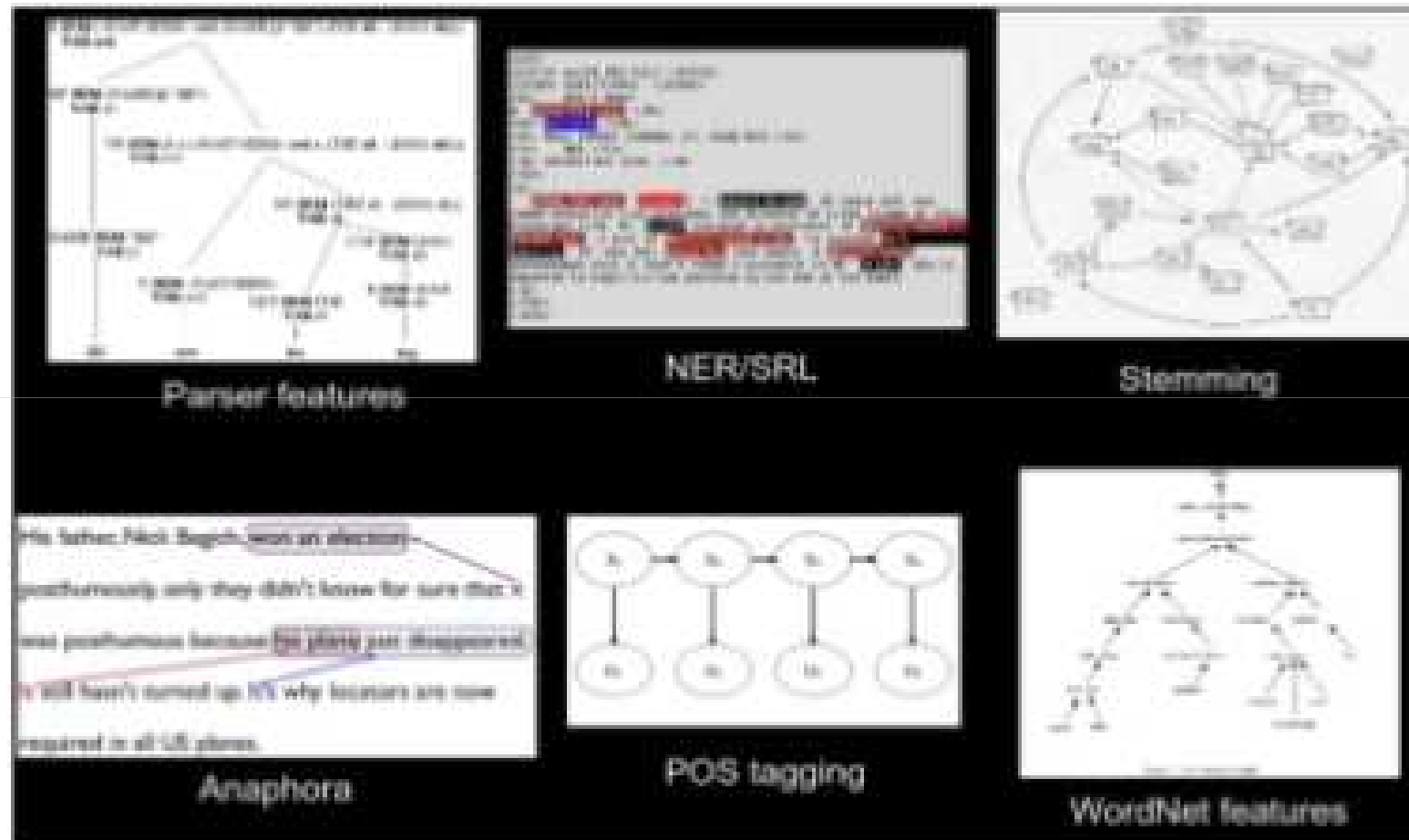
## Características de audio



**Zero-crossing rate, ZCR es la tasa de cruce por el cero; o lo que es igual a la tasa de cambio de signo a lo largo de una señal, es decir, la velocidad a la que la señal cambia de positivo a negativo o viceversa.**



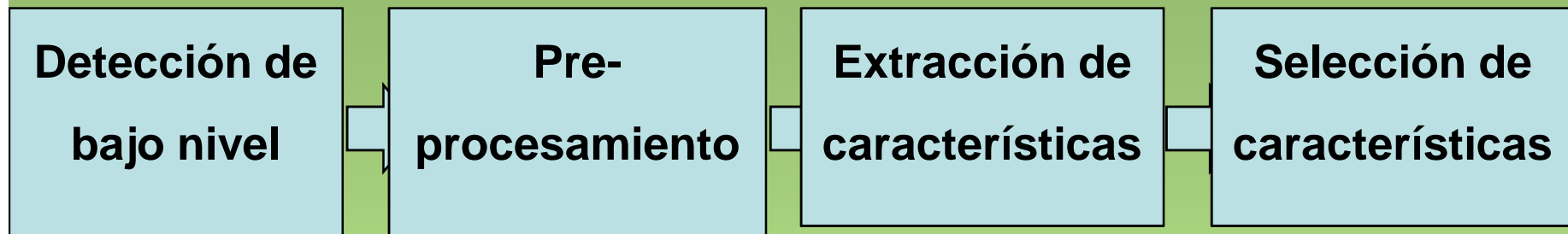
# Características del Procesamiento del Lenguaje Natural, NLP



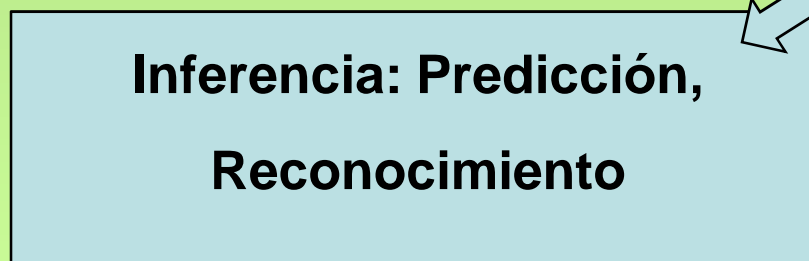
**Obtener estas características es difícil,  
y requiere mucho tiempo y conocimiento experto**



# Representación de las características



**Aprendizaje de características:**  
En lugar de diseñar características, permite diseñar aprendices de características





## Aprendizaje de funciones no lineales

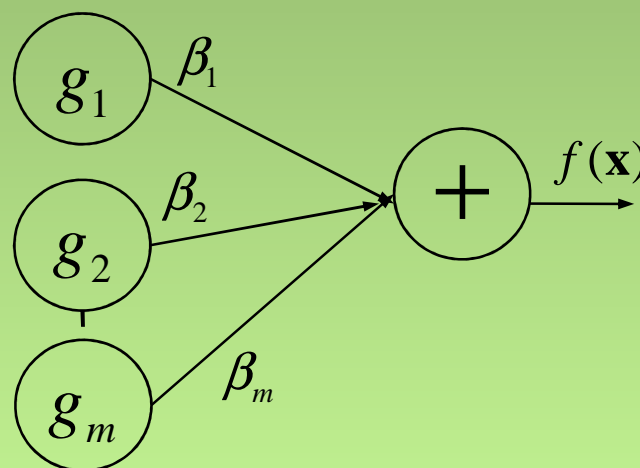


Dado un conjunto de funciones no lineales simples:

$\{g_1, \dots, g_k\}$  Podemos hacer dos propuestas:

a) Hacer una combinación lineal de dichas funciones de base, esto se llama un aprendizaje superficial.

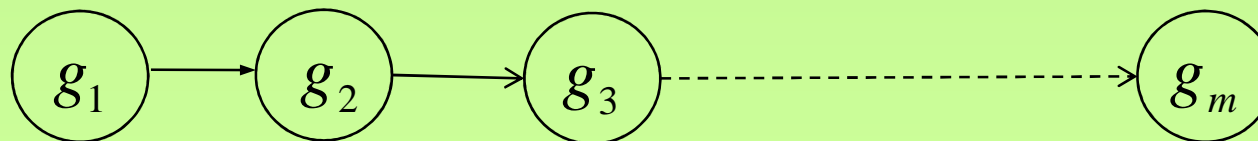
$$f(\mathbf{x}) = \sum_{j=1}^k \beta_j g_j(\mathbf{x})$$



b) Hacer una composición de estas funciones.

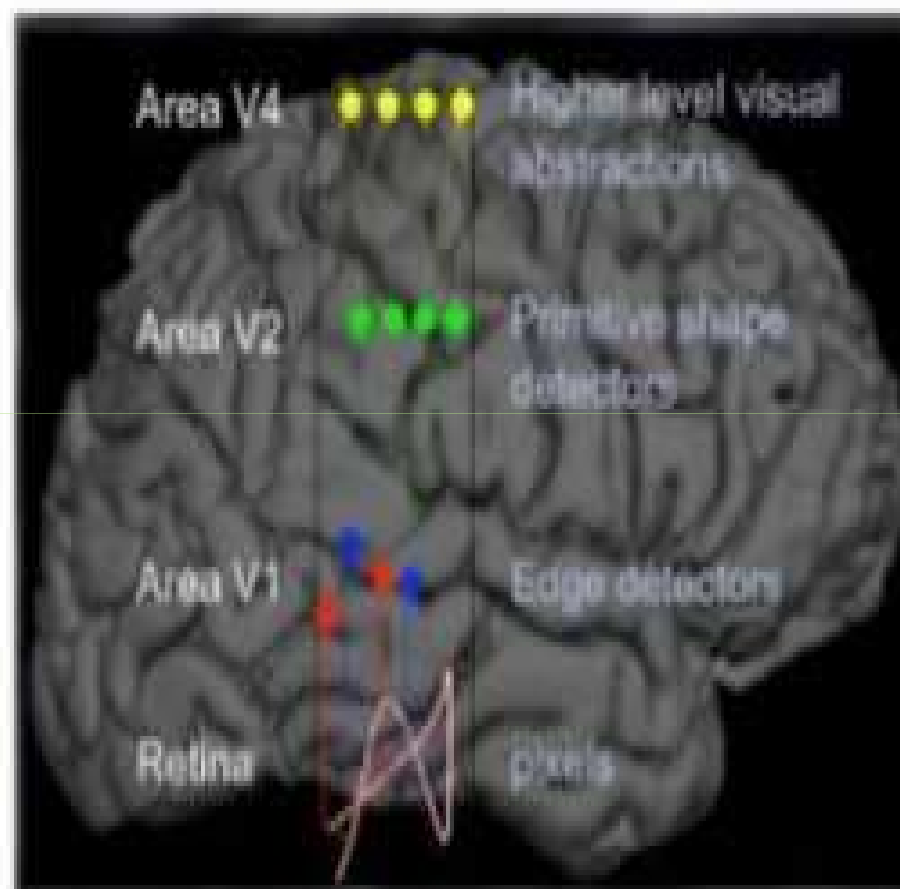
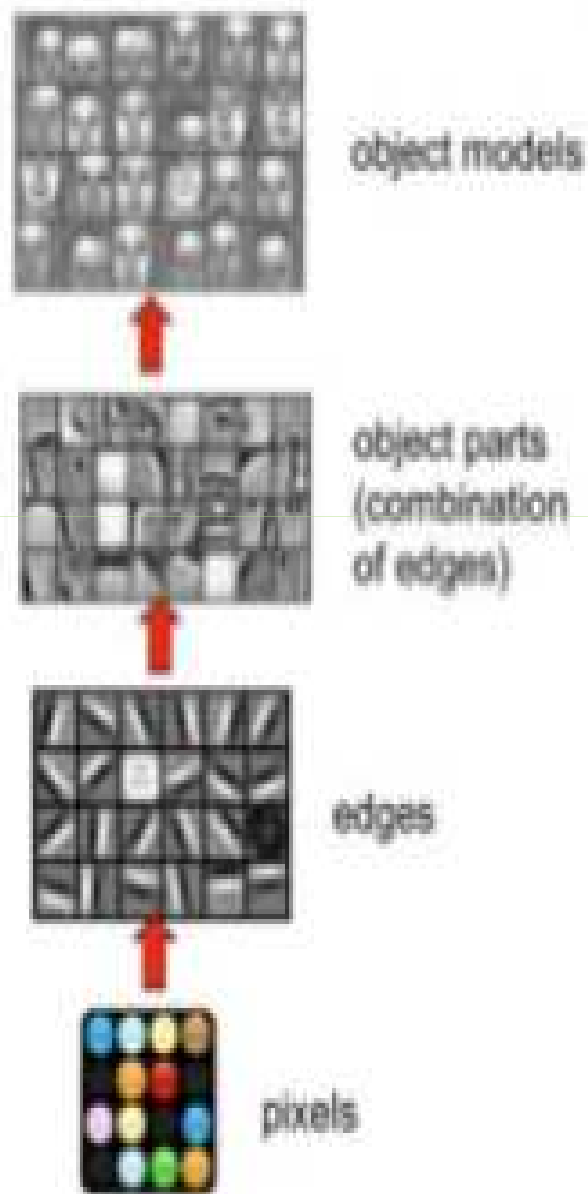
$$f(\mathbf{x}) \approx g_1(g_2(\dots g_m(\mathbf{x})))$$

A esto le llamaremos aprendizaje profundo



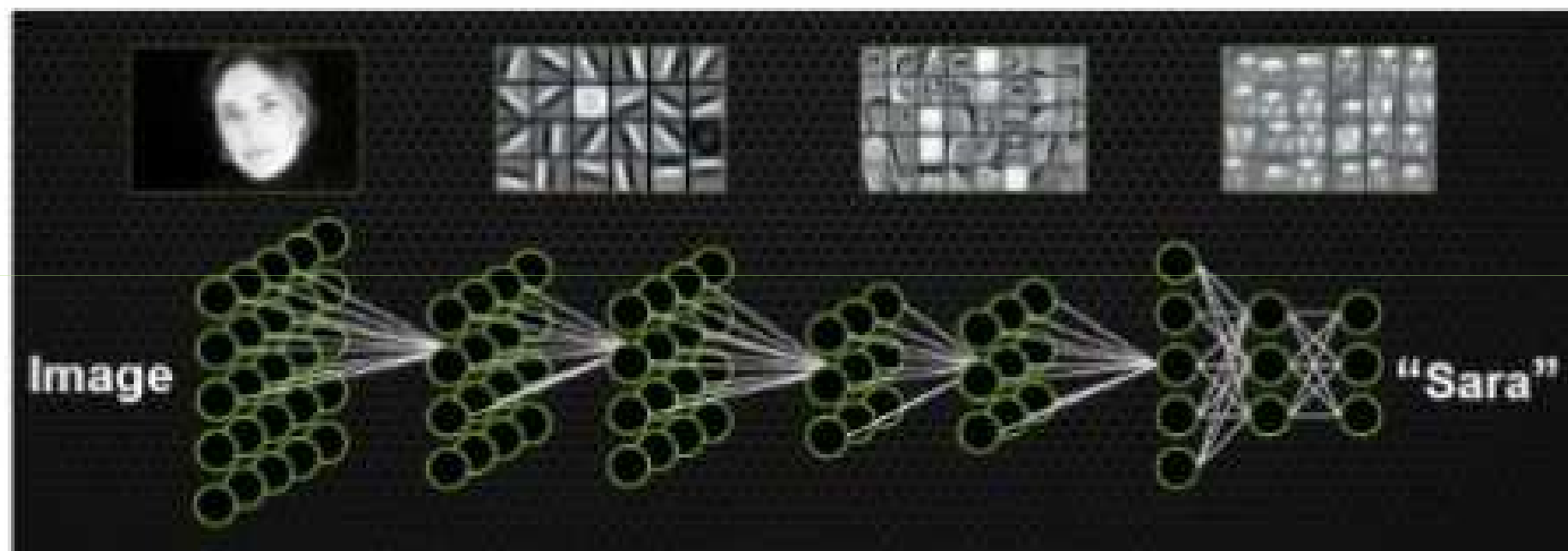


# Inspiración biológica



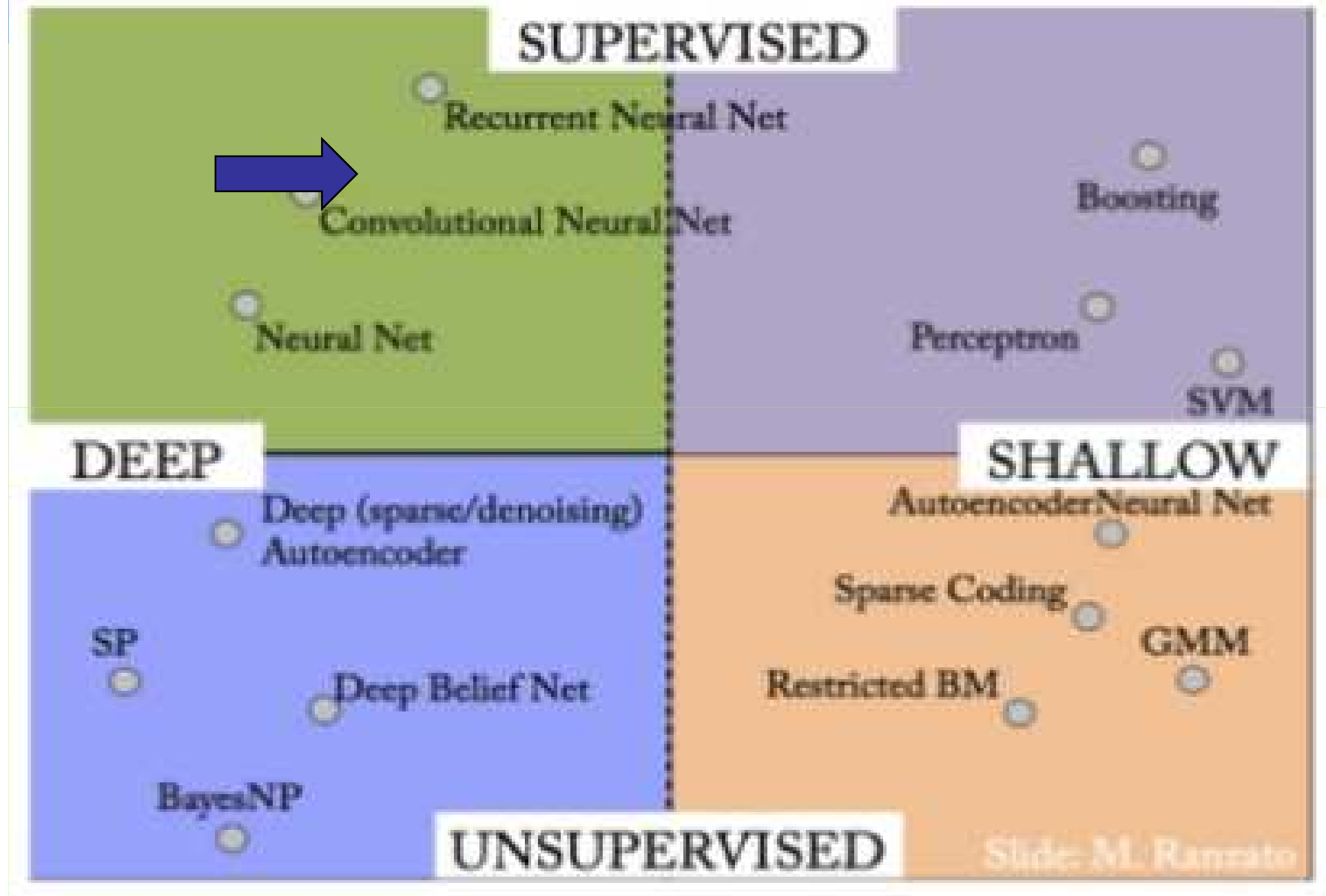
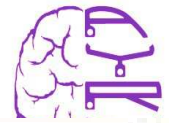


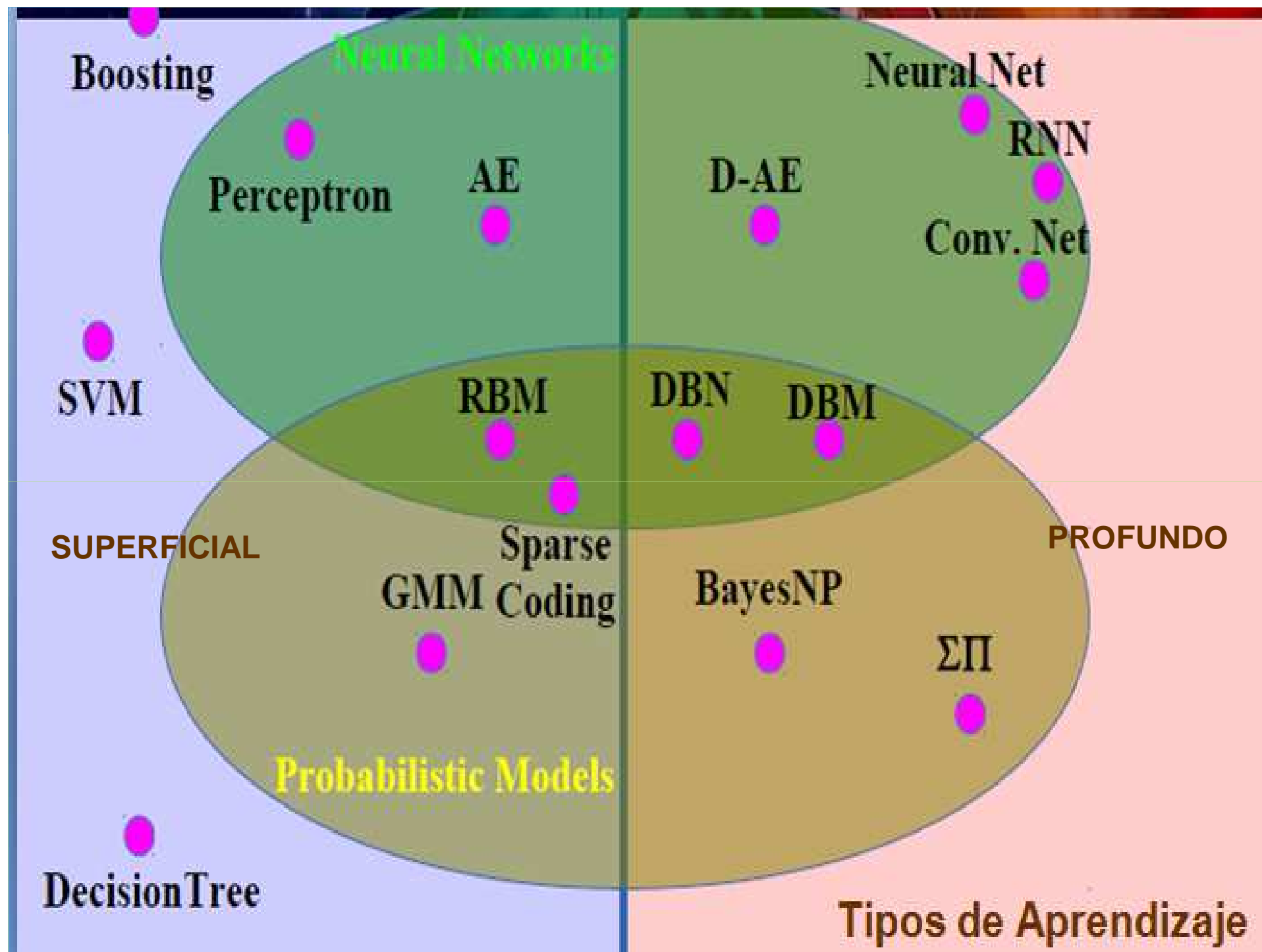
# Aprendizaje de características mediante entrenamiento profundo



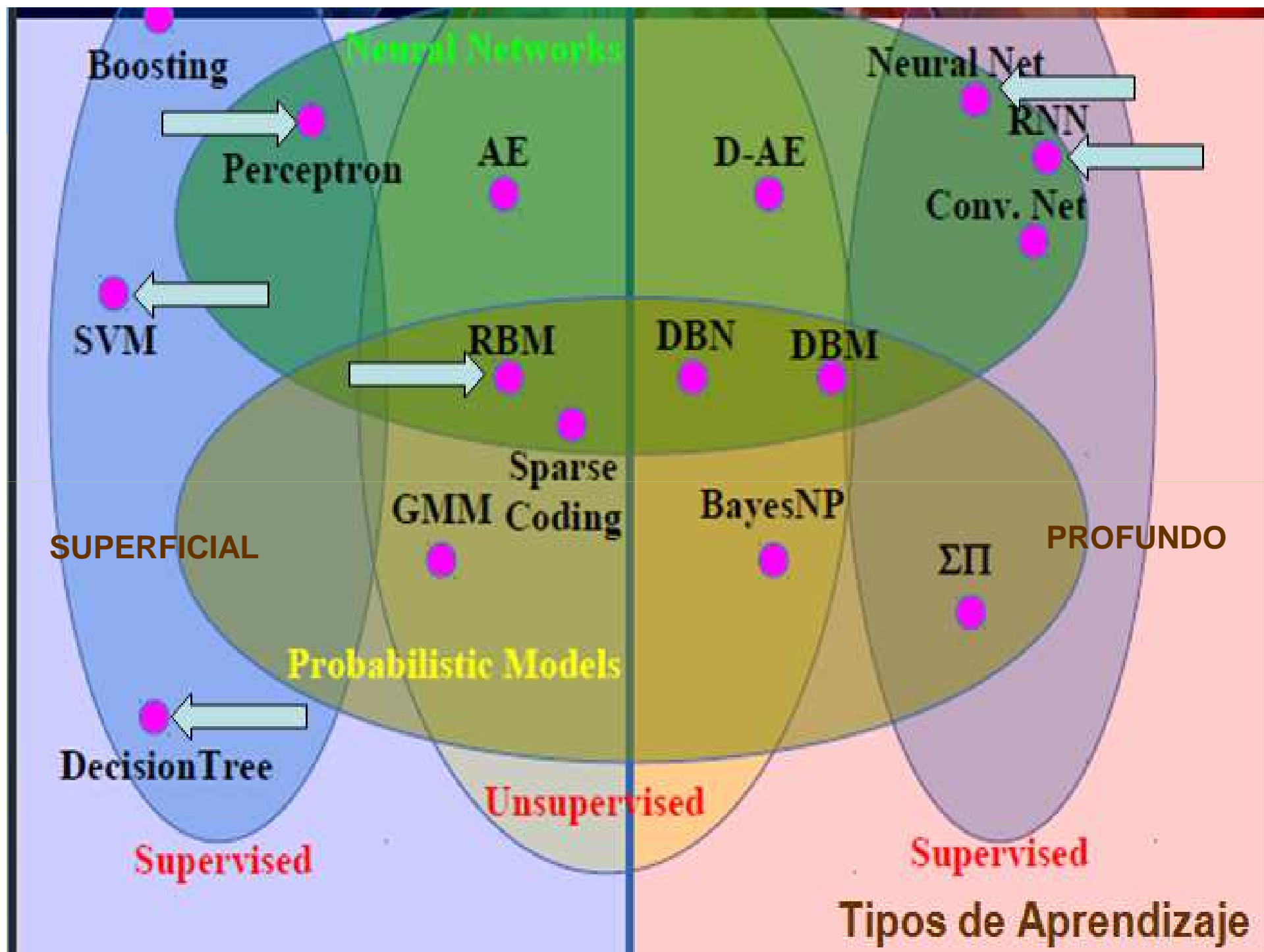


# Tipos de Aprendizaje











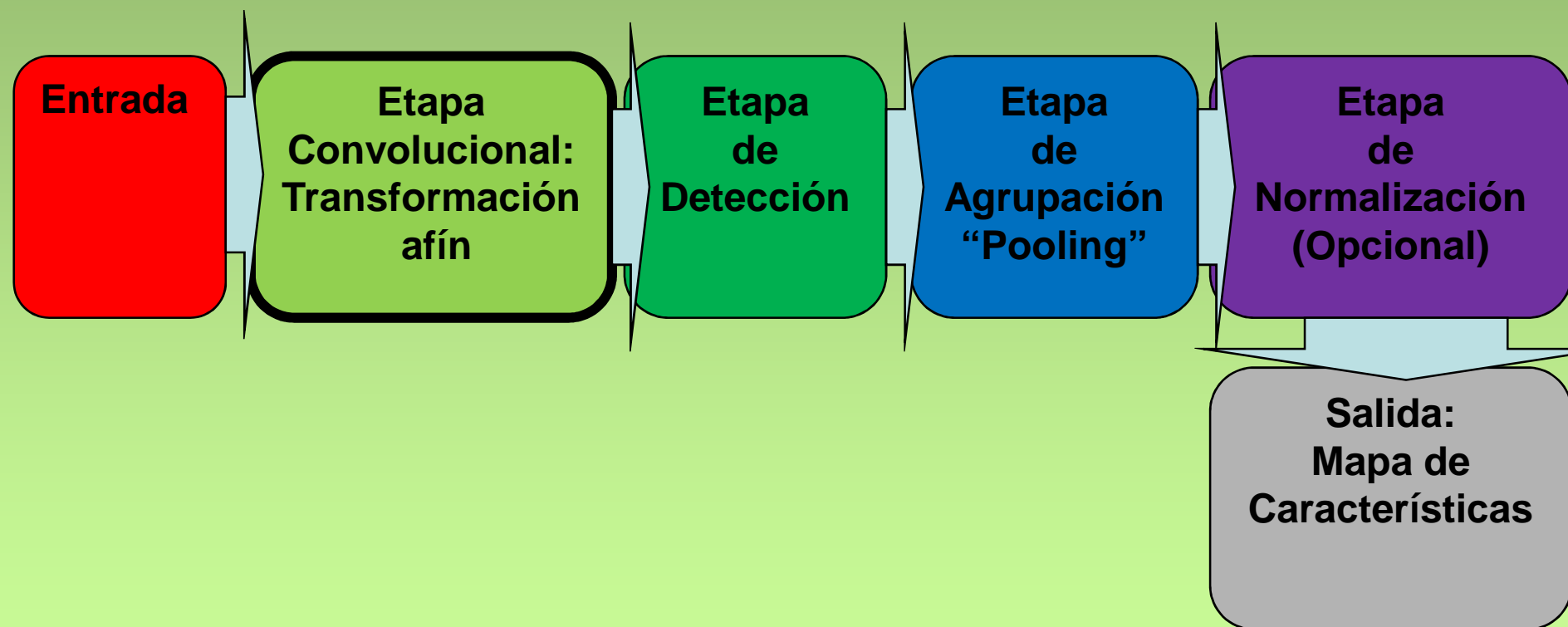
## **Etapas de una CNN**



- 1) Extracción de Características**
- 2) Campos Localmente Receptivos**
- 3) Pesos Compartidos**
- 4) Sub-muestreo espacial o temporal**



## Estructura de las capas de una CNN

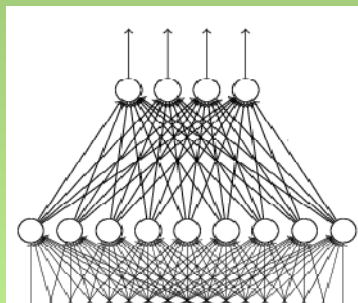




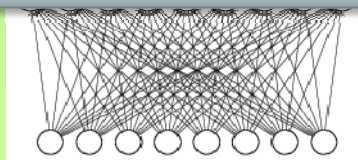
## Red CNN completa



lince, tigre, gato, ...



Red completamente  
conectada  
Red Feedforward



Convolución

Max Pooling

Convolución

Max Pooling

Alisado

La  
estructura  
se puede  
repetir  
varias  
veces



# Convolución



La convolución de las funciones  $f$  y  $g$ , escrita en la forma  $f * g$  se define como la integral del producto de las dos funciones después de que una se invierte y se desplaza, esto es

$$(f * g)(t) = \int_{-\infty}^{\infty} f(z)g(t - z)dz$$

Puede ser considerada como **una operación de promediado ponderado en cada momento** (para ello es necesario que  $g$  sea una función de densidad de probabilidad).

El intervalo de integración dependerá del dominio sobre el que estén definidas las funciones. En el caso de un rango de integración finito,  $f$  y  $g$  se consideran a menudo como extendidas, periódicamente en ambas direcciones, tal que el término  $g(t - z)$  no implique una violación del rango. La convolución es conmutativa



## Convolución discreta



Cuando se trata de hacer un procesamiento digital de señal no tiene sentido hablar de convoluciones aplicando estrictamente la definición ya que solo disponemos de valores en instantes discretos de tiempo. Es necesario, pues, una aproximación numérica.

Para realizar la convolución entre dos señales, se evaluará el área de la función:  $x(z) \cdot h(t-z)$ . Para ello, disponemos de muestreos de ambas señales en los instantes de tiempo  $nt$ , que llamaremos  $x[k]$  y  $h[n-k]$  (donde  $n$  y  $k$  son enteros). El área es, por tanto,

$$y[n] = \sum_{k=-\infty}^{\infty} t \cdot x[k] \cdot h[n-k] = t \cdot \left[ \sum x[k] \cdot h[n-k] \right]$$

La convolución discreta se determina para un intervalo de muestreo  $t=1$

$$y[n] = x[n] * h[n] = \sum_{k=-\infty}^{\infty} x[k] \cdot h[n-k]$$



## Correlación cruzada



En procesamiento de señales, la correlación cruzada (o a veces denominada "covarianza cruzada") es una medida de la similitud entre dos señales, frecuentemente usada para encontrar características relevantes en una señal desconocida por medio de la comparación con otra que sí se conoce. Es función del tiempo relativo entre las señales, a veces también se la llama *producto escalar desplazado*, y tiene aplicaciones en el reconocimiento de patrones y en criptoanálisis. Para funciones continuas se define como

$$(f * g)(x) \stackrel{\text{def}}{=} \int_{-\infty}^{\infty} f^*(t) g(x+t) dt$$

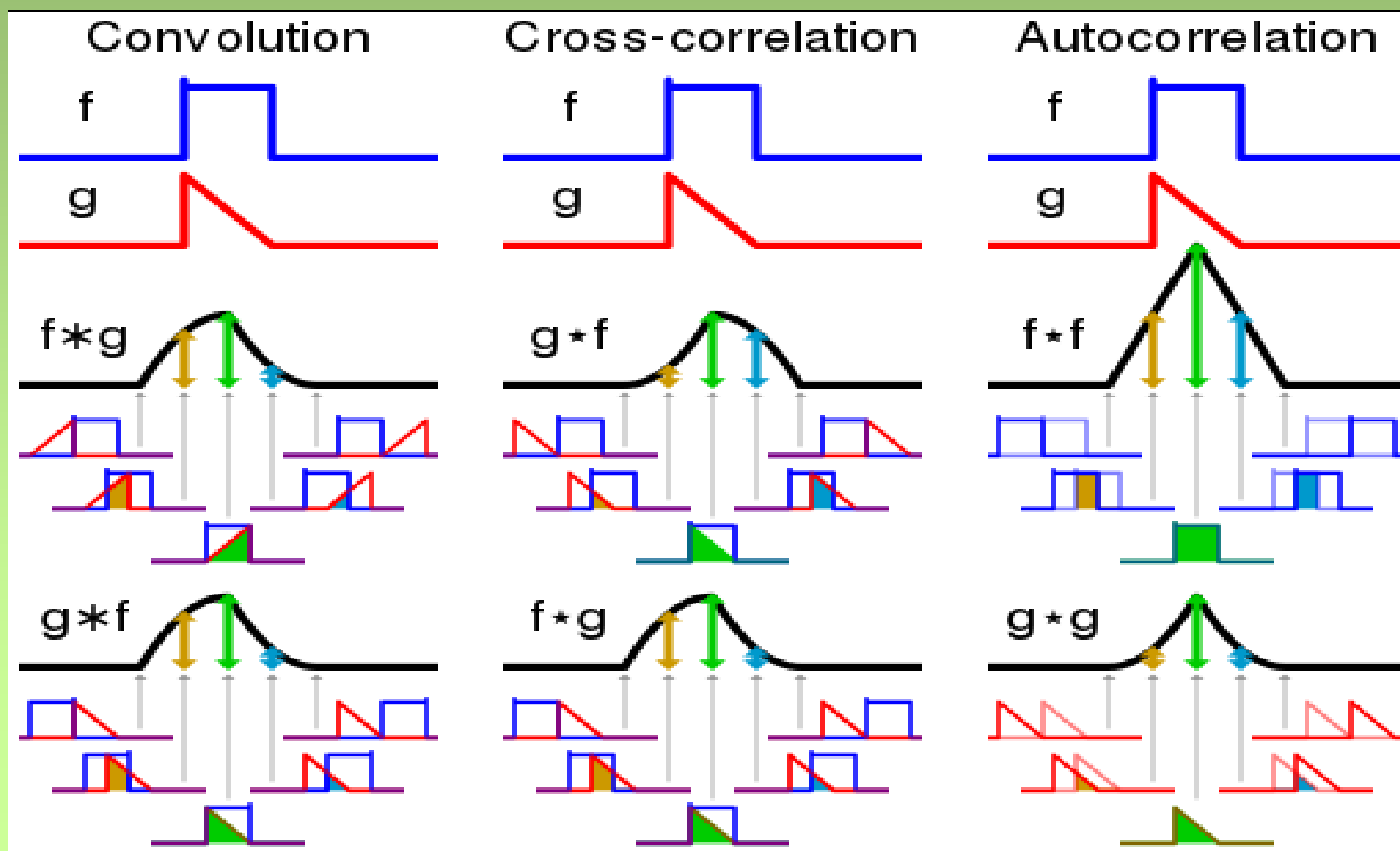
Donde  $f^*$  es la conjugada compleja de  $f$  y  $x$  es el retardo

Para funciones discretas se define como

$$(f * g)[n] \stackrel{\text{def}}{=} \sum_{m=-\infty}^{\infty} f^*[m] g[m+n]$$



**Convolución y correlación: Ejemplos.** Hay que tener en cuenta que la simetría de la función  $f$  hace que  $f*g$  y  $g*f$  sean operaciones idénticas con resultados idénticos







# Convolución y correlación cruzada en imágenes



Para una imagen  $H$  en 2-D y para un *kernel*  $F$  en 2-D,  
El **operador de Convolución**  $G = H * F$ , es de la forma

$$G_{ij} = \sum_{u=-k}^k \sum_{v=-k}^k H(u, v) F(i - u, j - v)$$

Y el **operador de Correlación**  $G = H \otimes F$

$$G_{ij} = \sum_{u=-k}^k \sum_{v=-k}^k H(u, v) F(i + u, j + v)$$

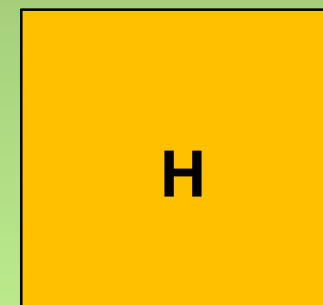
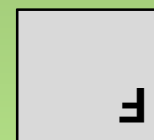


## ¿Como se diferencian la convolución y la correlación cruzada?



La **convolución** es equivalente a invertir el filtro en ambas dimensiones (de abajo hacia arriba, de derecha a izquierda) y aplicar **correlación cruzada**.

Para **kernels** simétricos, ambos operadores dan como resultado la misma salida.



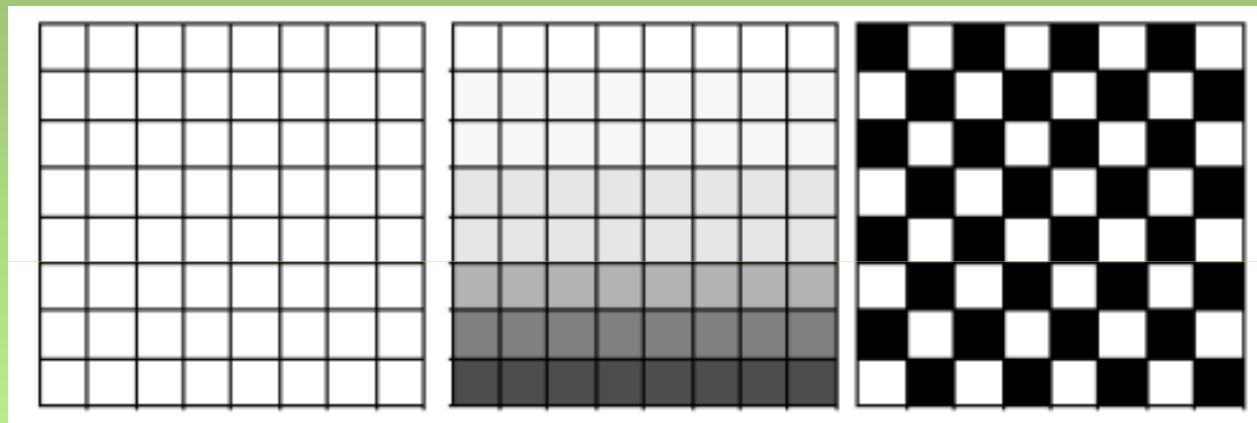
Muchas bibliotecas de aprendizaje automático implementan la **correlación cruzada**, pero lo llaman **convolución**.



## Frecuencias espaciales



El filtrado por convolución se utiliza para modificar la frecuencia espacial de las características de una imagen



**Frecuencia  
espacial  
nula**

**Frecuencia  
espacial  
baja**

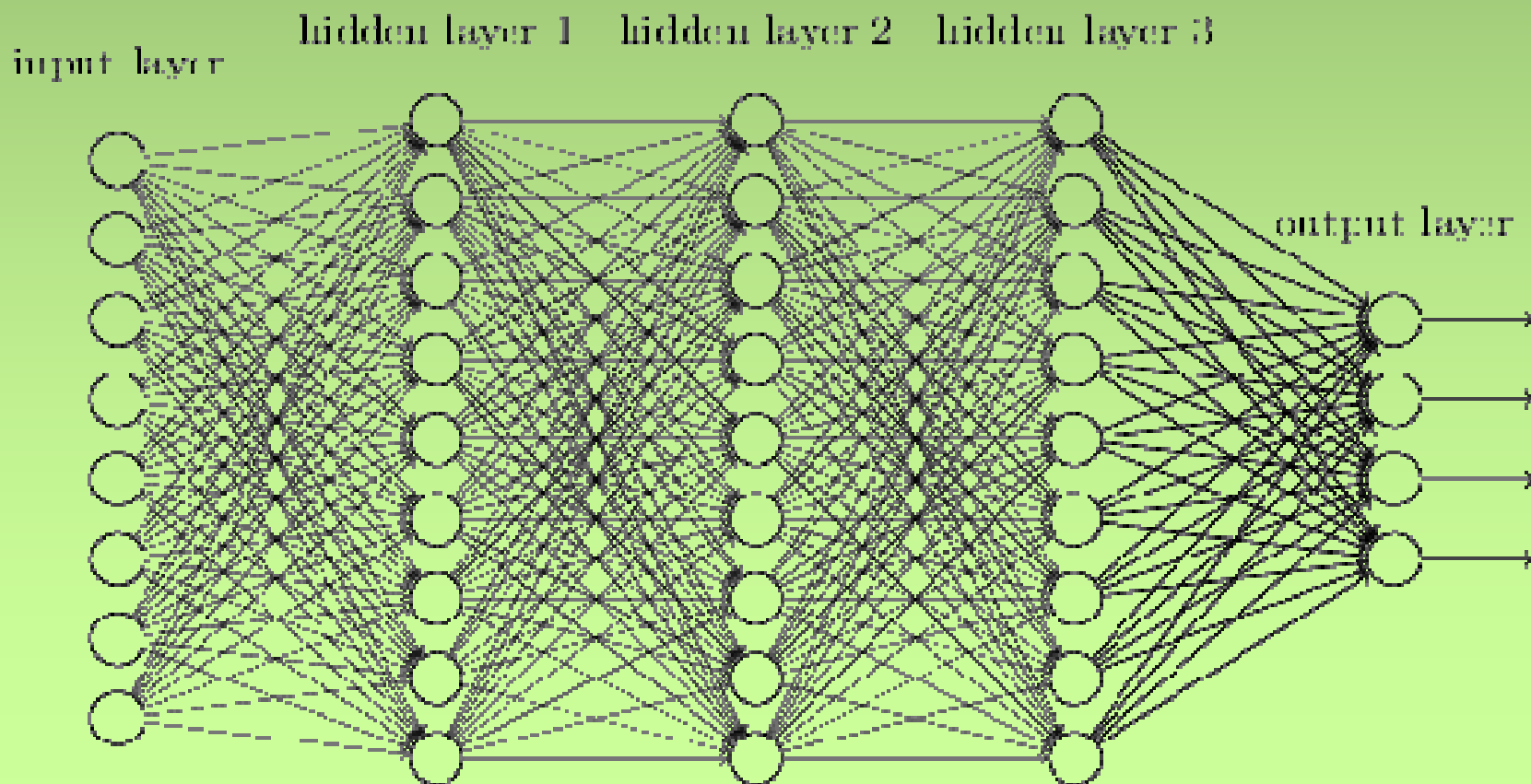
**Frecuencia  
espacial  
alta**



## Redes CNN pequeñas



Sabemos que es bueno aprender un modelo pequeño  
De este modelo totalmente conectado ¿Realmente  
necesitamos todas las conexiones?  
¿Se pueden compartir algunas de estas?

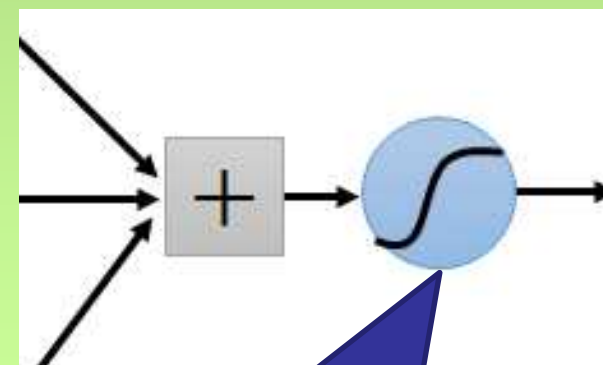




## Consideremos el aprendizaje de una imagen

- Algunos patrones son más pequeños que la imagen completa

Podemos representar regiones pequeñas con pocos parámetros



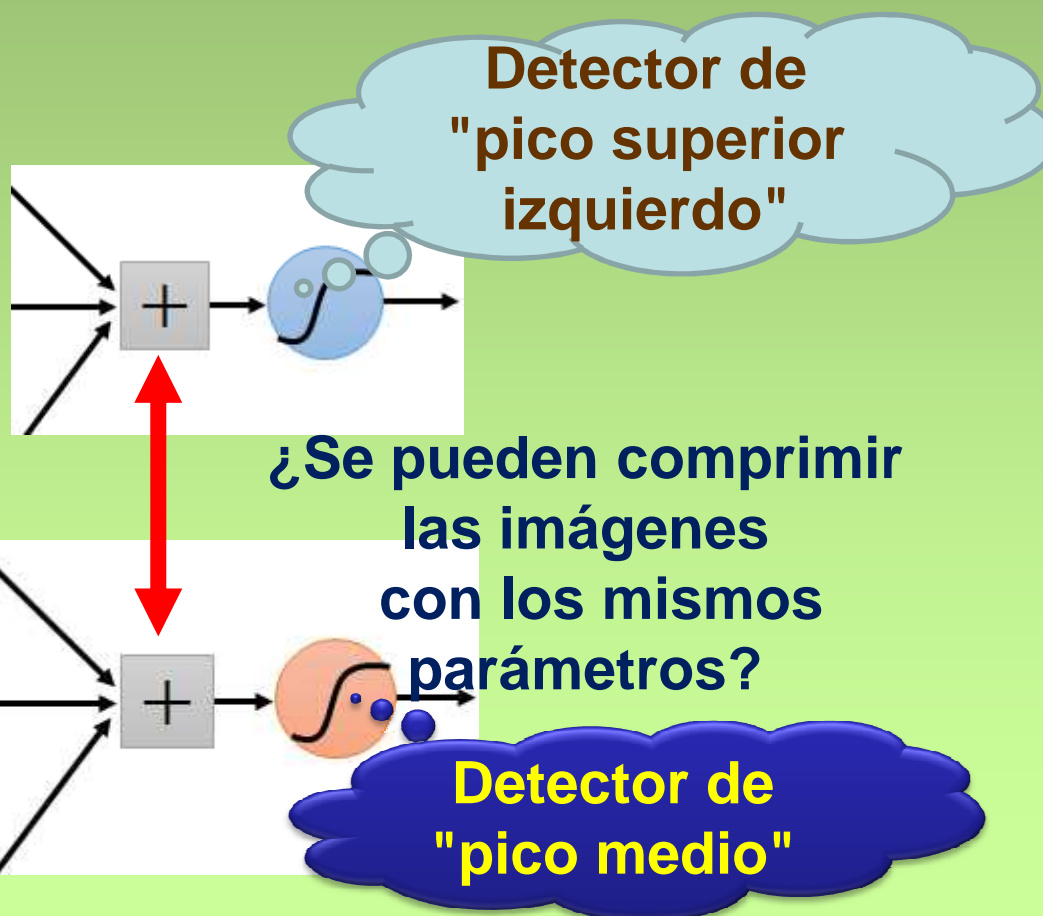
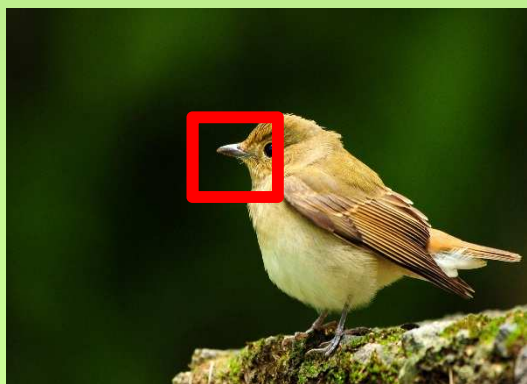
Detector del  
“pico”



El mismo patrón aparece en diferentes lugares: ¿Se pueden comprimir las imágenes!



¿Qué pasa con el entrenamiento de muchos de estos detectores "pequeños"? ¿Cada detector debe "moverse"?





## ¿Que es una convolución?



**Una operación de convolución es el efecto de un filtro de propósito general para imágenes.**

**Consta de una matriz aplicada a una imagen y una operación matemática que consta de números enteros.**

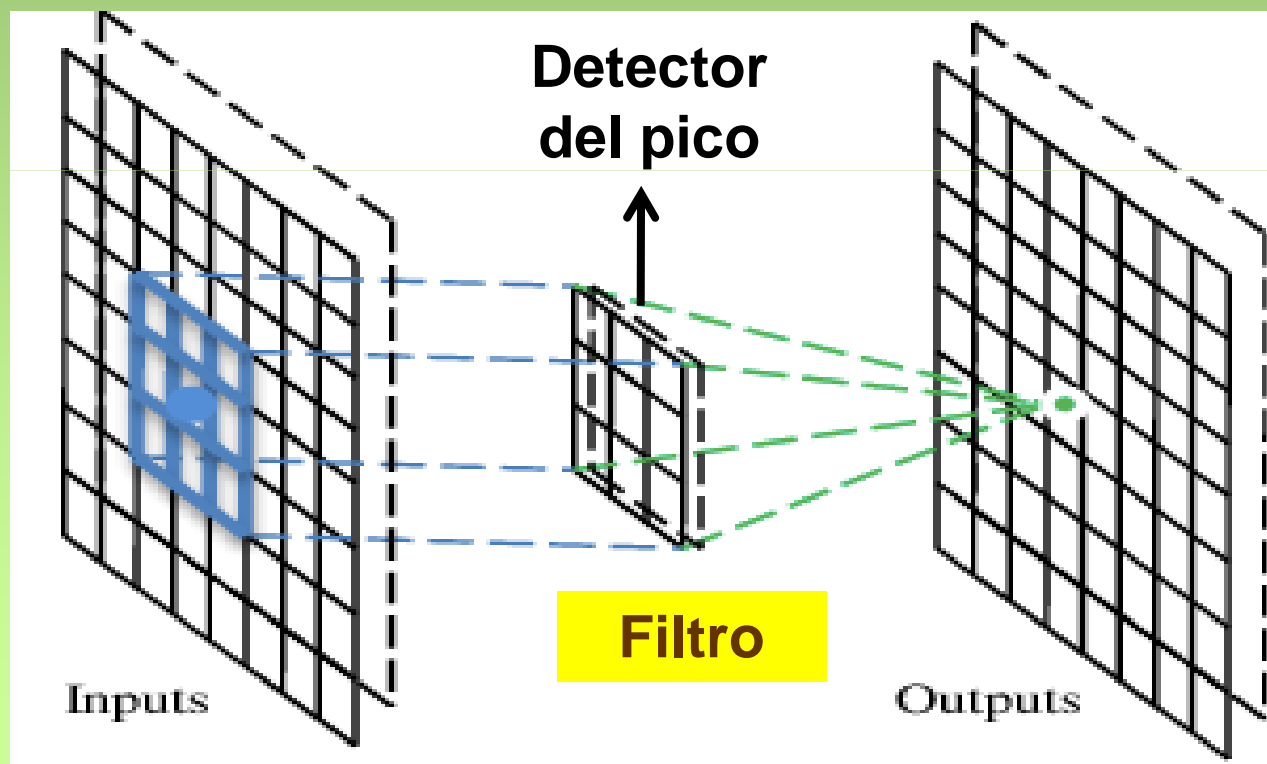
**Trabaja determinando el valor de un pixel central añadiendo los valores ponderados de todos sus vecinos juntos**

**La salida es una nueva imagen filtrada y modificada**



## Capa convolucional

Una CNN es una red neuronal con algunas capas convolucionales (y algunas otras capas). Una capa convolucional tiene un número de filtros que hacen el funcionamiento convolucional.







# Convolución



Estos son los parámetros de la red a ser aprendidos

1	0	0	0	0	1
0	1	0	0	1	0
0	0	1	1	0	0
1	0	0	0	1	0
0	1	0	0	1	0
0	0	1	0	1	0

Imagen de 6 x 6

1	-1	-1
-1	1	-1
-1	-1	1

Filtro1

-1	1	-1
-1	1	-1
-1	1	-1

Filtro 2

⋮ ⋮

Cada filtro detecta un pequeño patrón de (3 x 3).



# Convolución



stride=1

2 Subimágenes de 3x3

1	0	0	0	0	1
0	1	0	0	1	0
0	0	1	1	0	0
1	0	0	0	1	0
0	1	0	0	1	0
0	0	1	0	1	0

Productos  
Escalares  
de subimagen  
por filtro

$$-1 - 1 + 1 = -1$$

$$1 + 1 + 1 = 3$$

Filtro 1

1	-1	-1
-1	1	-1
-1	-1	1

Imagen de 6 x 6



# Convolución



stride=2

2 Subimágenes de 3x3

1	0	0	0	0	1
0	1	0	0	1	0
0	0	1	1	0	0
1	0	0	0	1	0
0	1	0	0	1	0
0	0	1	0	1	0

Imagen de 6 x 6

Productos  
Escalares  
de subimagen  
por filtro

$$-1-1-1=-3$$

$$1+1+1=3$$

Filtro 1

1	-1	-1
-1	1	-1
-1	-1	1



# Convolución



stride=1

1	0	0	0	0	1
0	1	0	0	1	0
0	0	1	1	0	0
1	0	0	0	1	0
0	1	0	0	1	0
0	0	1	0	1	0

Imagen de 6 x 6

1	-1	-1
-1	1	-1
-1	-1	1

Filtro 1

Matríz resultante

3	-1	-3	-1
-3	1	0	-3
-3	-3	0	1
3	-2	-2	-1



## Convolución



Se repite esta operación  
para cada filtro

-1	1	-1
-1	1	-1
-1	1	-1

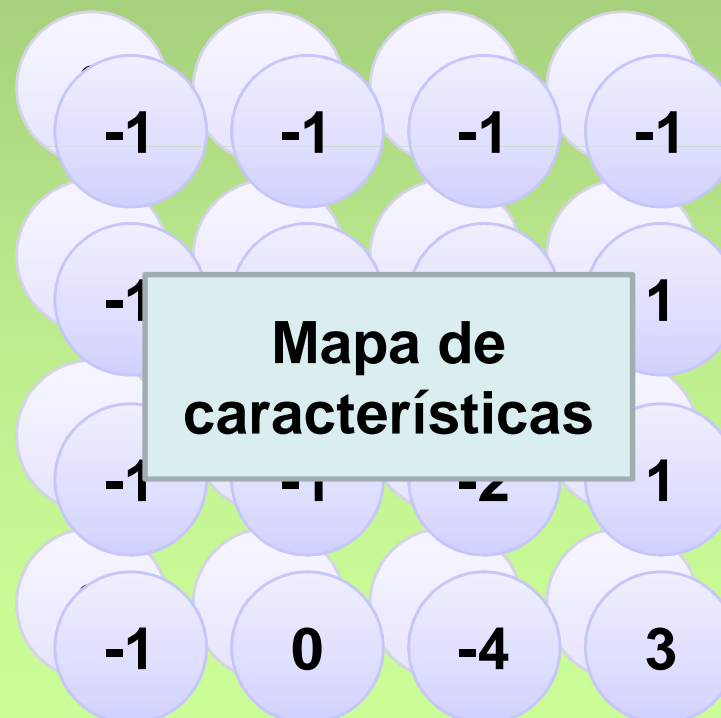
Filtro 2

stride=1

1	0	0	0	0	1
0	1	0	0	1	0
0	0	1	1	0	0
1	0	0	0	1	0
0	1	0	0	1	0
0	0	1	0	1	0

Imagen de 6 x 6

Dos imágenes de 4 x 4 formando  
una matriz de 2 x 4 x 4

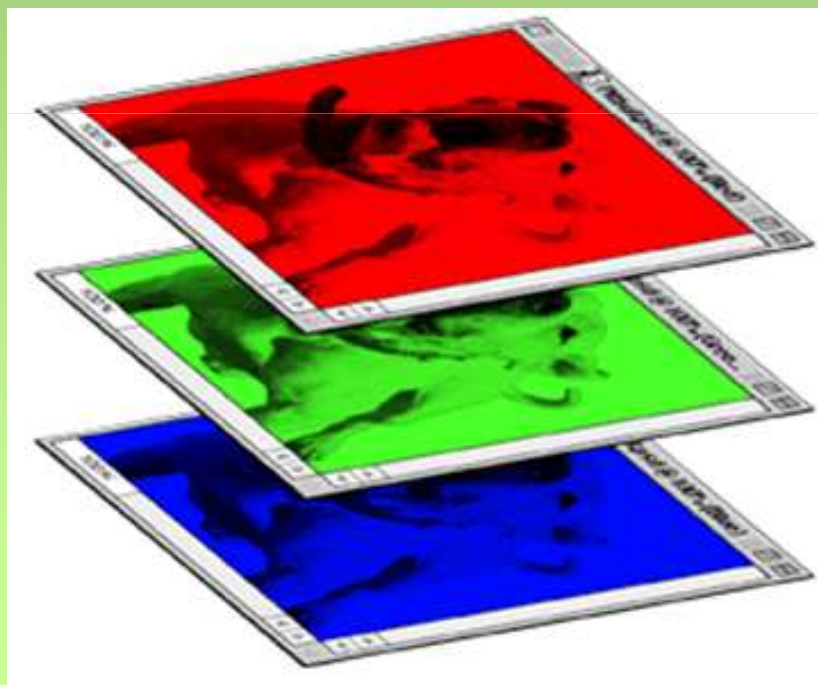




## Filtro 1

-1	1	-1
-1	1	-1
-1	1	-1

## Filtro 2



1	0	0	0	0	1
0	1	0	0	1	0
0	0	1	1	0	0
1	0	0	0	1	0
0	1	0	0	1	0
0	0	1	0	1	0



# Convolución v.s. Completamente conectada



Filtro 1    Filtro 2

1	0	0	0	0	1
0	1	0	0	1	0
0	0	1	1	0	0
1	0	0	0	1	0
0	1	0	0	1	0
0	0	1	0	1	0

Imagen 6 x 6

1	-1	-1
-1	1	-1
-1	-1	1

-1	1	-1
-1	1	-1
-1	1	-1

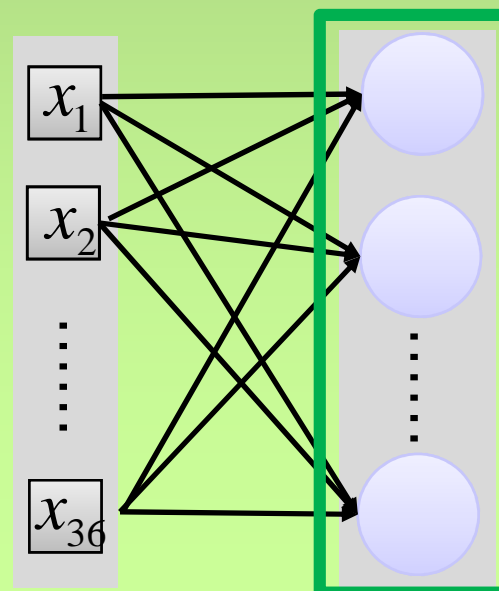
Convolución

-1	-1	-1	-1
-1	-1	-2	1
-1	-1	-2	1
-1	0	-4	3

Completamente  
conectada

1	0	0	0	0	1
0	1	0	0	1	0
0	0	1	1	0	0
1	0	0	0	1	0
0	1	0	0	1	0
0	0	1	0	1	0

Imagen de 6 x 6





## Convolución

Filtro 1

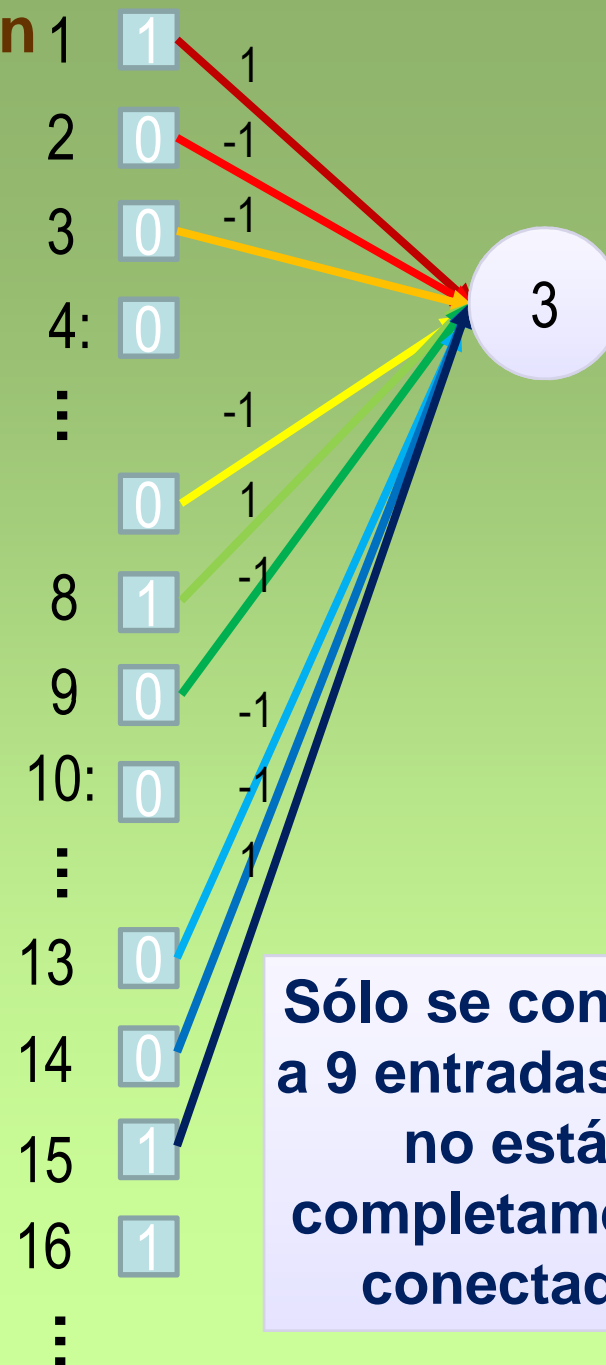
1	-1	-1
-1	1	-1
-1	-1	1

1	0	0	0	0
0	1	0	0	1
0	0	1	1	0
1	0	0	0	1
0	1	0	0	1
0	0	1	0	1

Imagen de 6 x 6

**Menos parámetros!**

3	-1	-3	-1
-3	1	0	-3
-3	-3	0	1
3	-2	-2	-1



**Sólo se conecta a 9 entradas, así, no está completamente conectada**





## Convolución 1: 1

1	-1	-1
-1	1	-1
-1	-1	1

Filtro1

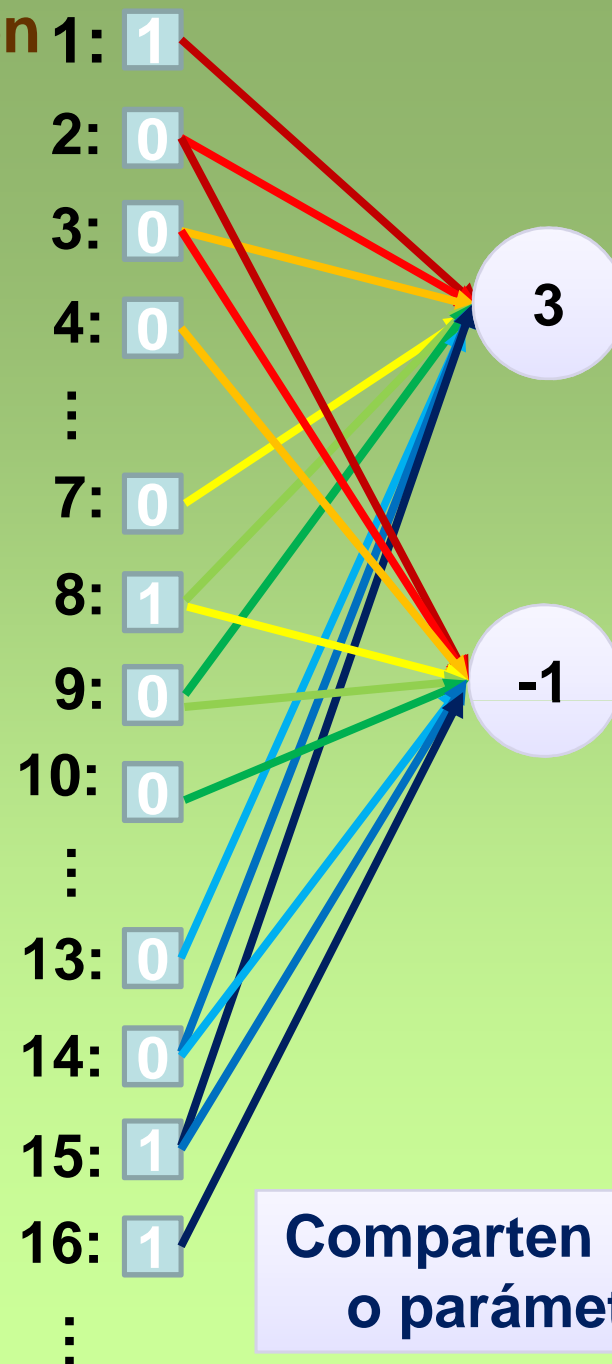
1	0	0	0	0	-3
0	1	0	0	1	-3
0	0	1	1	0	3
1	0	0	0	1	
0	1	0	0	1	0
0	0	1	0	1	0

Imagen de 6 x 6

Menos parámetros

Al compartir pesos, aún  
hay menos parámetros

3	-1	-3	-1
-3	1	0	-3
-3	-3	0	1
3	-2	-2	-1



Comparten pesos  
o parámetros



## El proceso de convolución de una imagen



Una **convolución** se realiza multiplicando un pixel y sus pixeles vecinos con un valor de color o nivel de gris por una matriz

**Kernel:** Un *kernel* es, por lo general, una matriz pequeña de números que se utiliza en la convolución de imágenes.

Diferentes tamaños de *kernel* contienen diferentes patrones de números, lo que produce diferentes resultados bajo la convolución.

El tamaño de un *kernel* es arbitrario pero a menudo es de 3x3

Ejemplo de *kernel*

0	1	0
1	1	1
0	1	0



## Formula de la convolución



$$V = \left\lfloor \frac{\sum_{i=1}^q \sum_{j=1}^q f_{ij} d_{ij}}{F} \right\rfloor$$

Donde  $\lfloor \cdot \rfloor$  es la parte entera

- $f_{ij}$  es el coeficiente de un *kernel* de convolución en la posición  $ij$  (en el *kernel*)
- $d_{ij}$  el valor del dato del pixel que corresponde a  $f_{ij}$
- $q$  es la dimensión del *kernel*. suponiendo un *kernel* cuadrado (si  $q=3$ , entonces el *kernel* es de  $3 \times 3$ )
- $F$  es la suma de los coeficientes del *kernel* o 1 si la suma de los coeficientes es 0
- $V$  es el valor de salida del pixel

En el caso en el que  $V$  sea menor que 0,  $V$  se sitúa a 0



## Ejemplo

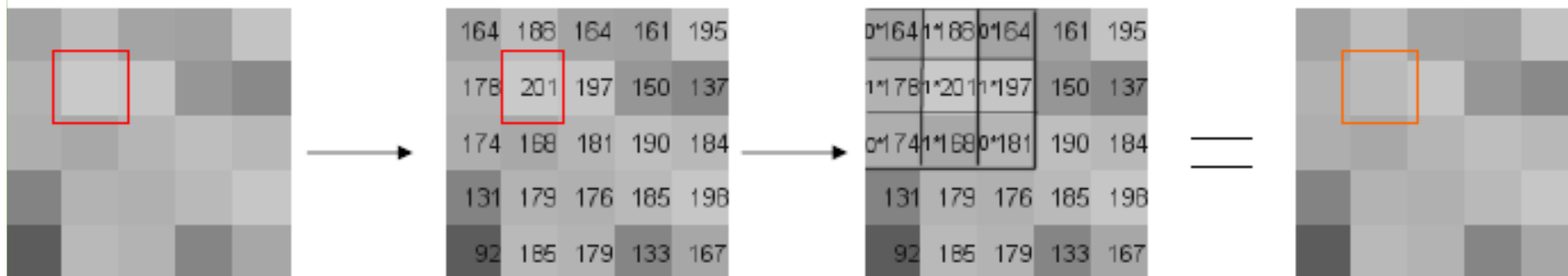


Imagen original

Imagen con valores del color de los pixeles situados sobre ella

Imagen con un *kernel* de 3x3 situado sobre ella

Imagen de salida

$$\text{Suma } 188+178+201+197+168=932$$

164	188	164
178	201	197
174	168	181

Valores de color



0	1	0
1	1	1
0	1	0

Kernel

Dividiendo por la suma del kernel  
 $932/5 =$  nuevo valor de color del pixel



## Mas Ejemplos



**Dato de entrada**

2	9	6	6	6
2	8	6	6	6
2	2	8	6	6
2	2	2	8	6
2	2	2	2	8

**Kernel**

-1	-1	-1
-1	16	-1
-1	-1	-1

Parte entera de  $[(-1 \times 8) + (-1 \times 6) + (-1 \times 6) + (-1 \times 2) + (16 \times 8) + (-1 \times 6) + (-1 \times 2) + (-1 \times 2) + (-1 \times 8)] / (-1 - 1 - 1 - 1 + 16 - 1 - 1 - 1 - 1) =$  Parte entera de  $(128 - 40) / (16 - 8) =$  Parte entera de  $11 = 11$ . Es el nuevo valor del pixel



## Que hacemos con los pixeles del borde



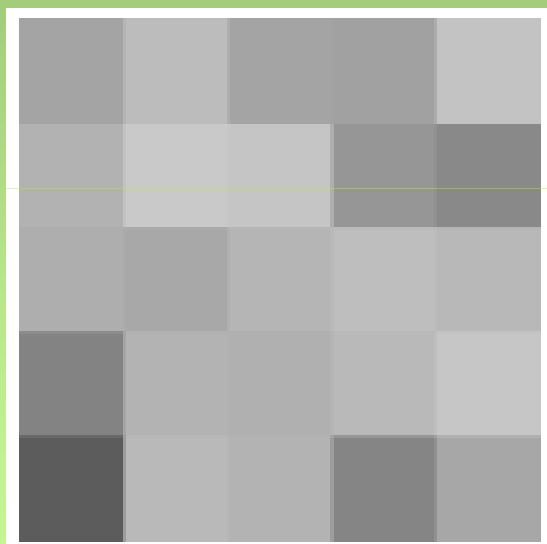
- a) Envolver la imagen
- b) Ignorar los pixeles del borde y sólo calcular aquellos pixeles con todos los vecinos completos.
- c) Duplicar los pixeles del borde de forma tal que el pixel en  $(2,n)$  (donde  $n$  seria no positivo) tendrá un valor de  $(2,1)$ .

Donde -1 es no existir dato

	-1	-1	-1	-1	-1			1	1	1	1	1		
-1	164	188	164	161	195	-1		1	164	188	164	161	195	1
-1	178	201	197	150	137	-1		1	178	201	197	150	137	1
-1	174	168	181	190	184	-1		1	174	168	181	190	184	1
-1	131	179	176	185	198	-1		1	131	179	176	185	198	1
-1	92	185	179	133	167	-1		1	92	185	179	133	167	1
	-1	-1	-1	-1	-1				1	1	1	1	1	



**Imagen original**



**Imagen modificada alisada**





## Otros ejemplos de kernel



1	1	1
1	1	1
1	1	1

0	1	0
1	4	1
0	1	0

0	-1	0
-1	5	-1
0	-1	0

-1	-1	-1
-1	9	-1
-1	-1	-1

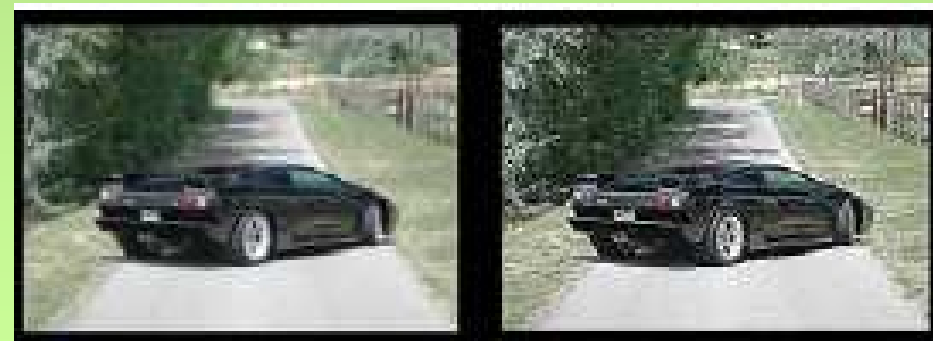
**Kernel de  
alisamiento no  
ponderado de 3x3**  
**Kernel de  
alisamiento  
ponderado de 3x3  
con difuminación  
Gaussiana**

**Kernel para  
agudizar la  
imagen**

**Imagen  
agudizada  
intensificada**



**Difuminación Gaussiana**



**Imagen agudizada**





## Ejemplo de *kernel* de alisamiento

Cuando se utiliza un *kernel* de suavizado un área más grande del núcleo aumenta el área de suavizado

0	1	2	1	0
1	4	8	4	1
2	8	16	8	2
1	4	8	4	1
0	1	2	1	0

***Kernel* 5x5 de suavizado**



## Puntos principales



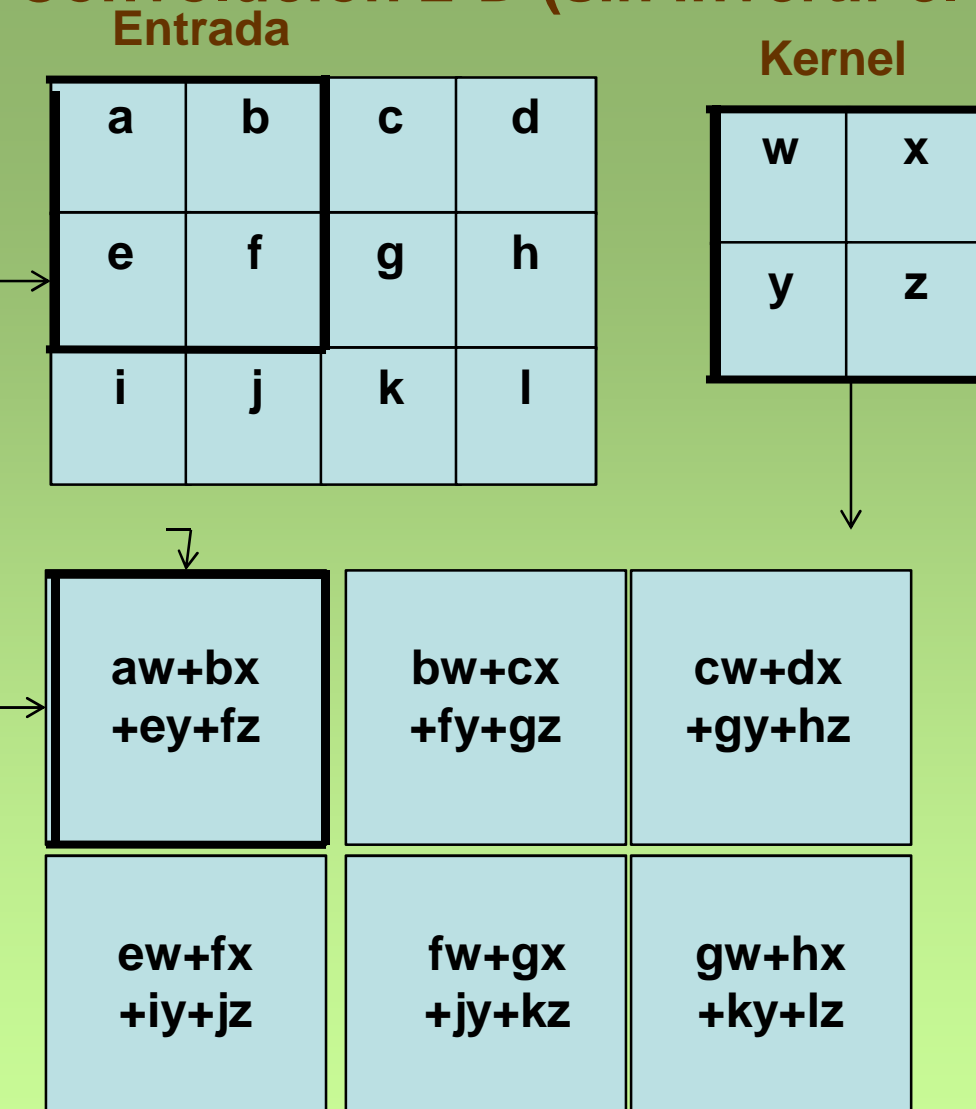
- a) Empezar con una imagen
- b) Elegir el *kernel* que afecta a la imagen de salida
- c) Basar la elección del *kernel* en los resultados deseados para la imagen (alisar, difuminar, mejorar, afilar)



## Convolución 2-D (sin invertir el *kernel*)



Salida



Ejemplo de una convolución 2-D válida (sin invertir el *kernel*) donde una matriz de 3x4 convoluciona con un kernel de 2x2 dando como salida una matriz de dimensión (3-1)x(4-1)



## Convolución 2-D

*kernel*

1	0	1
0	1	0
1	0	1

Imagen

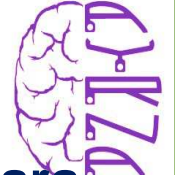
Función Convolutiva

1	1	1	0	0
0 <sub>x1</sub>	1 <sub>x0</sub>	1 <sub>x1</sub>	1	0
0 <sub>x0</sub>	0 <sub>x1</sub>	1 <sub>x0</sub>	1	1
0 <sub>x1</sub>	0 <sub>x0</sub>	1 <sub>x1</sub>	1	0
0	1	1	0	0

4	3	4
2		



## Variantes



**Completa:** Añade suficientes ceros de relleno a la imagen para que cada píxel sea visitado  $k$  veces en cada dirección, con tamaño de salida:  $(m + k - 1) \times (m + k - 1)$

**Válida.** Sin rellenar con ceros, el *kernel* es restringido a girar horizontalmente sólo dentro de la imagen, con tamaño de salida :  $(m - k + 1) \times (m - k + 1)$

**Idéntica:** Añade ceros de relleno a la imagen para que la salida tenga el mismo tamaño de la imagen, por ejemplo,  $m \times m$ .

**Paso o Stride:** Muestreo descendente de la salida de convolución muestreando solo cada  $s$  píxeles en cada dirección. Por ejemplo, la salida de convolución “válida” con paso  $s$  da como resultado una salida de tamaño  $(m - k + s) / s \times (m - k + s) / s$ .



## Porque convolución

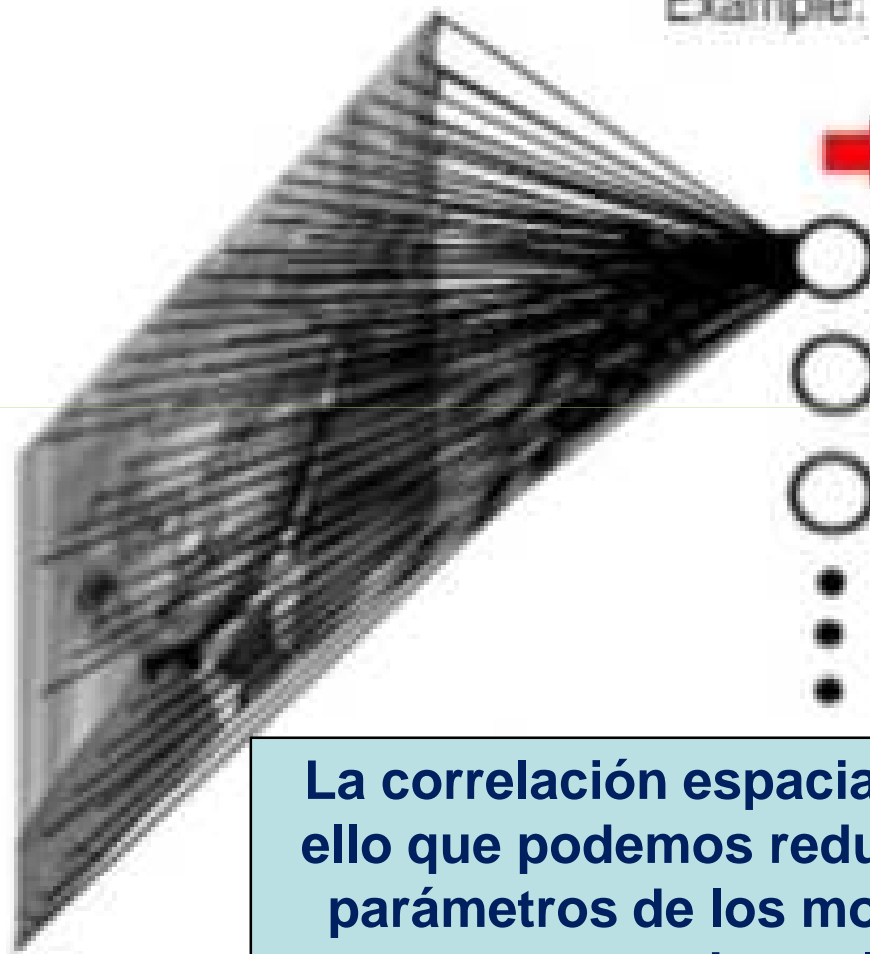


### FULLY CONNECTED NEURAL NET

Example: 1000x1000 image

1M hidden units

➡  $10^{12}$  parameters!!!



La correlación espacial es local, es por ello que podemos reducir el número de parámetros de los modelos mediante conexiones locales



## Redes completamente o localmente conectadas de alta dimensión



**Ejemplo: Imagen de 200 x 200**  
**Completamente conectada ,**  
**400.000 unidades ocultas,**  
**entonces tendremos**

$$4 \times 10^4 \times 4 \times 10^5 = 16 \times 10^9 =$$

**16 billones de parámetros**

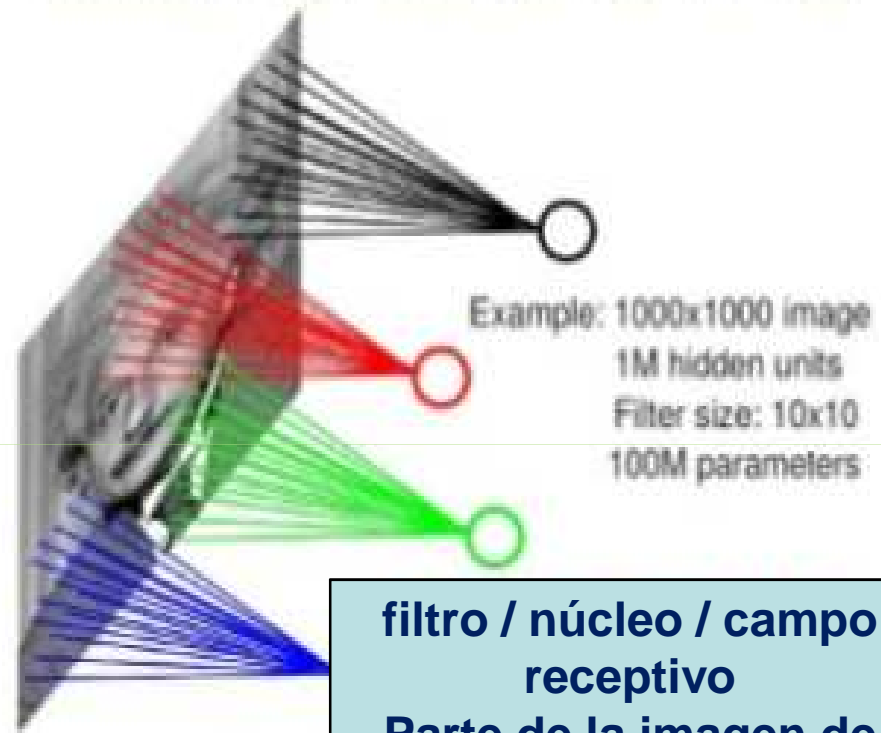
**Localmente conectada, 10 x 10**  
**campos o localizaciones de**  
**400.000 unidades ocultas, así**  
**tendremos**

$$10^2 \times 4 \times 10^5 = 4 \times 10^7$$

**= 40 millones de parámetros**

**Las conexiones locales capturan**  
**dependencias locales**

### LOCALLY CONNECTED NEURAL NET



**filtro / núcleo / campo  
receptivo**

**Parte de la imagen de  
entrada a la que está  
conectada la unidad  
oculta**



## Múltiples convoluciones con diferentes *kernels*



Detecta múltiples patrones en cada localización

La colección de unidades mirando a la misma subimagen es similar a un vector de características para cada subimagen

El resultado es un *array* en 3D, donde cada rebanada es un **mapa de características**





## **Campos Localmente Receptivos/ Conectividad dispersa**



**La Convolución explota la propiedad de correlaciones locales espaciales en la imagen reforzando los patrones de conectividad local entre neuronas de capas adyacentes.**

**Reduce drásticamente el número de parámetros libres en comparación con las redes completamente conectadas reduciendo el sobre-entrenamiento y lo más importante, reduciendo la complejidad computacional de la red**



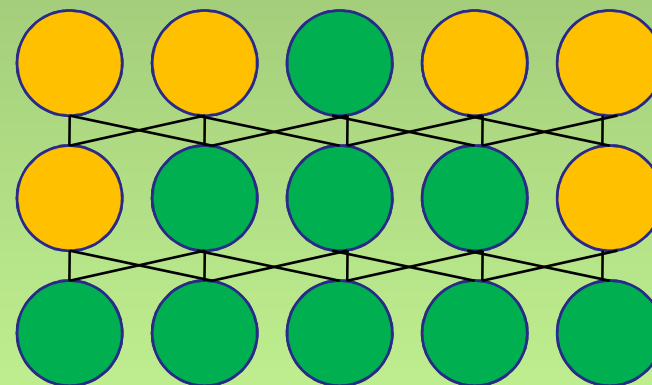
## Conectividad global indirecta



Los campos receptivos de unidades en capas más profundas son más grandes que las capas superficiales.

Aunque las conexiones directas son muy dispersas, las capas profundas indirectamente conectan la mayoría de las entradas de la imagen.

La efectividad aumenta con la convolución con saltos, *stride*, o con agrupamiento, *pooling*.

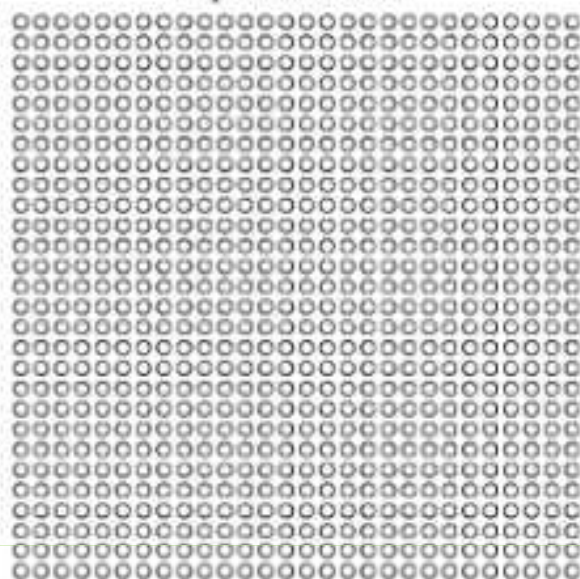




## Ejemplo

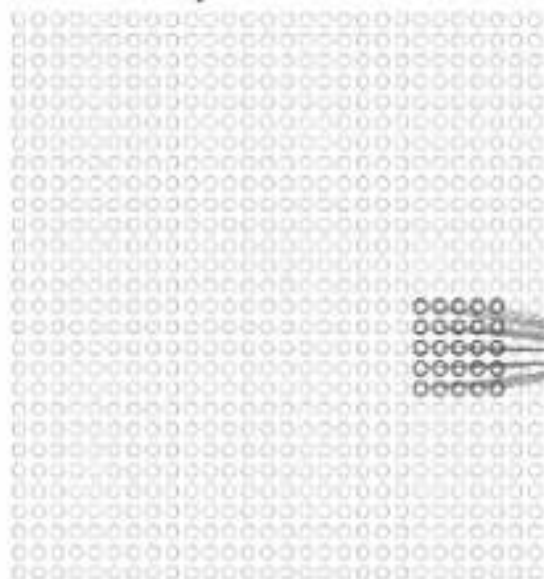


input neurons



Las neuronas de entrada representan una imagen de 28x28 de la base de datos MNIST

input neurons



Cada neurona de la capa oculta tiene un campo receptivo de una región de 5x5 píxeles

Neurona oculta



## Ejemplo



Así sucesivamente se va construyendo la primera capa oculta

$(28-5+1) \times (28-5+1) = 24 \times 24$  neuronas en la capa oculta son la convolución válida.

El tamaño de la capa oculta se puede cambiar utilizando otra variante de convolución.



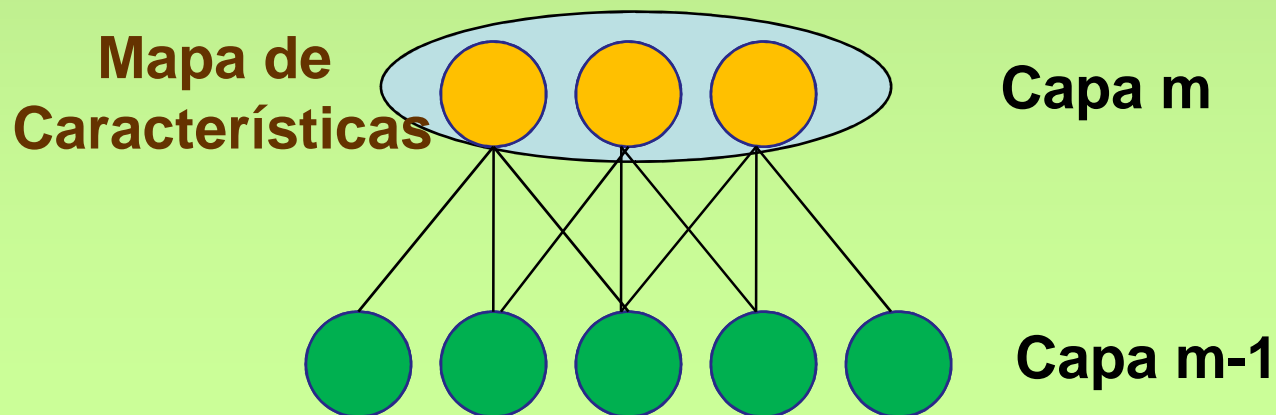
## Compartir pesos y sesgos



Todas las neuronas en la capa oculta comparten la misma parametrización (vector de pesos y sesgos) formando un Mapa de Características

(Compartir pesos y sesgos)  $\longrightarrow$  *Kernel* o Filtro

Ahora, el gradiente de un peso compartido es la suma de los gradientes de los pesos que están siendo compartidos





## Invarianza de imágenes: Transformaciones afines



Permiten detectar características independientemente de su posición en el campo visual. (La característica es un tipo de patrón de entrada que hará que una neurona se active, por ejemplo, el borde de un objeto).

Todas las neuronas en la primera capa oculta detectan exactamente la misma característica, solo que en diferentes ubicaciones.

Las CNN están bien adaptadas a la invariancia de imágenes: movemos la imagen de un objeto, ¡y sigue siendo la imagen de un objeto!

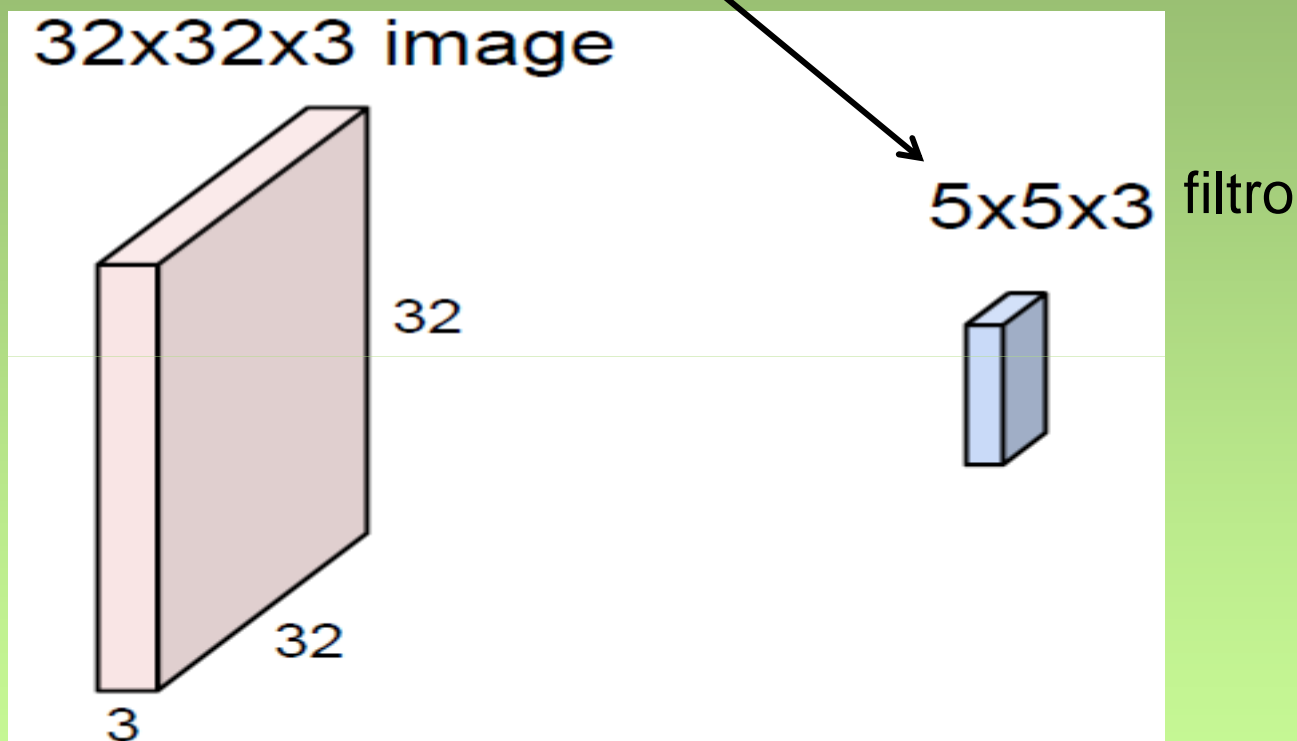
Reduce aún más el número de parámetros libres, logrando una mejor generalización y rendimiento computacional.



## Capa Convolutiva



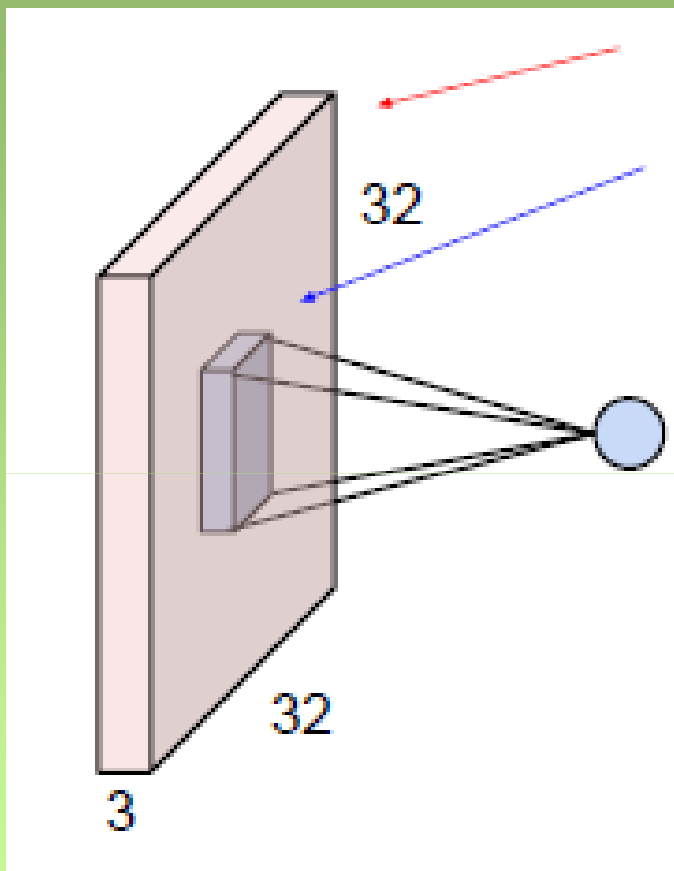
Los filtros siempre extienden la profundidad completa del volumen de entrada, en este caso 3



La idea es convolver el filtro con la imagen, es decir, "deslizarse sobre la imagen espacialmente, calculando productos escalares"



# Capa Convolutiva



**Imagen de 32x32x3**

**Filtro de 5x5x3 , w**

**Mapa 1: Resultado de calcular un producto escalar entre el filtro y un pequeño fragmento de 5x5x3 de la imagen (es decir, 5\*5\*3 = producto escalar de 75 dimensiones + sesgo)**

$$\mathbf{w}^T \mathbf{x} + b$$





# Capa Convolutiva



Consideremos un segundo filtro verde

Mapas de características  
o de activación

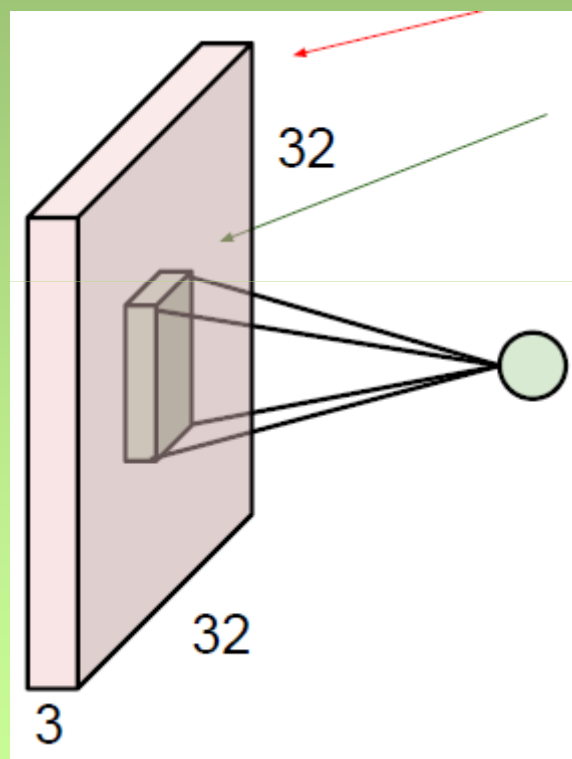
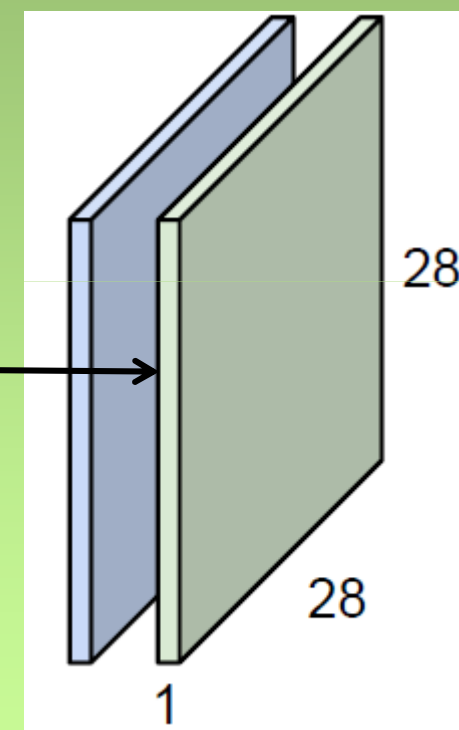


Imagen de 32x32x3

Filtro de 5x5x3

coevoluciona (se  
desliza) en todas las  
localizaciones  
espaciales



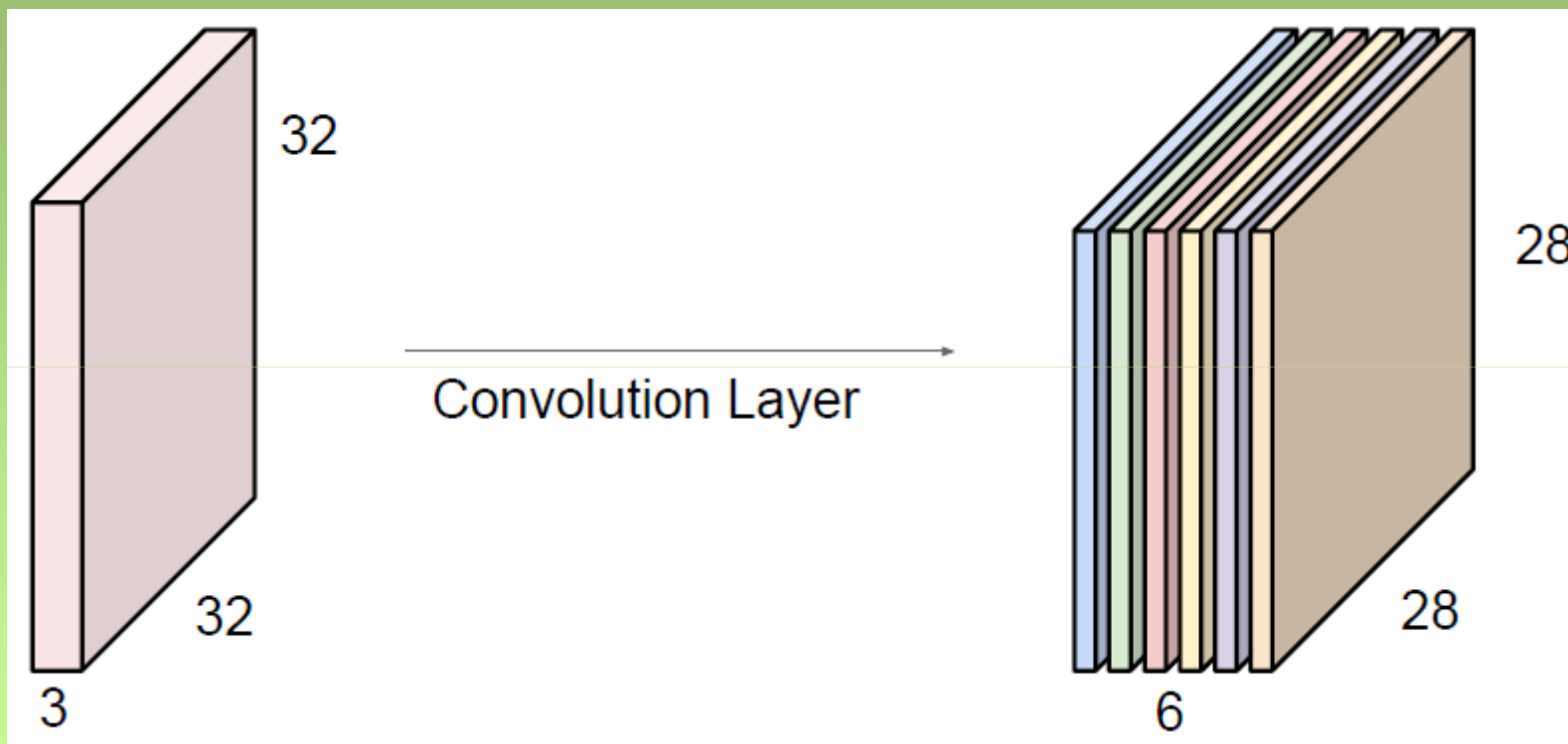
$32-5+1 \times 32-5+1 \times 1$



## Capa Convolutiva



Si por ejemplo, tuviéramos 6  
filtros de 5x5, obtendríamos 6  
mapas de activación separados



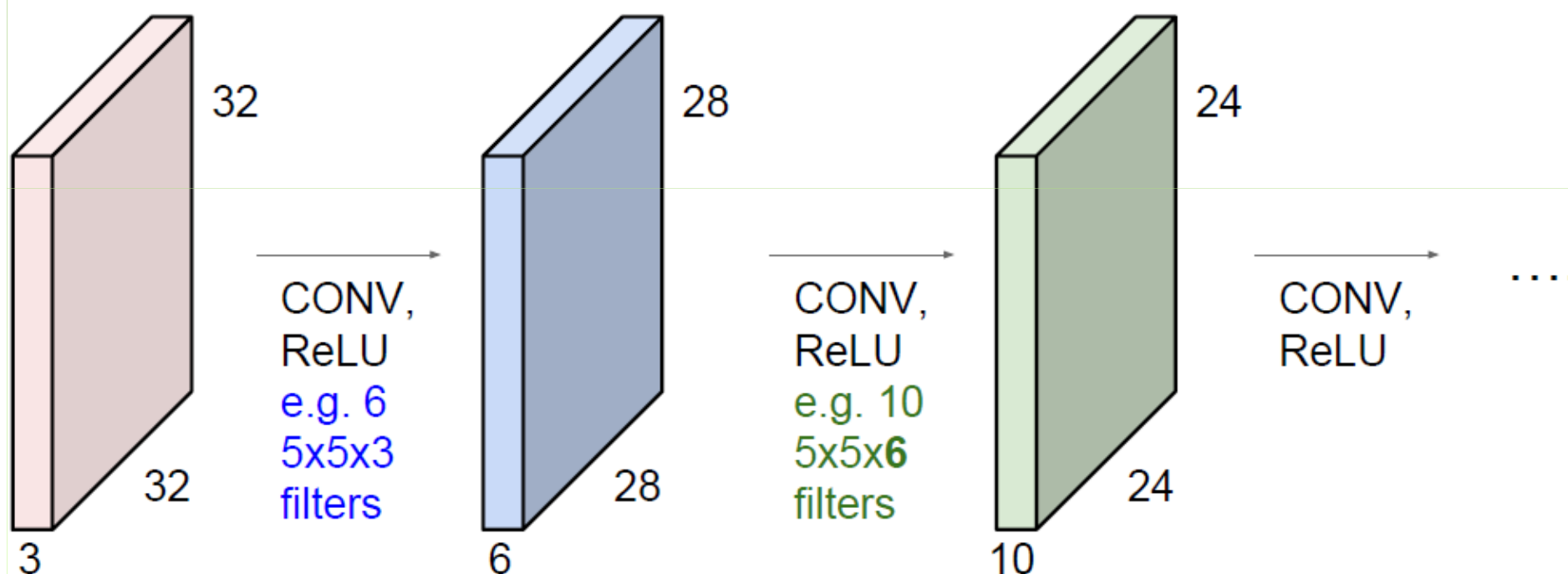
Apilamos estos mapas para  
obtener una "nueva imagen" de  
tamaño 28x28x6



# Capa Convolutiva



**Vista previa: ConvNet es una secuencia de Capas Convolucionales, intercaladas con funciones de activación**





# Capa Convolutcional



## Preview

[Zeiler and Fergus 2013]

Visualization of VGG-16 by Lane McIntosh. VGG-architecture from [Simonyan and Zisserman 2015]

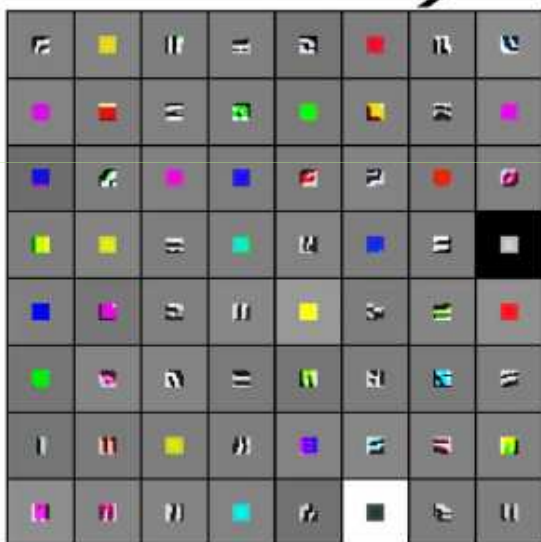


Low-level features

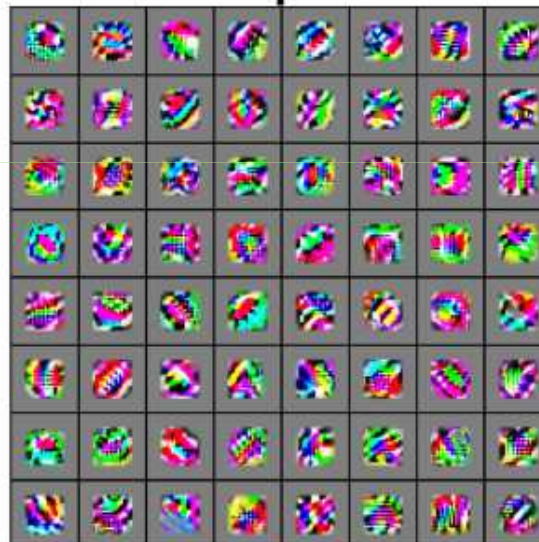
Mid-level features

High-level features

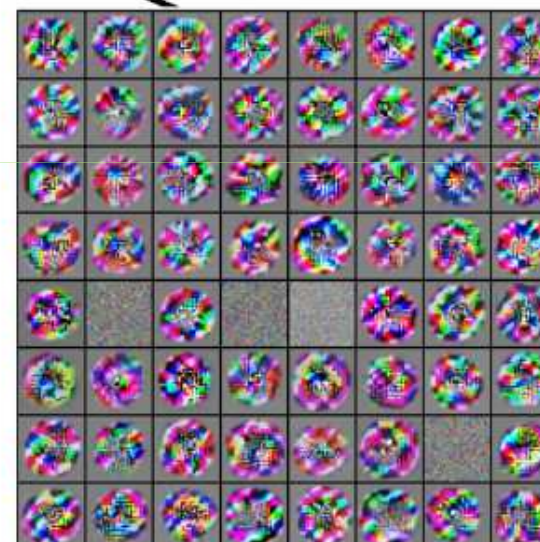
Linearly separable classifier



VGG-16 Conv1 1



VGG-16 Conv3 2



VGG-16 Conv5 3



# Capa Convolutacional

Ejemplos de filtros 5x5 (32 en total)



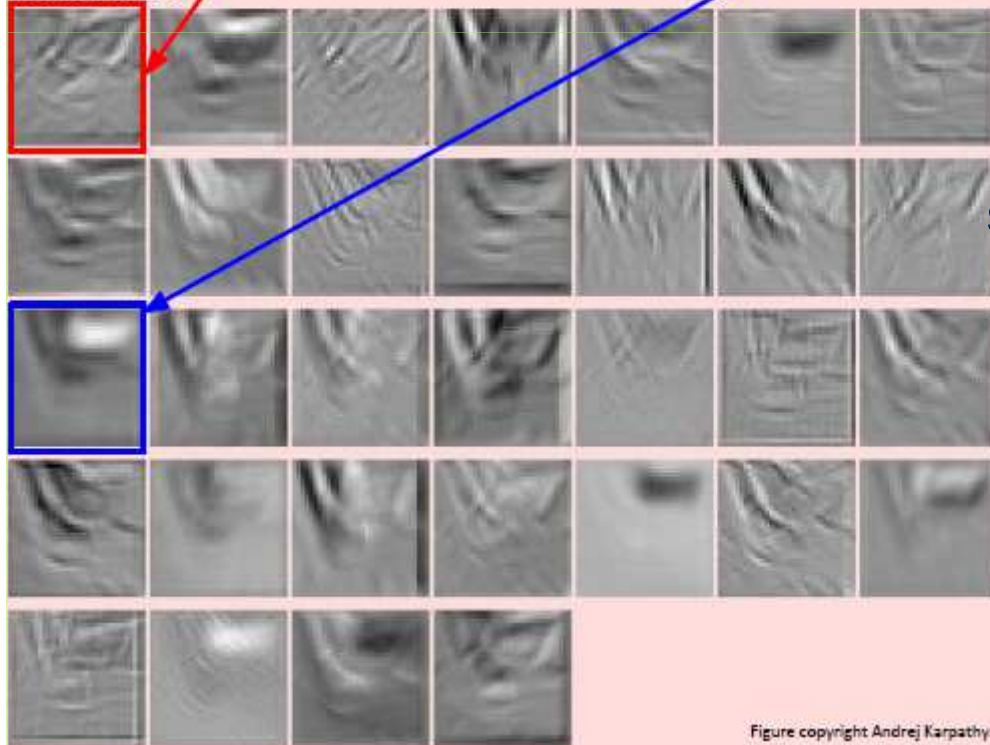
Un filtro



Un mapa de activación

$$f[x, y] * g[x, y] = \sum_{n_1=-\infty}^{\infty} \sum_{n_2=-\infty}^{\infty} f[n_1, n_2] \cdot g[x - n_1, y - n_2]$$

Activations:



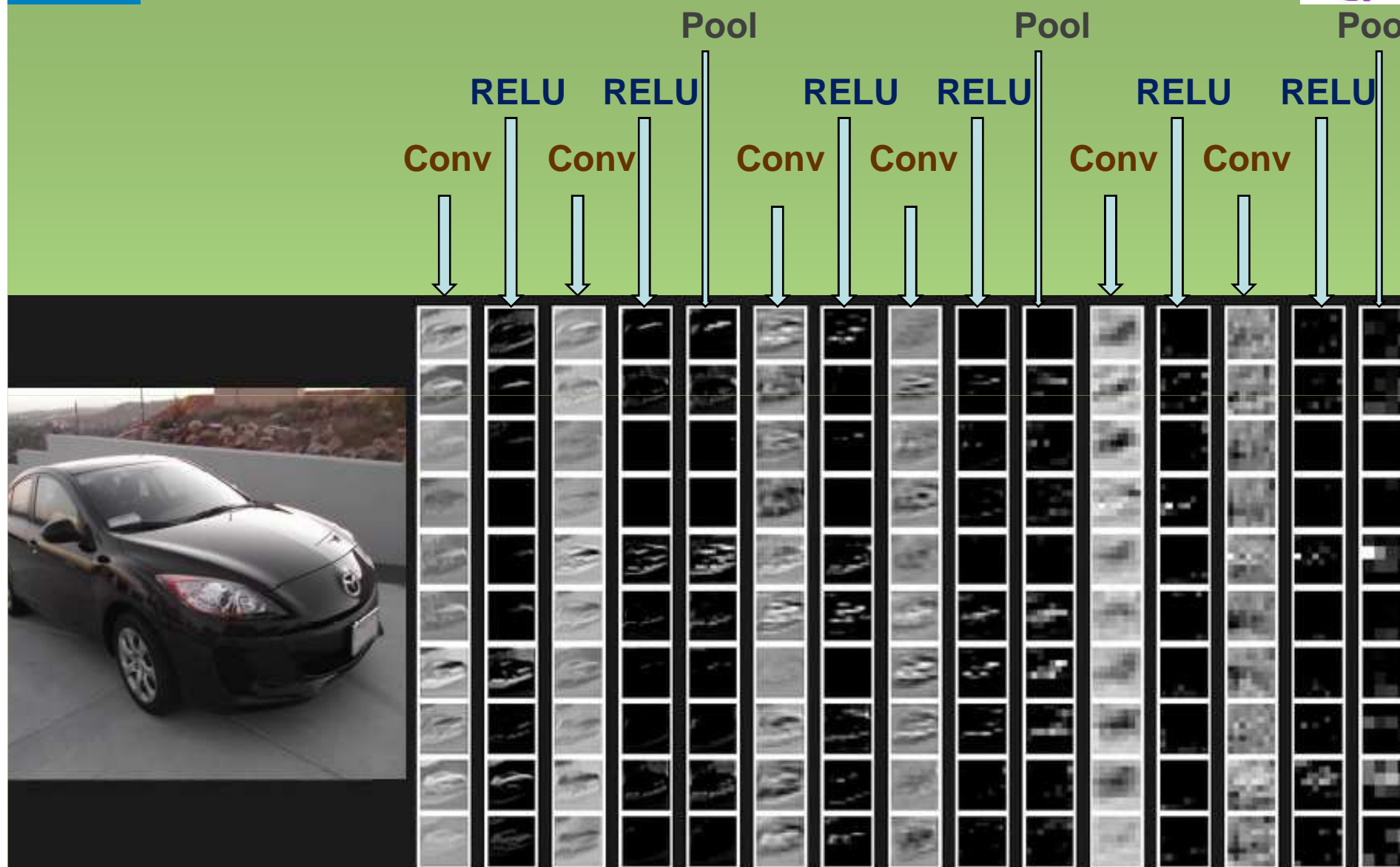
multiplicación por elementos y  
suma de un filtro y la señal (imagen)

Llamamos a la capa  
convolutacional porque está  
relacionada con la convolución de  
dos señales





## Avance o vista anticipada



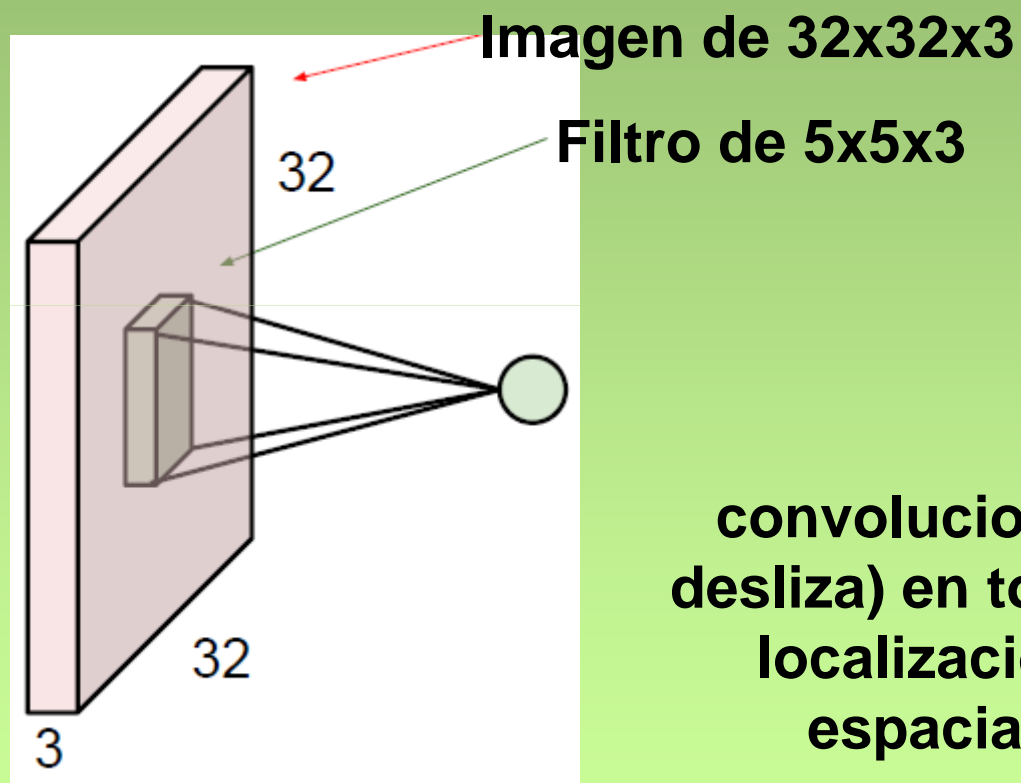
Salida: Coche FC 50%, Camión 25%, Barco 15%, Caballo 10%



# Capa Convolutiva

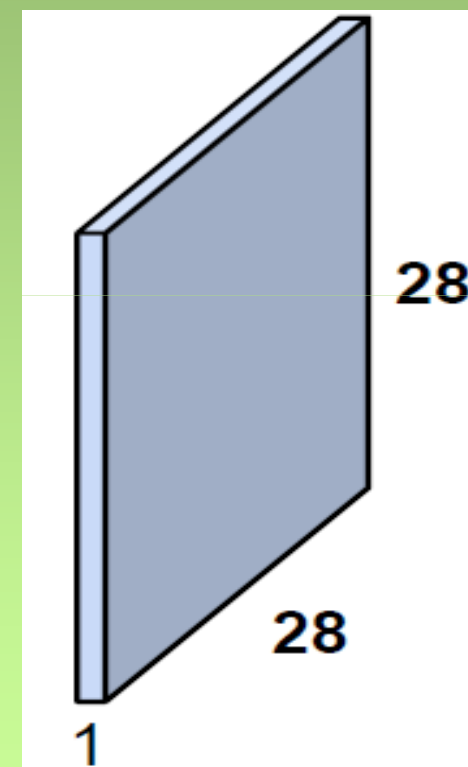


Una mirada más cercana a las dimensiones espaciales:



convoluciona (se desliza) en todas las localizaciones espaciales

Mapa de activación

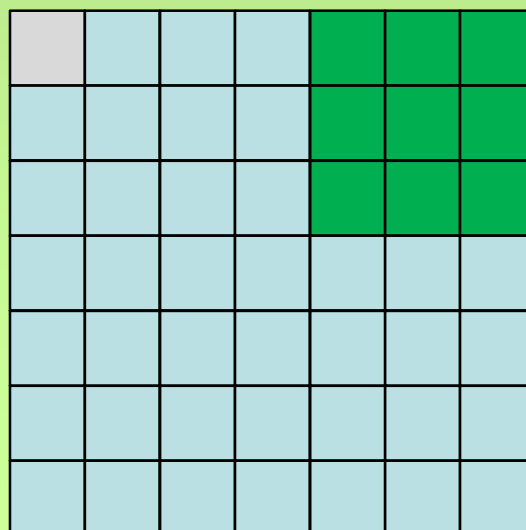
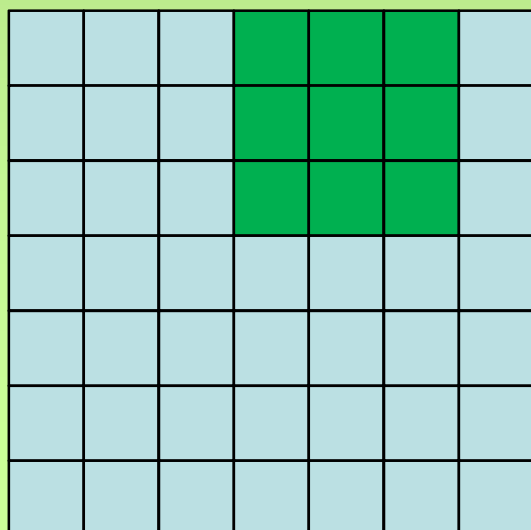
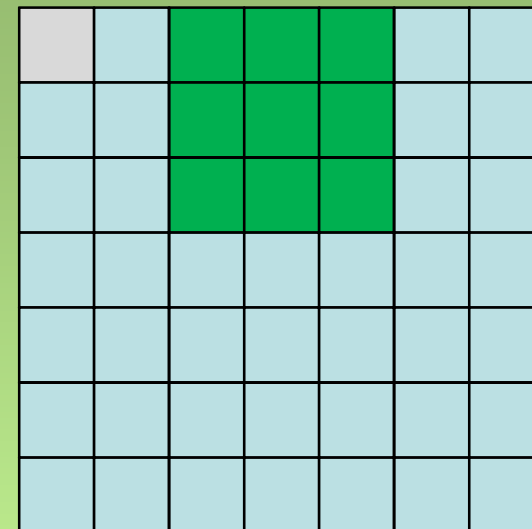
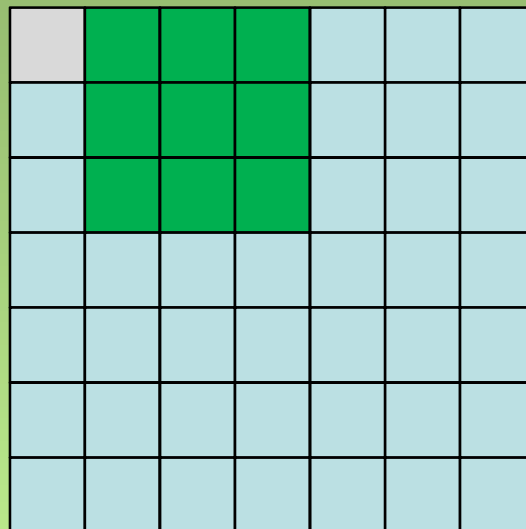
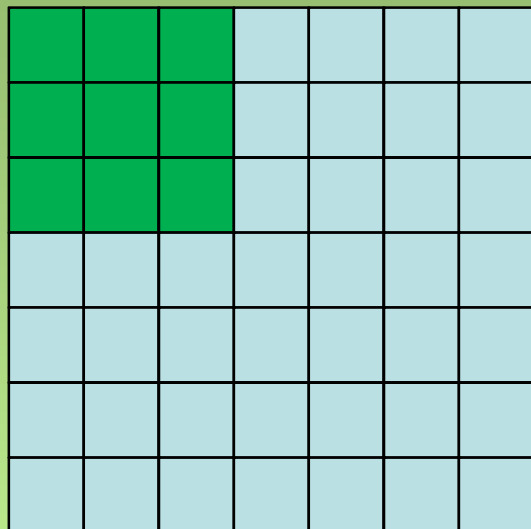




## Una mirada más cercana a las dimensiones espaciales:



La entrada de 7x7 (espacialmente) se le aplica un filtro de 3x3



Salida  $(7-3+1) \times (7-3+1)$   
o lo que es igual 5x5

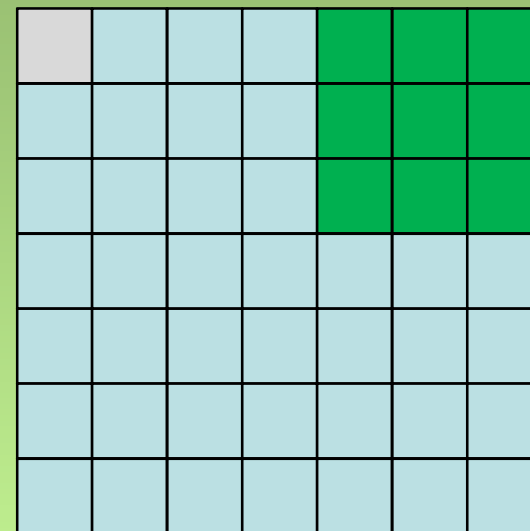
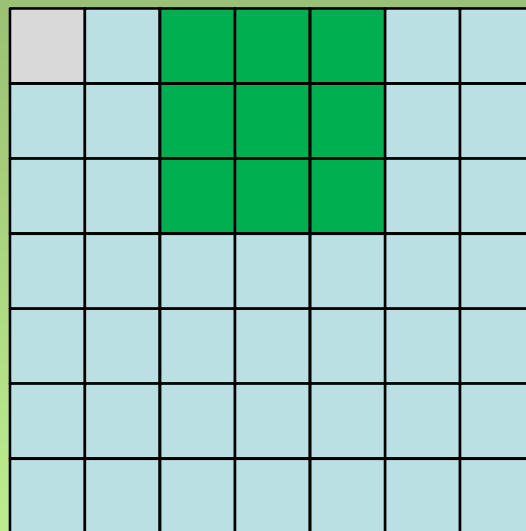
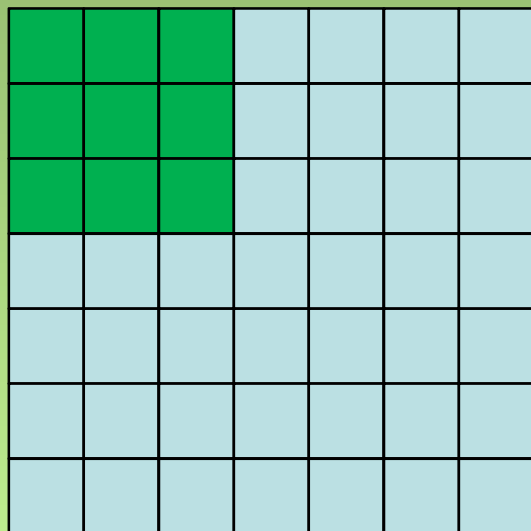




## Una mirada más cercana a las dimensiones espaciales:



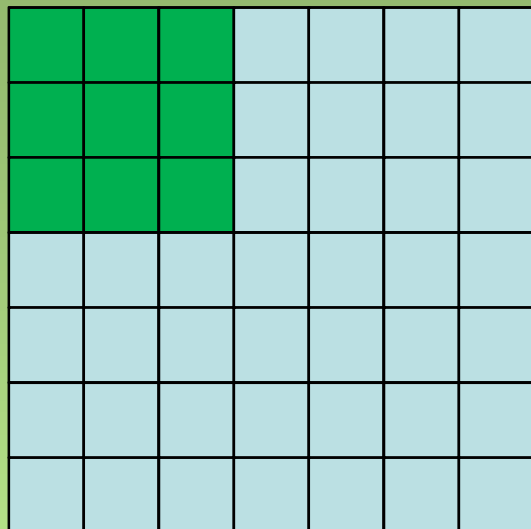
Si a la entrada de 7x7 (espacialmente) se le aplica un filtro de 3x3 con espaciado 2



La entrada de 7x7 (espacialmente) supone un filtro de 3x3 aplicado con espaciado 2  
 $\Rightarrow \text{Salida } ((7-3)/2)+1 \times ((7-3)/2)+1 = 3 \times 3$

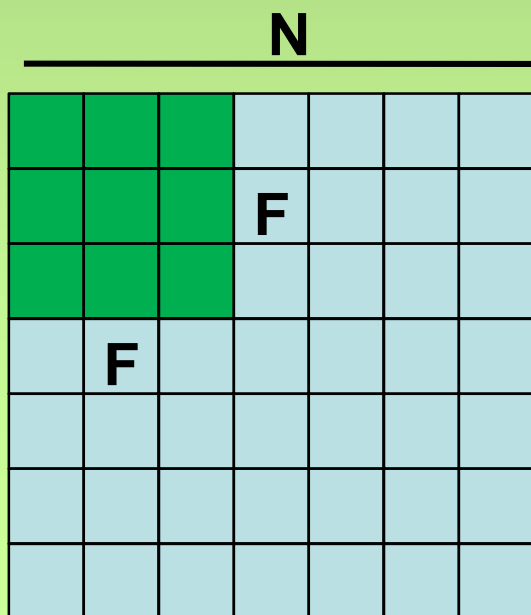


## Una mirada más cercana a las dimensiones espaciales:



A una entrada de 7x7 (espacialmente) se le puede aplicar un filtro de 3x3 con paso  $S=3$ ?

No es posible. No se puede aplicar el filtro 3x3 a la entrada 7x7 con *stride* 3.



Tamaño de salida  $\frac{N - F}{S} + 1$

Ejemplo, si  $N=7$  y  $F=3$ , tenemos

$$((7-3)/1)+1=5$$

$$((7-3)/2)+1=3$$

$$((7-3)/3)+1=2.33; \text{ no es un } n^{\circ} \text{ entero}$$



## Una mirada más cercana a las dimensiones espaciales:



En la práctica: Rellenamos el borde con ceros

Por ejemplo. Para una entrada 7x7 con un filtro 3x3, aplicado con un stride de 1 y con relleno de un pixel de borde => ¿Cuál es la salida?

0	0	0	0	0				
0								
0								
0								
0								

La salida es de 7x7; pues tenemos  $[((9-3)/1)+1] \times [((9-3)/1)+1]$

En general, es común ver capas CONV con paso 1, filtros de tamaño  $F \times F$  y cero relleno con  $(F-1) / 2$ . (preservará el tamaño espacialmente)

p.ej.  $F = 3 \Rightarrow$  relleno cero con paso de 1

$F = 5 \Rightarrow$  relleno cero con paso de 2

$F = 7 \Rightarrow$  relleno cero con paso de 3



## Ejemplos

### Recordemos



Una entrada de 32x32 convolucionada repetidamente con filtros de 5x5 reduce los volúmenes espacialmente y se pasa de (32 -> 28 -> 24 ...).

Reducir demasiado rápido no es bueno, no funciona bien.

Volumen de entrada: 32x32x3  
10 filtros de 5x5 con paso 1, y relleno de 2

Tamaño del volumen de salida:  
 $(32 + 2 \cdot 2 - 5) / 1 + 1 = 32$  espacialmente, entonces  
la salida es 32x32x10

Volumen de entrada: 32x32x3  
10 filtros de 5x5 con paso 1, relleno 2

¿Número de parámetros en esta capa?

cada filtro tiene  $5 \cdot 5 \cdot 3 + 1 = 76$  pesos (+1 para el sesgo)  $\Rightarrow 76 \cdot 10 = 760$



## Resumen de la Capa Convolutiva o CONV



1) Se acepta un volumen de tamaño  $W_1 \times H_1 \times D_1$

2) Introducir los hiperparámetros

Número de filtros  $K$ ,

Tamaño espacial del filtro  $F$ ,

Paso o *stride*  $S$ ,

La cantidad de relleno con ceros  $P$ .

Ajustes comunes:

$K$ =(potencia de 2, p.e. 32, 64, 128, 512)

$F=3$ ,  $S=1$ ,  $P=1$

$F=5$ ,  $S=1$ ,  $P=2$

$F=5$ ,  $S=2$ ,  $P$ = Cualquier valor

$F=1$ ,  $S=1$ ,  $P=0$

3) Producir un volumen de tamaño  $W_2 \times H_2 \times D_2$  donde

$$W_2 = \frac{W_1 - F + 2P}{S} + 1; \quad H_2 = \frac{H_1 - F + 2P}{S} + 1,$$

*(esto es el ancho y el alto se computan igual por simetría)*

$$D_2 = K$$



## Resumen de la Capa Convolutiva o CONV

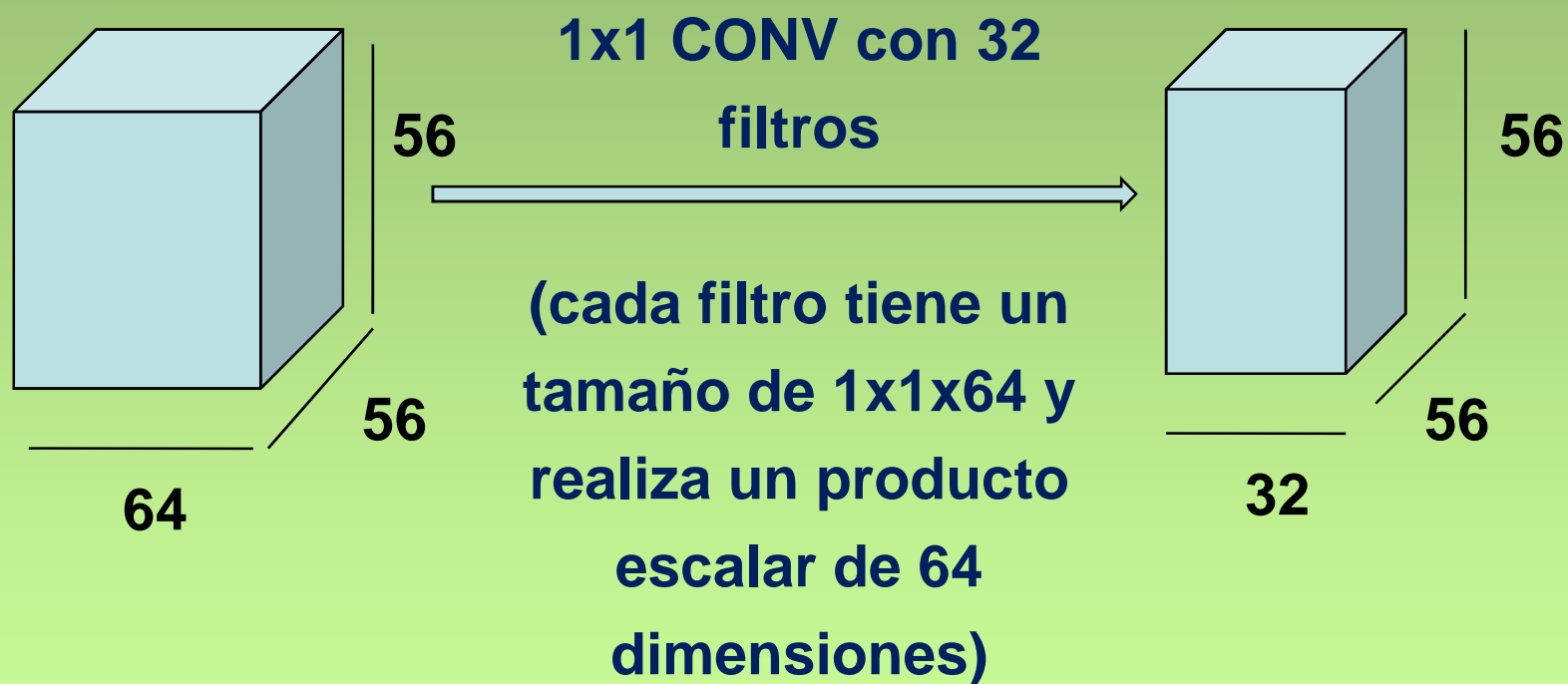


4) Con parámetros compartidos, se introducen  $F \times F \times D_1$  pesos por filtro, con lo que tenemos  $(F \times F \times D_1) \times K$  pesos y  $K$  sesgos (un sesgo para cada filtro).

5) Como volumen de salida tenemos, una rebanada de profundidad  $d$  (de tamaño  $W_2 \times H_2$ ) como resultado de realizar una convolución válida del  $d$ -ésimo filtro sobre el volumen de entrada con un paso de  $S$ , y acompañado por el  $d$ -ésimo sesgo.



**(Las capas de convolución 1x1 tienen  
perfecto sentido)**





## Ejemplo: Capa CONV enTorch



### SpatialConvolution

`module=nn.SpatialConvolution (nInputPlane, nOutputPlane, KW, KH, [dW], [dH], [padW], [padH])`

Applies a 2D convolution over an input image composed of several input planes. The input tensor in forward (input) is expected to be a 3D tensor (nInputPlane x height x width)

The parameters are the following:

- . nInputPlane: The number of expected input planes in the image given info format()

- . nOutputPlane: The number of output planes the convolution layer will produce.

KW: The kernel width of the convolution

KH: The kernel height of the convolution

dW: The step of the convolution in the width dimension. Default is 1

dH: The step of the convolution in the height dimension. Default is 1

psdW: The additional zeros added per width to the input planes. Default is 0, a good number is  $(KW-1)/2$

psdH: The additional zeros added per height to the input planes. Default is psdW, a good number is  $(KW-1)/2$





## Ejemplo: Capa CONV enTorch

### Continuación



Note that depending of the size of your kernel, several (of the last) columns or rows of the input image might be lost. It is up to the user to add proper padding in images.

If the input image is a 3D tensor ( $n_{\text{InputPlane}} \times \text{height} \times \text{width}$ ), the output image size will be ( $n_{\text{OutputPlane}} \times \text{oheight} \times \text{owidth}$ ), where

$$\text{owidth} = \text{floor}((\text{width} + 2 * \text{padW} - \text{kW}) / \text{dW} + 1)$$

$$\text{oheight} = \text{floor}((\text{height} + 2 * \text{padH} - \text{kH}) / \text{dH} + 1)$$



# Caffe: Capa de convolución



```
name: "conv1"
type: "CONVOLUTION"
bottom: "data"
top: "conv1"
# learning rate and decay multipliers for the filters
param {lr_mult: 1 decay_mult: 1}
# learning rate and decay multipliers for the biases
param {lr_mult: 2 decay_mult: 0}
#
# (o de forma alternativa)
# blobs_lr: 1
# blobs_lr: 2
# weight_decay: 1
# weight_decay: 0
convolution_param {
  num_output: 96          # learn 96 filters
  kernel_size: 7          # each filter is 7x7
  stride: 4               # step 4 pixels between each filter application
  weight_filter {
    type: "gaussian"      # initialize the filters from a Gaussian
    std: 0.01             # distribution with stdev 0.01 (default mean: 0)
  }
  bias_filter {
    type: "constant"      # initialize the biases to zero (0)
    value: 0
  }
}
```

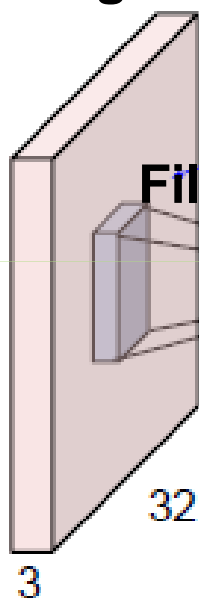


## Neurona de la capa CONV



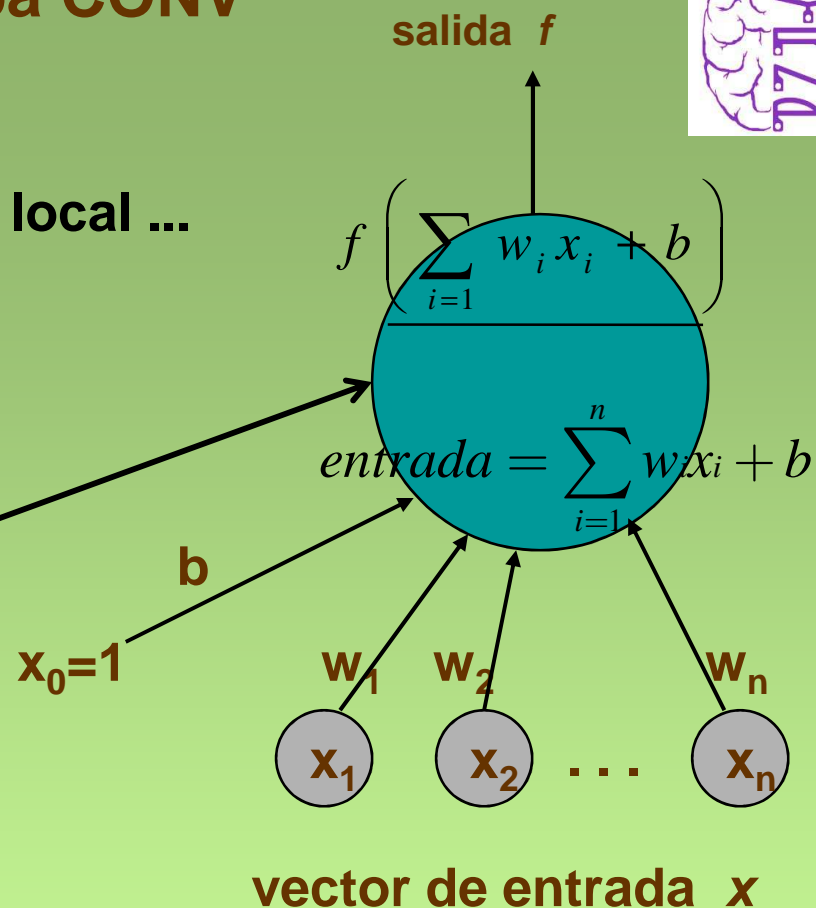
Es solo una neurona con conectividad local ...

Imagen de 32x32x3



Filtro de 5x5x3,  $w$

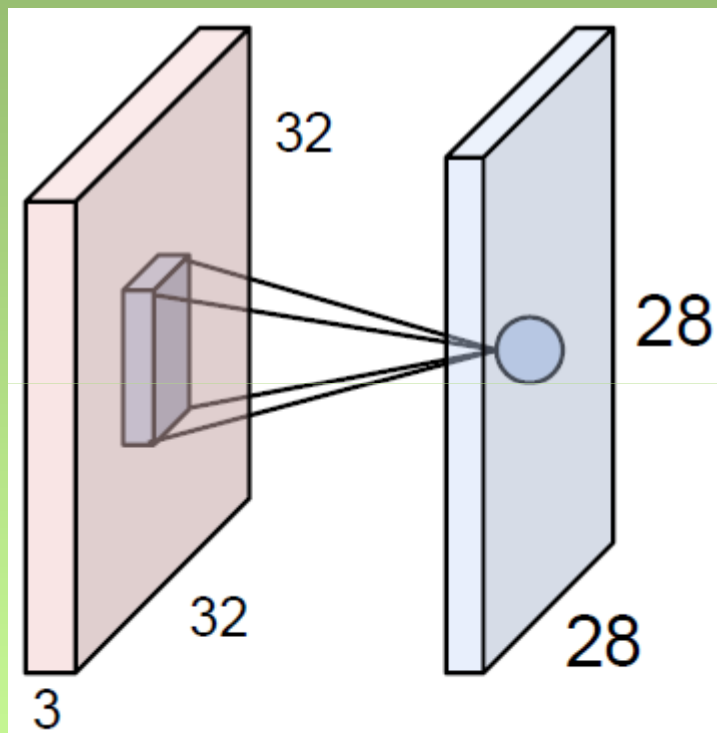
**Mapa 1:** Resultado de calcular un producto escalar entre el filtro y un pequeño fragmento de 5x5x3 de la imagen (es decir,  $5*5*3 =$  producto escalar de 75 dimensiones + sesgo)



$$\mathbf{w}^T \mathbf{x} + b$$



## Neurona de la capa CONV



**Un mapa de activación es una hoja de 28x28 de salidas de neuronas:**

- 1. Cada una está conectada a una pequeña región de la entrada**
- 2. Todas ellas comparten parámetros**  
"Filtro 5x5" -> "campo receptivo 5x5 para cada neurona"

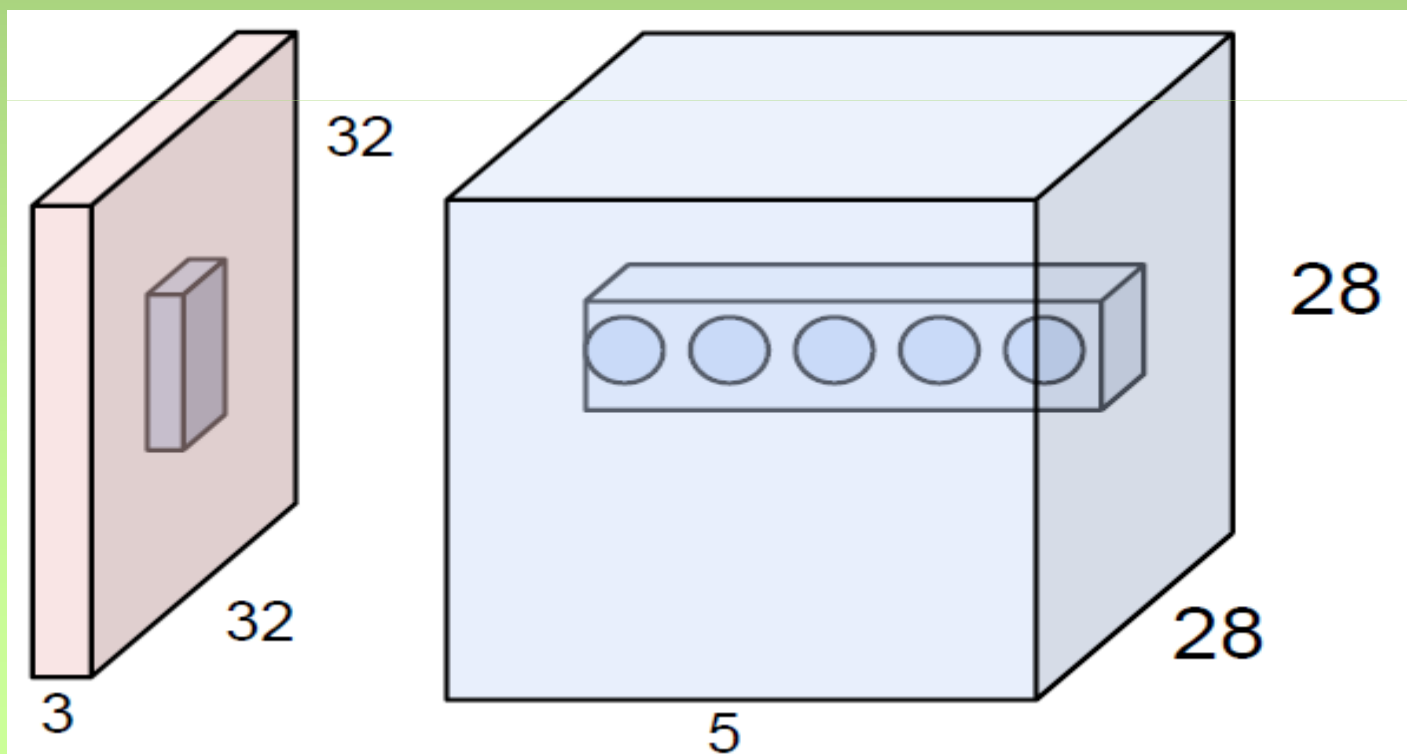


## Neurona de la capa CONV



Por ejemplo con 5 filtros, la capa CONV consta de neuronas dispuestas en una cuadrícula 3D (28x28x5)

Habr  5 neuronas diferentes todas mirando a la misma regi n en el volumen de entrada



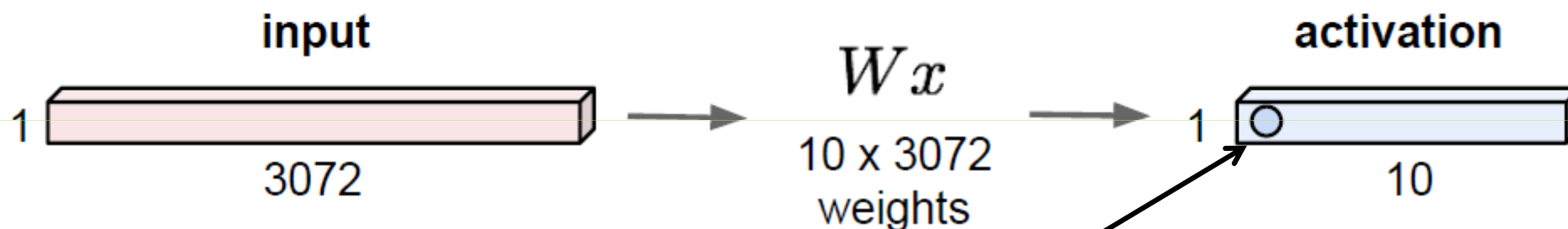


## Capa completamente conectada



Cada neurona mira el volumen de entrada completo

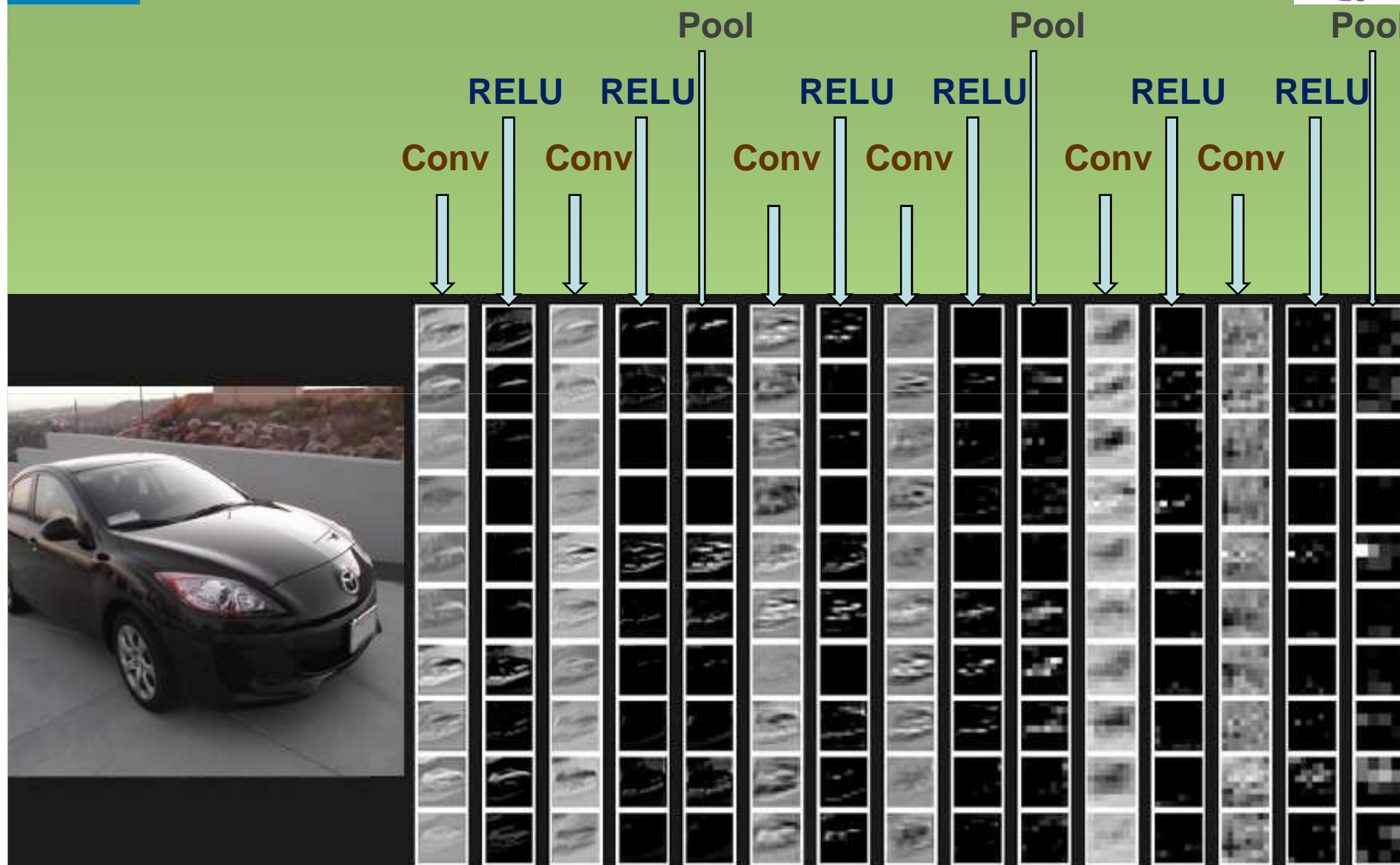
La imagen de 32x32x3  
es transformada a la  
dimensión 1 x 3072



Mapa 1: Es el resultado de realizar un producto escalar entre una fila de  $W$  y la entrada  $x$  (un producto escalar de dimensión 3072)



# Diseño Conv-ReLU-Conv-ReLU-Pool



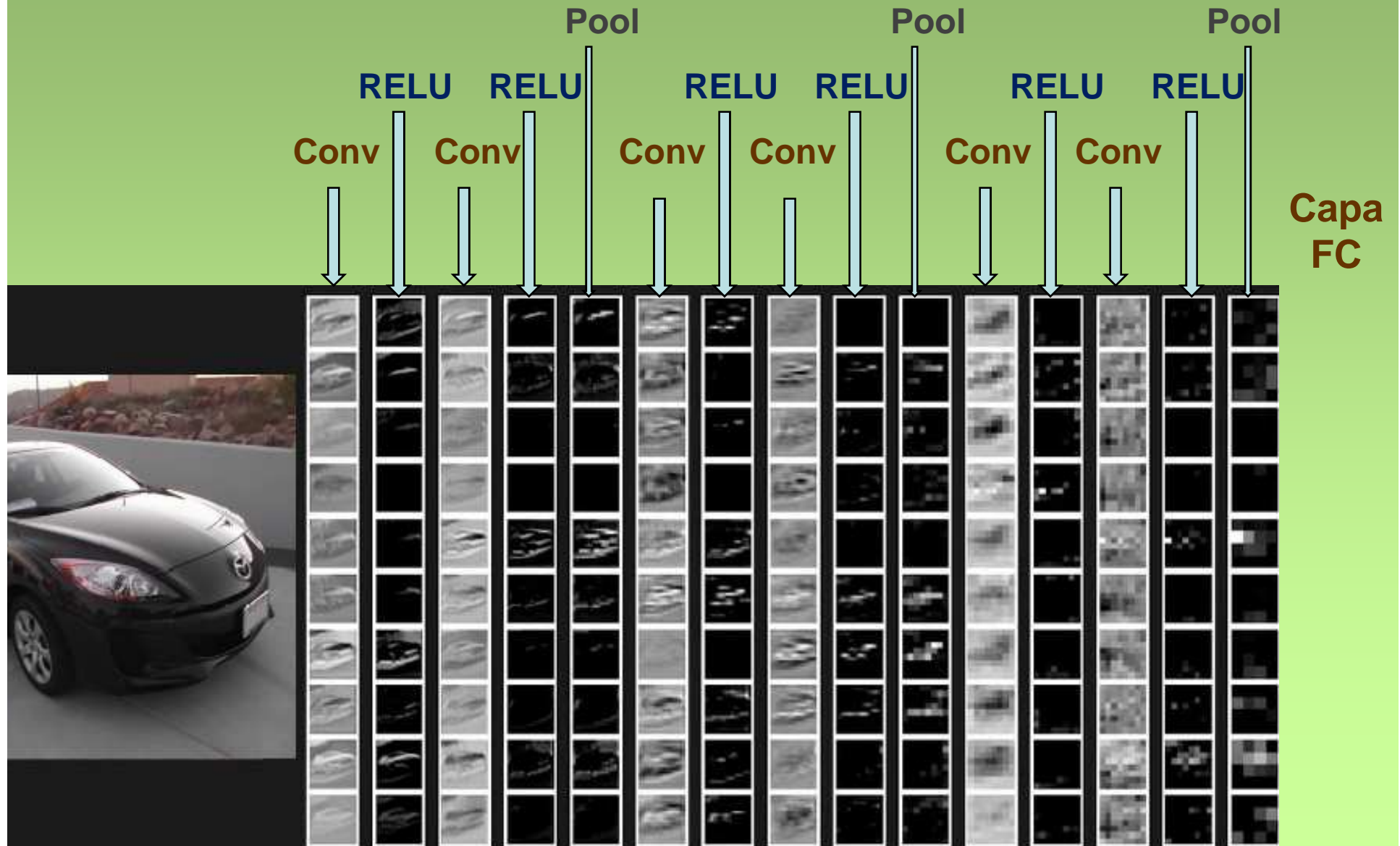
Salida: Coche FC 50%, Camión 25%, Barco 15%, Caballo 10%



## Capa completamente conectada (capa FC)



- Contiene neuronas que se conectan a todo el volumen de entrada, como en Redes Neurales ordinarias







## Resumen



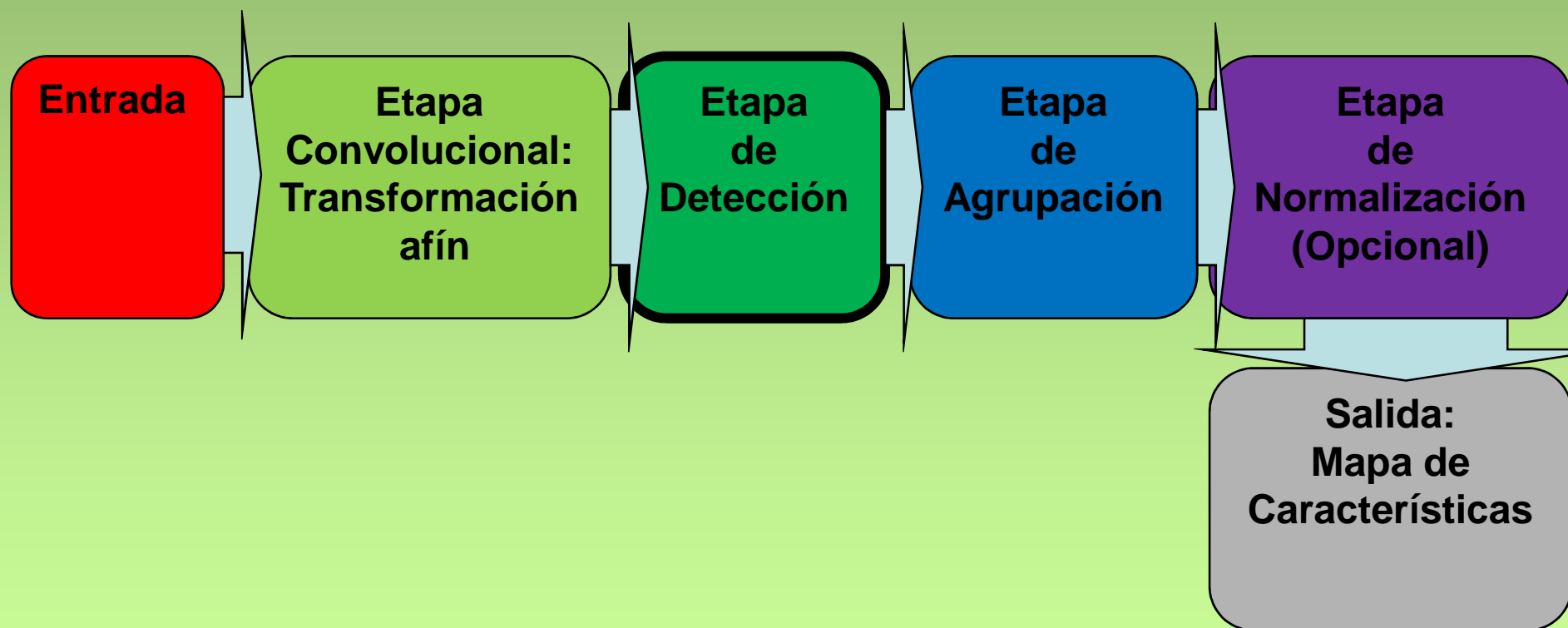
- ConvNets stack CONV, POOL, FC capas

- Tendencia hacia filtros más pequeños y arquitecturas más profundas
- Tendencia a deshacerse de las capas POOL / FC (solo CONV)
- Las arquitecturas típicas parecen ser  
 $[(\text{CONV-RELU}) * N\text{-POOL?}] * M\text{-}(\text{FC-RELU}) * K, \text{SOFTMAX}$   
donde N es usualmente de hasta  $\sim 5$ , M es grande,  $0 \leq K \leq 2$ .
- Pero recientes avances como ResNet / GoogLeNet desafian este paradigma

-[ConvNetJS demo: training on CIFAR-10]



## Estructura de las capas de una CNN



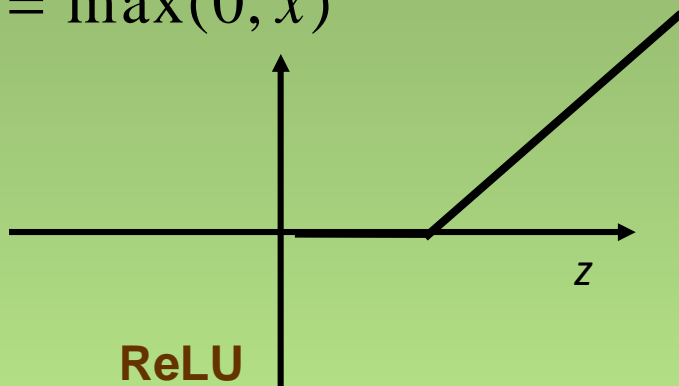


# Funciones de Activación No Lineales



## Unidad Lineal Rectificada

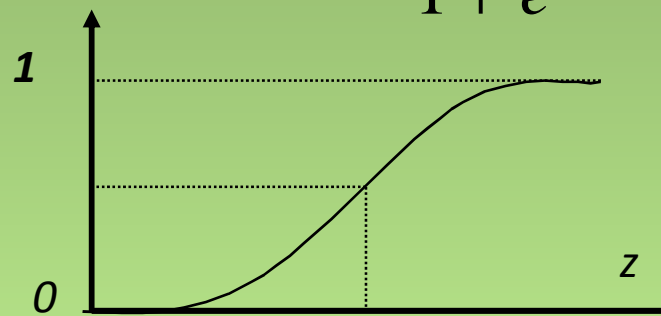
$$\phi(x) = \max(0, x)$$



La función **ReLU** es la función de activación más popular para DNN desde el año 2015, evita saturaciones y hace más rápido el aprendizaje

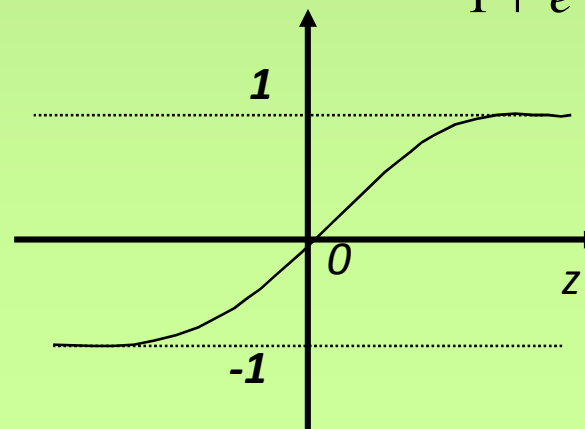
## Activación Logística

$$\phi(z) = \frac{1}{1 + e^{-z}}$$



## Activación Tangente Hiperbólica

$$\phi(u) = \tanh(u) = \frac{1 - e^{-u}}{1 + e^{-u}}$$





## Compartir pesos y convoluciones: Explota la estacionariedad espacial



Características que son útiles en una parte de la imagen son probablemente útiles en otra parte

Todas las unidades comparten el mismo conjunto de pesos

**Cambio de equivalencia de procesamiento**

Cuando las entradas cambian, las salidas también cambian pero en otro caso permanecen sin cambios.

**Convolución**

Con un kernel de aprendizaje (o filtro)

**No-linearidad: ReLU (rectificado lineal)**

$$A_{ij} = \sum_{k,l} W_{kl} X_{i+j,k+l}$$

**A la imagen filtrada Z se le llama mapa de características  
“feature map”**

$$Z_{ij} = \max(0, A_{ij})$$



## Etapa de Detección



**Mapa de Características.-** Se obtiene por convolución de la imagen mediante un filtro lineal, añadiendo un término de sesgo y aplicando una función de transferencia no lineal

Se necesita un número de mapas de característica en cada capa para capturar un número suficiente de características en la imagen

Sea el **k-ésimo mapa de características** en una capa dada,  $x^k$  cuyos filtros están determinados por  $W_k$  y sesgo  $b_k$ , entonces se obtiene  $x^k$  con función sigmoide  $\sigma$  para la no linealidad y un filtro de tamaño  $m \times m$  en la forma

$$x_{ij}^k = \sigma \left( (W^k * a)_{ij} + b_k \right) = \sigma \left[ \left( \sum_{a=0}^{m-1} \sum_{b=0}^{m-1} w_{ab} y_{(i+a)(j+b)}^{k-1} \right)_{ij} + b_k \right]$$



## Etapa de Detección



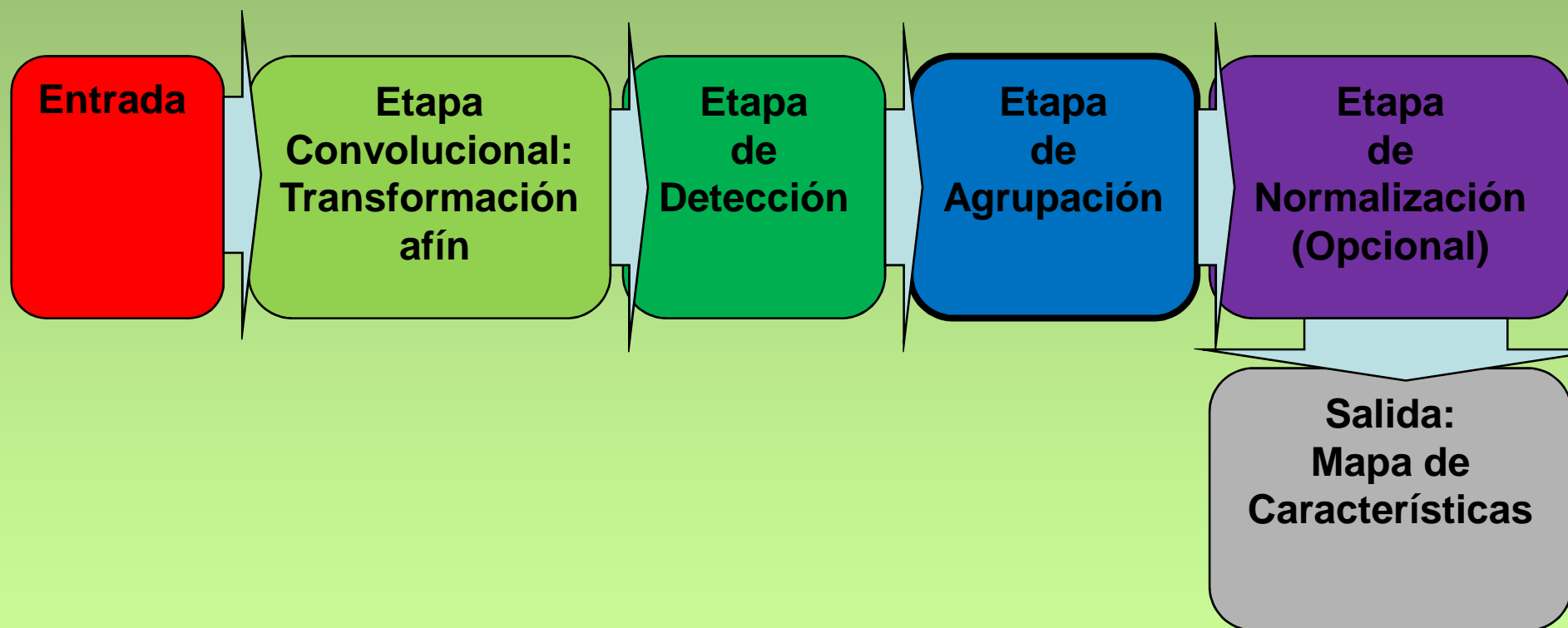
Cada capa oculta está formada por múltiples mapas de características,  $\{x^k, k = 0, \dots, K\}$

La matriz de pesos,  $W$ , de una capa oculta puede representarse mediante un tensor de dimensión 4D conteniendo elementos de cada combinación de (mapas de características de destino, mapa de características fuente, posición vertical fuente y posición horizontal fuente)

Sesgos,  $b$ , los cuales pueden representarse mediante un vector que contenga un elemento por cada mapa de características destino



## Estructura de las capas de una CNN





## Porque hacer Pooling

- ❑ El Sub-muestreo de píxeles no cambiará el objeto

pájaro



Sub-muestreo

pájaro



Podemos submuestrear los píxeles para hacer la imagen más pequeña.

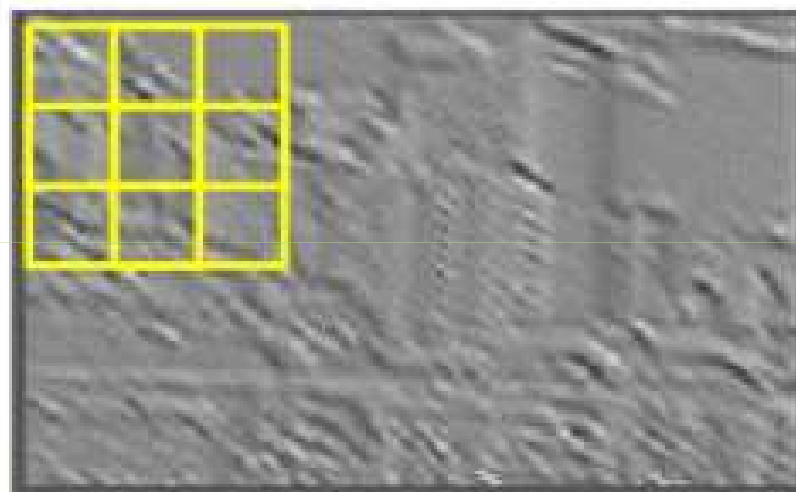
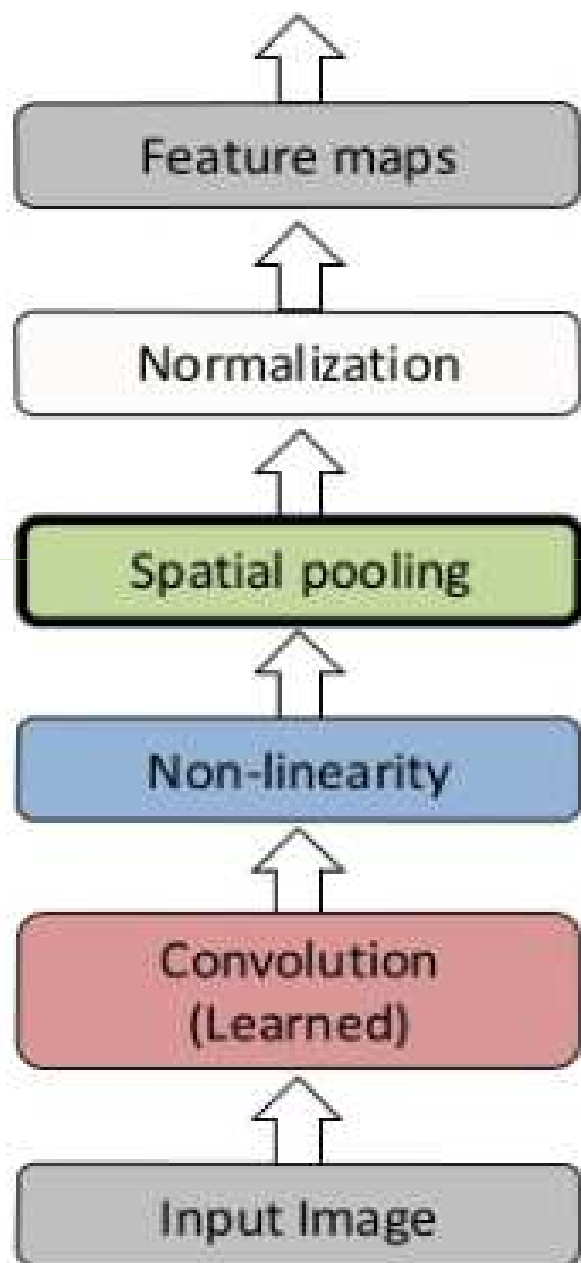


Tendremos menos parámetros para caracterizar la imagen

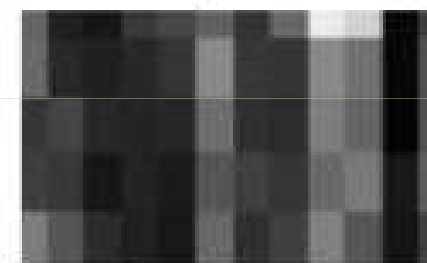




# Max pooling



Max pooling





# Max pooling



1	-1	-1
-1	1	-1
-1	-1	1

Filtro1

-1	1	-1
-1	1	-1
-1	1	-1

Filtro 2

Mapa de características

3	-1	-3	-1
-3	1	0	-3
-3	-3	0	1
3	-2	-2	-1

Mapa de características

-1	-1	-1	-1
-1	-1	-2	1
-1	-1	-2	1
-1	0	-4	3



## Una red CNN comprime una red totalmente conectada de dos maneras:

- ❑ Reduciendo el número de conexiones.
- ❑ Compartiendo pesos en las conexiones.
- ❑ La operación de *Max pooling* reduce aún más la complejidad



## Max Pooling



stride=1

-1	1	-1
-1	1	-1
-1	1	-1

Filtro 2



-1	-1	-1	-1
-1	-1	-2	1
-1	-1	-2	1
-1	0	-4	3

Nueva imagen pero más pequeña

1	0	0	0	0	1
0	1	0	0	1	0
0	0	1	1	0	0
1	0	0	0	1	0
0	1	0	0	1	0
0	0	1	0	1	0

Conv

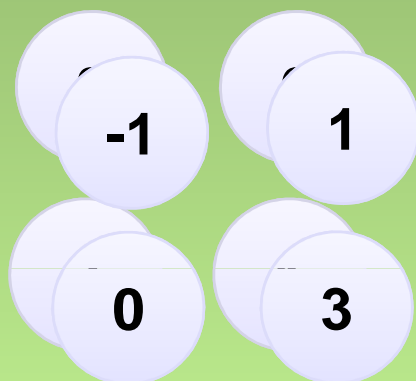
Max  
Pooling

-1	1
0	3

Cada filtro es un canal



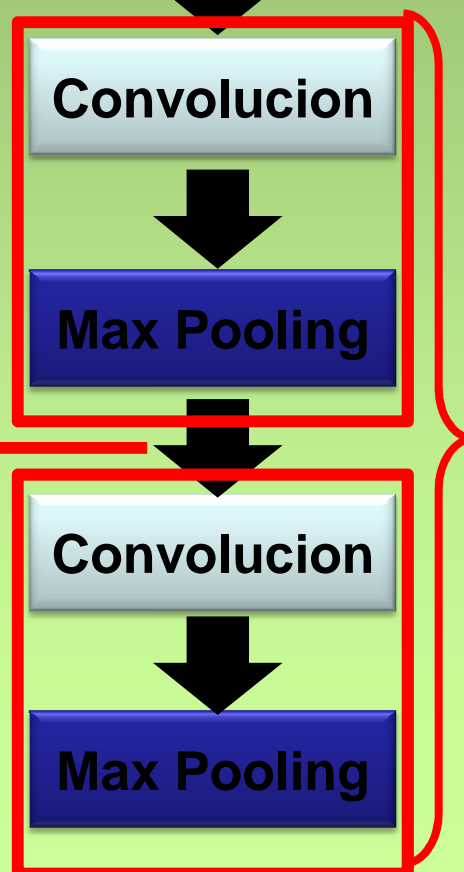
## Red CNN completa



**Una nueva  
imagen**

**El número de canales es el  
número de filtros**

**Más pequeña que la imagen  
original**



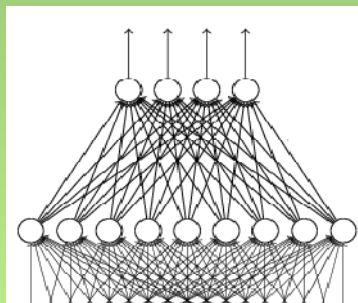
**Puede  
repetirse  
más veces**



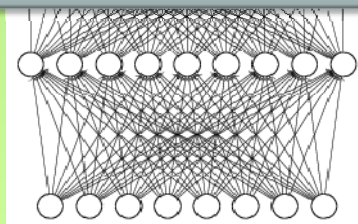
## Red CNN completa



lince, tigre, gato, ...



**Red completamente conectada  
Red Feedforward**



**Convolución**

**Max Pooling**

**Una nueva  
imagen**

**Convolución**

**Max Pooling**

**Una nueva  
imagen**

**Alisado**



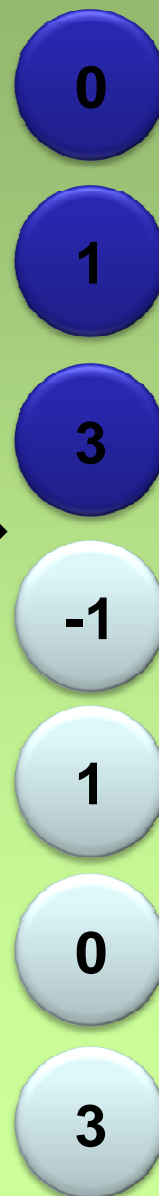
## Paso de capa Max pooling a capa dense o completamente conectada



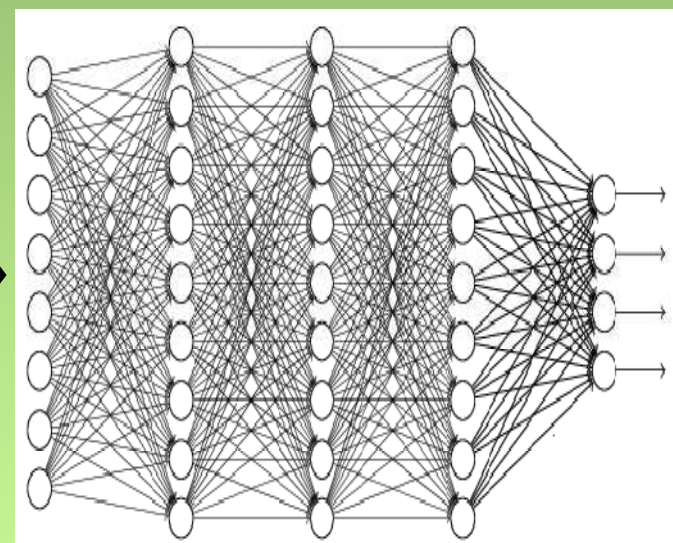
Alisado: Paso de 2-D a 1-D



Alisado



Capa dense



Red completamente  
conectada  
Red Feedforward, Red  
recurrente, Red LSTD



## Reducción “Pooling”



Muestreo no lineal para simplificar la información en la salida de la capa convolucional

### Variantes:

Máximo agrupamiento (es el más popular)

Media ponderada basada en distancia

Norma  $L_2$  de los vecinos

**Reduce el cálculo de las capas superiores** mediante informes resumidos de estadísticas (solo con *stride* > 1).

**Proporciona invarianza a la traslación** (dado que antes del aprendizaje debe ser invariante a las traslaciones pequeñas)

**Propiedad útil**, dado que nos preocupamos más por si algunas características están presentes que exactamente donde se encuentran, por lo tanto, se agrega robustez a la posición.



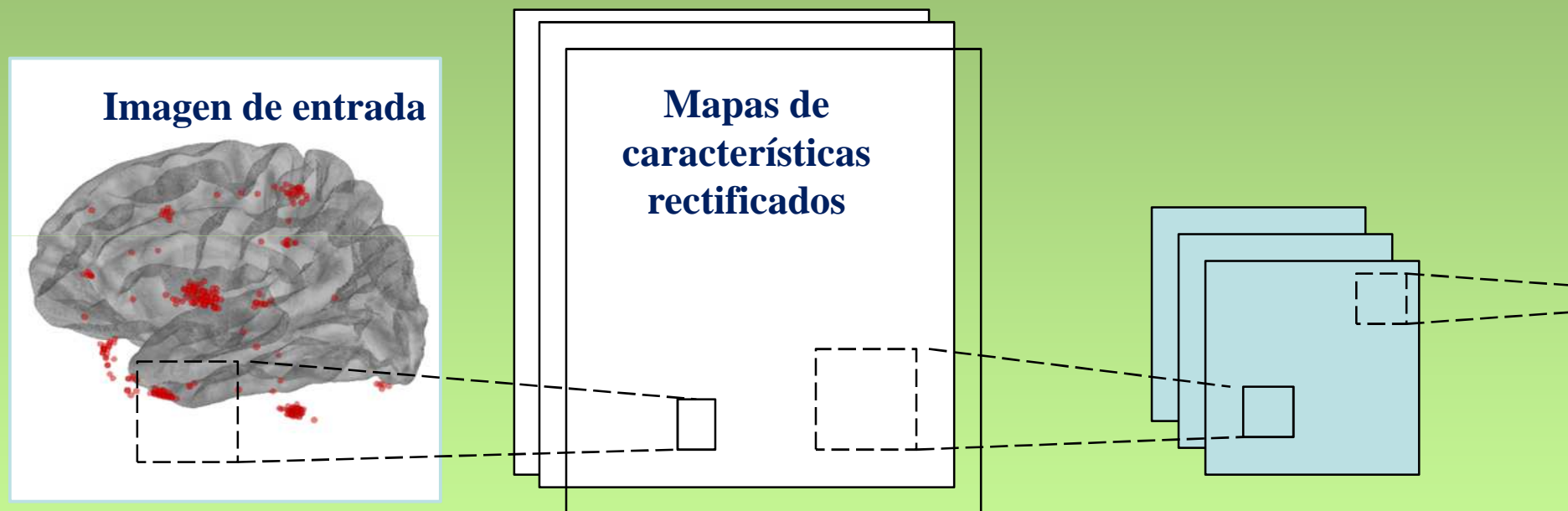


# Reducción “Pooling”



**Convolución  
usando 3 filtros + ReLU**

**Pooling aplicado  
separadamente a cada  
mapa de características**





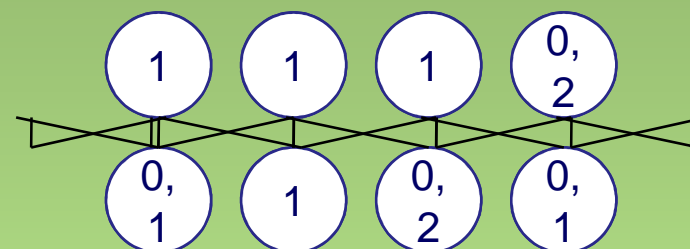
## Reducción: *Pooling*



La vista inferior ha sido desplazada por 1 píxel versus la vista superior.

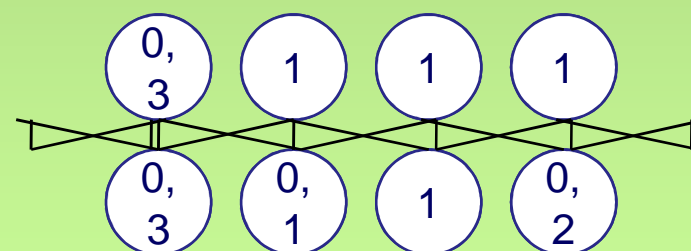
¡Cada valor en la fila inferior ha cambiado, pero solo la mitad de los valores en la fila superior ha cambiado!

### Etapa de Reducción



### Etapa de Detección

### Etapa de Reducción



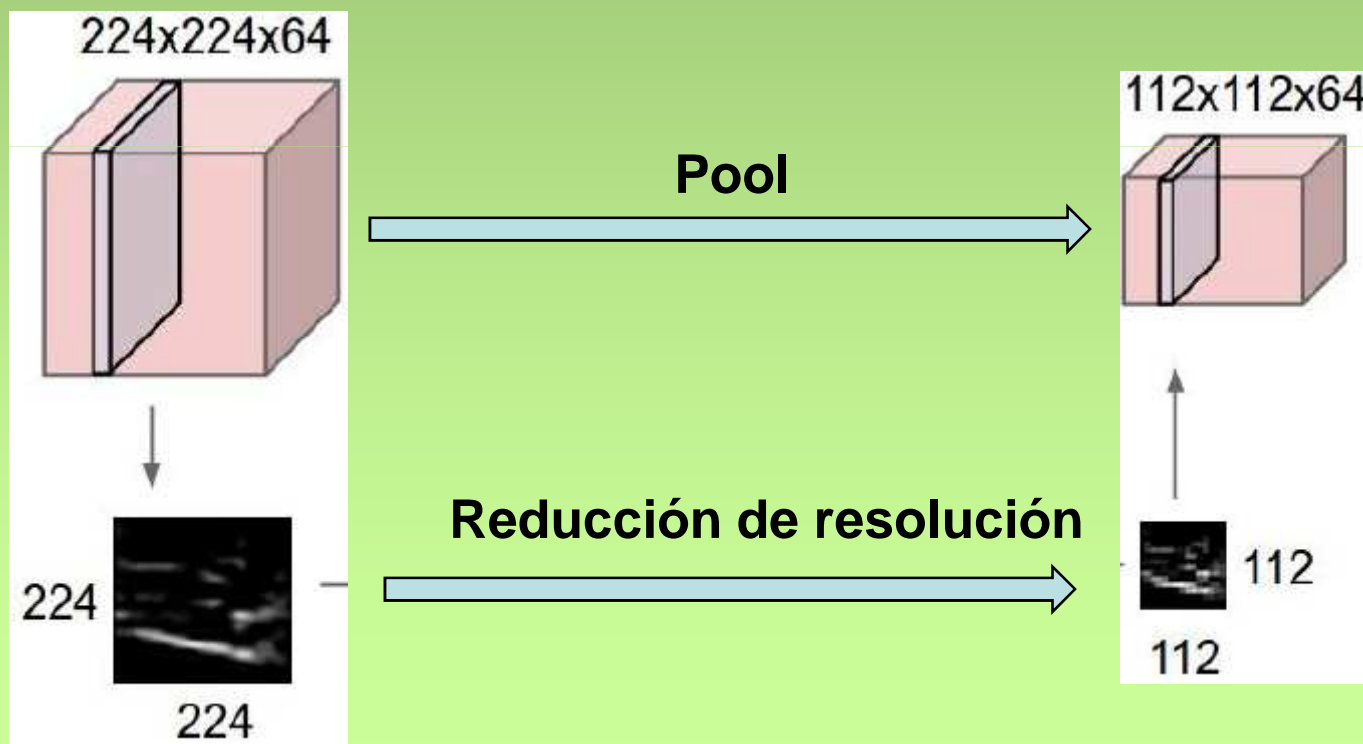
### Etapa de Detección



## Capa de reducción: *Pooling*



- Hace las representaciones más pequeñas y más manejables
- Opera en cada mapa de activación de forma independiente:



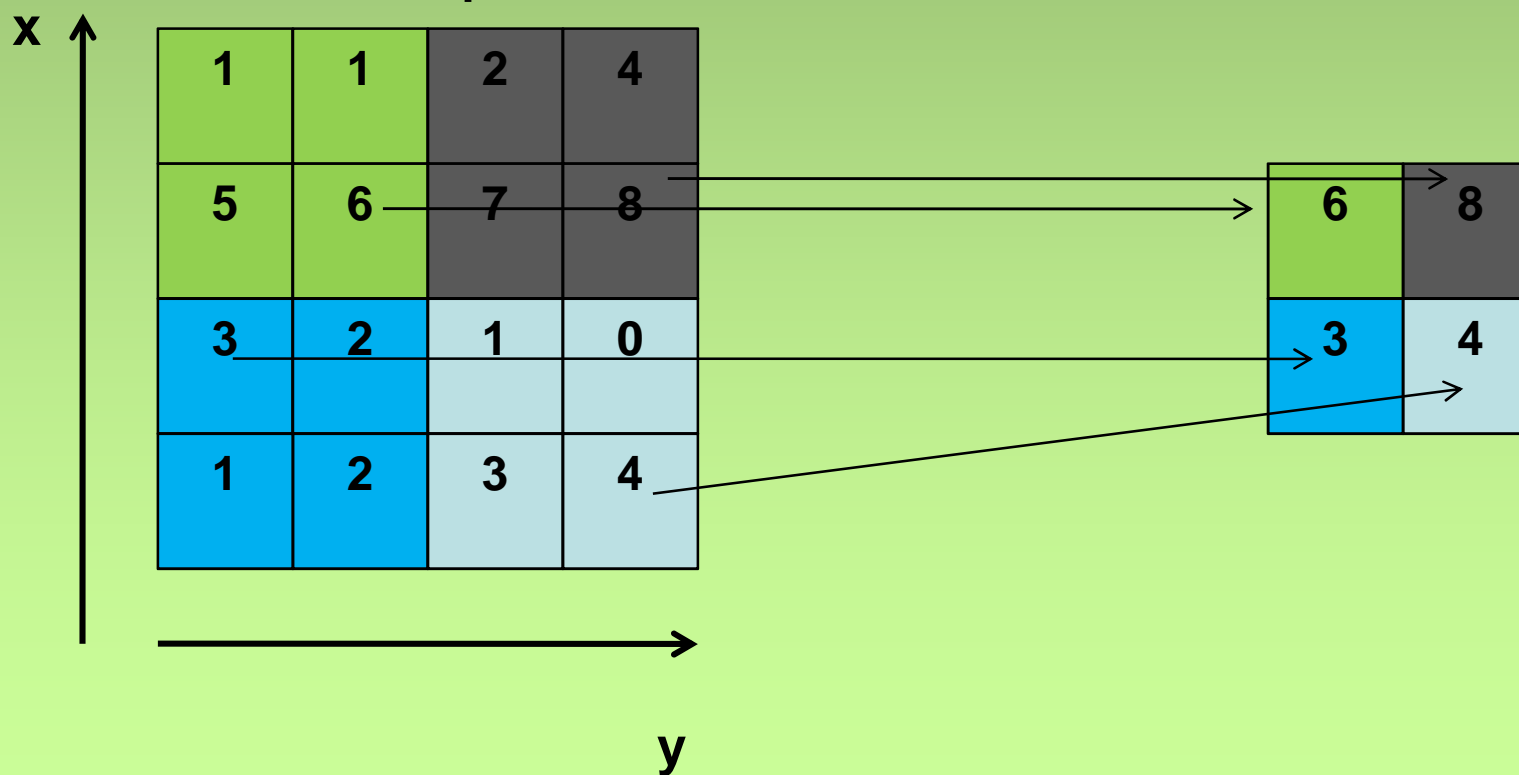


# Max Pool



## Máx Pool con filtros 2x2 y paso de 2

Mapa de activación  
Rebanada de profundidad 1



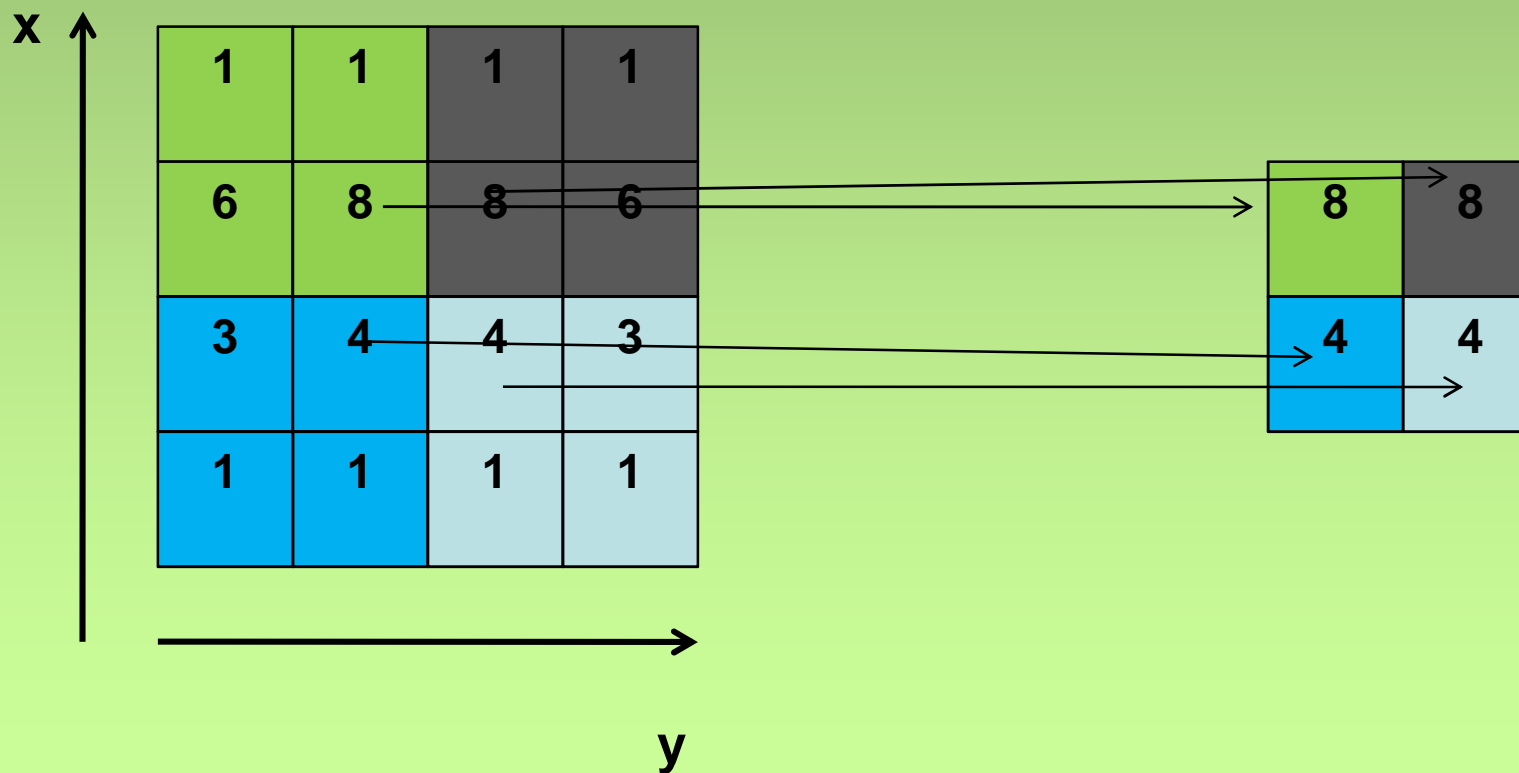


# Max Pool



## Máx Pool con filtros 2x2 y paso de 2

Mapa de activación  
de profundidad 1





# Pooling



1) Se acepta un volumen de tamaño  $W_1 \times H_1 \times D_1$

2) Introducir los tres hiperparámetros

Tamaño espacial del filtro  $F$ ,

Paso o *stride*  $S$ ,

Configuración común:

$F = 2, S = 2$

$F = 3, S = 2$

3) Produce un volumen de tamaño  $W_2 \times H_2 \times D_2$  donde

$$W_2 = \frac{W_1 - F}{S} + 1; \quad H_2 = \frac{H_1 - F}{S} + 1,$$

$$D_2 = D_1; \quad P = 0$$

Introduce cero parámetros ya que calcula una función fija de la entrada

Hay que tener en cuenta que no es común usar relleno cero para agrupar capas



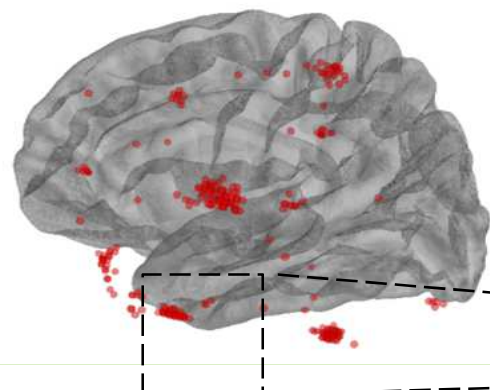
## Ejemplo: Determinación de estados de la enfermedad de Parkinson



**1ª Convolución  
+ ReLU**

**1er Pooling**

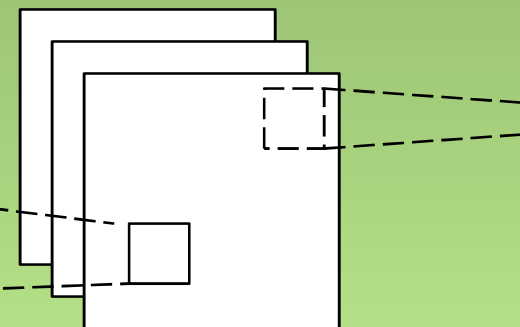
**Imagen de entrada**



**Mapas de  
características  
rectificados**



**2ª Convolución  
+ ReLU**



**2 Pooling**

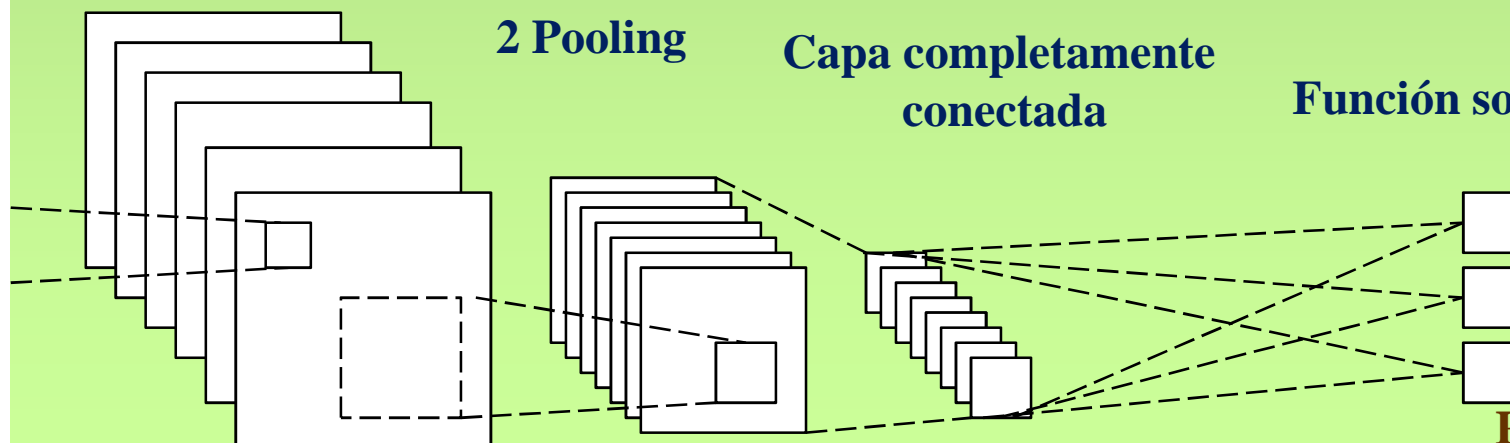
**Capa completamente  
conectada**

**Función softmax**

**P(Sin Parkinson)**

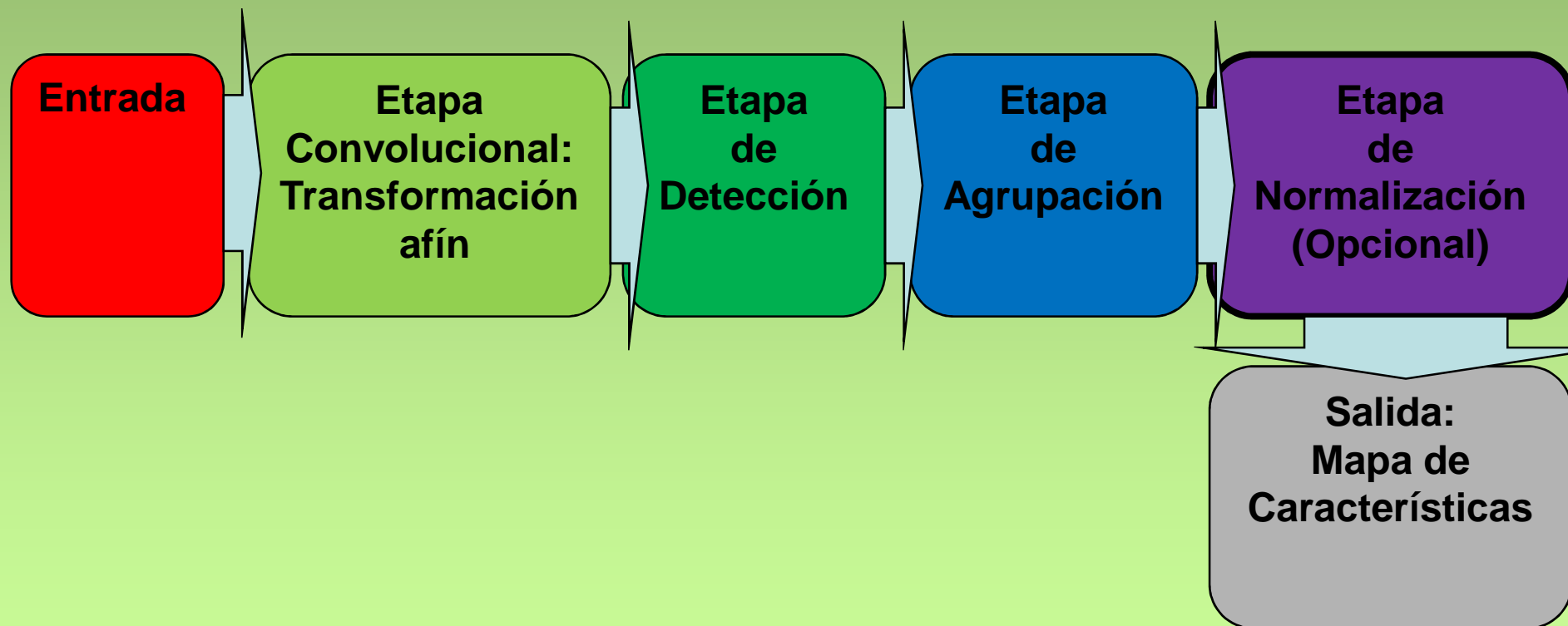
**P(Parkinson Leve)**

**P(Parkinson Grave)**





## Estructura de las capas de una CNN



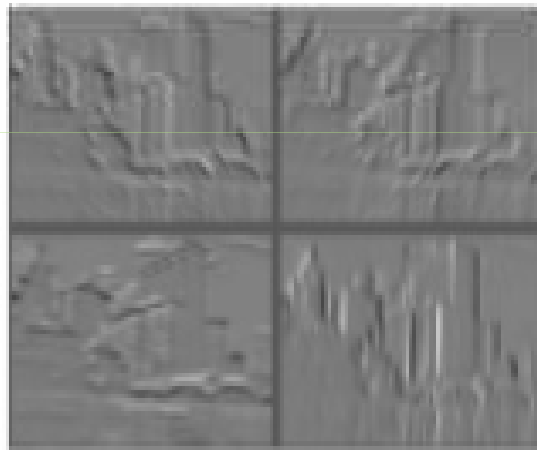




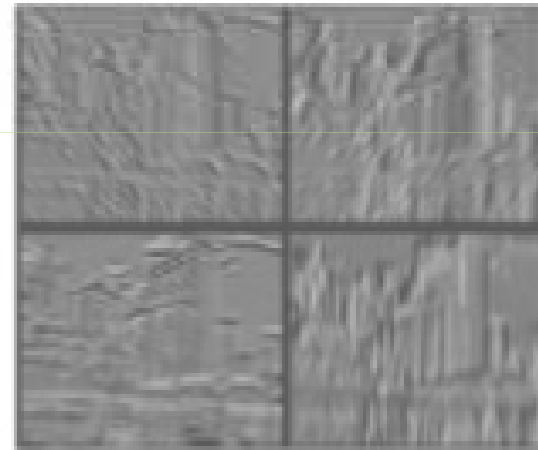
## Normalización (Opcional)



**La respuesta es normalizada localmente utilizando alguna distancia basada en una función promedio ponderada**



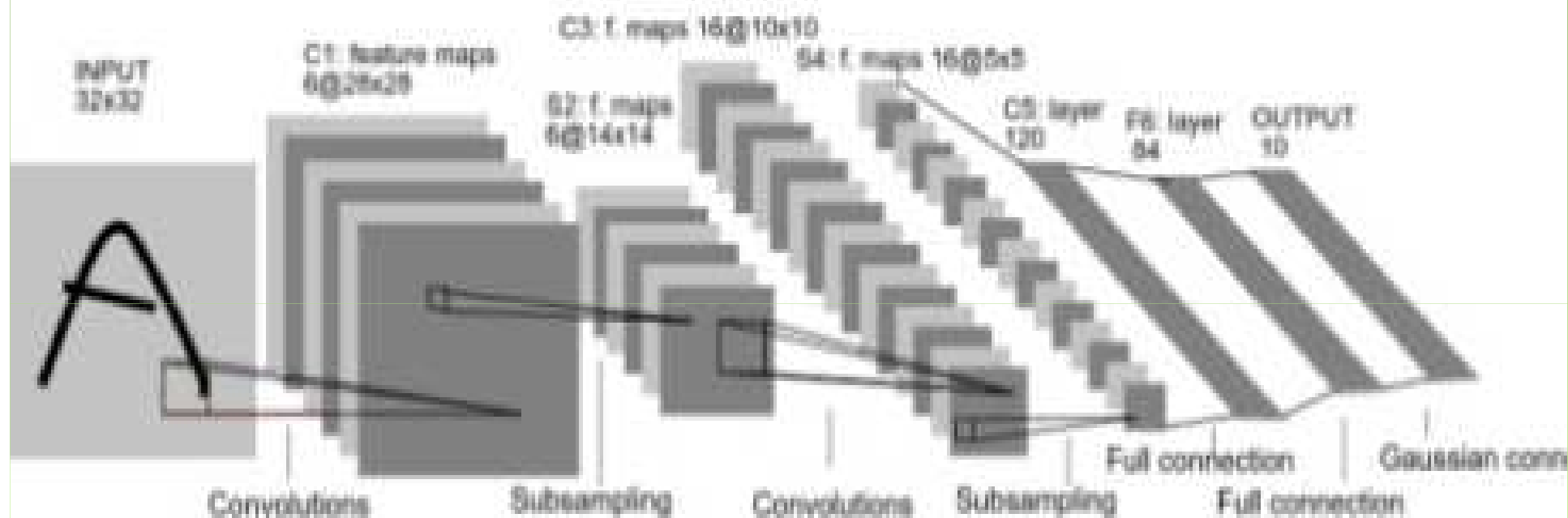
**Mapa de  
características**



**Mapa de  
características  
después de una  
normalización de  
contraste**

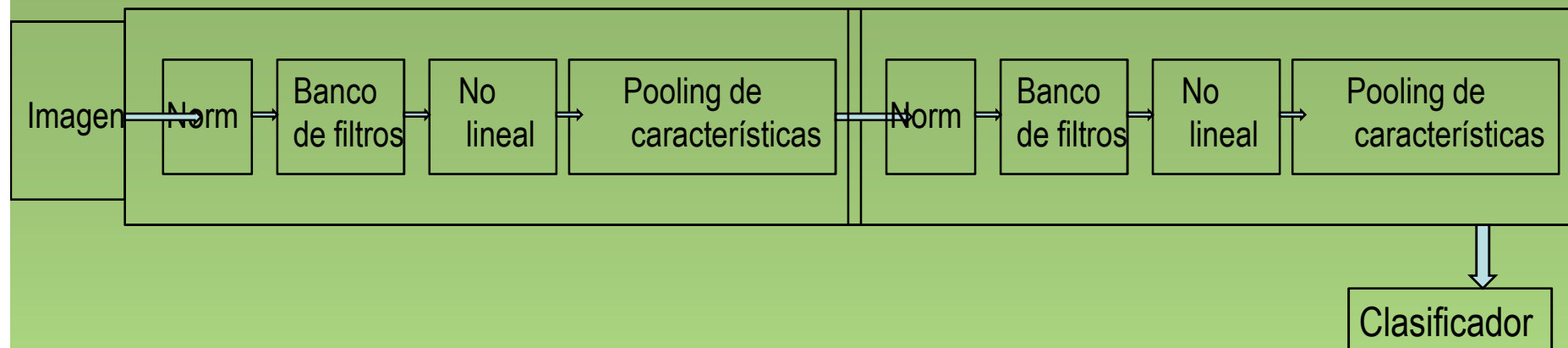


## Situar todas las capas juntas





## Transformación de características: Normalización, Banco de filtros, No linealidad, *pooling*



**Banco de Filtros** → **No linealidad**= No linealidad embebida en alta dimensión

**Pooling de características**= contracción, reducción de dimensionalidad, alisado

**Aprendizaje del banco de filtros en cada etapa**

**Crear una jerarquía de características**

**Los elementos básicos están inspirados en modelos de la corteza visual (y auditiva)**

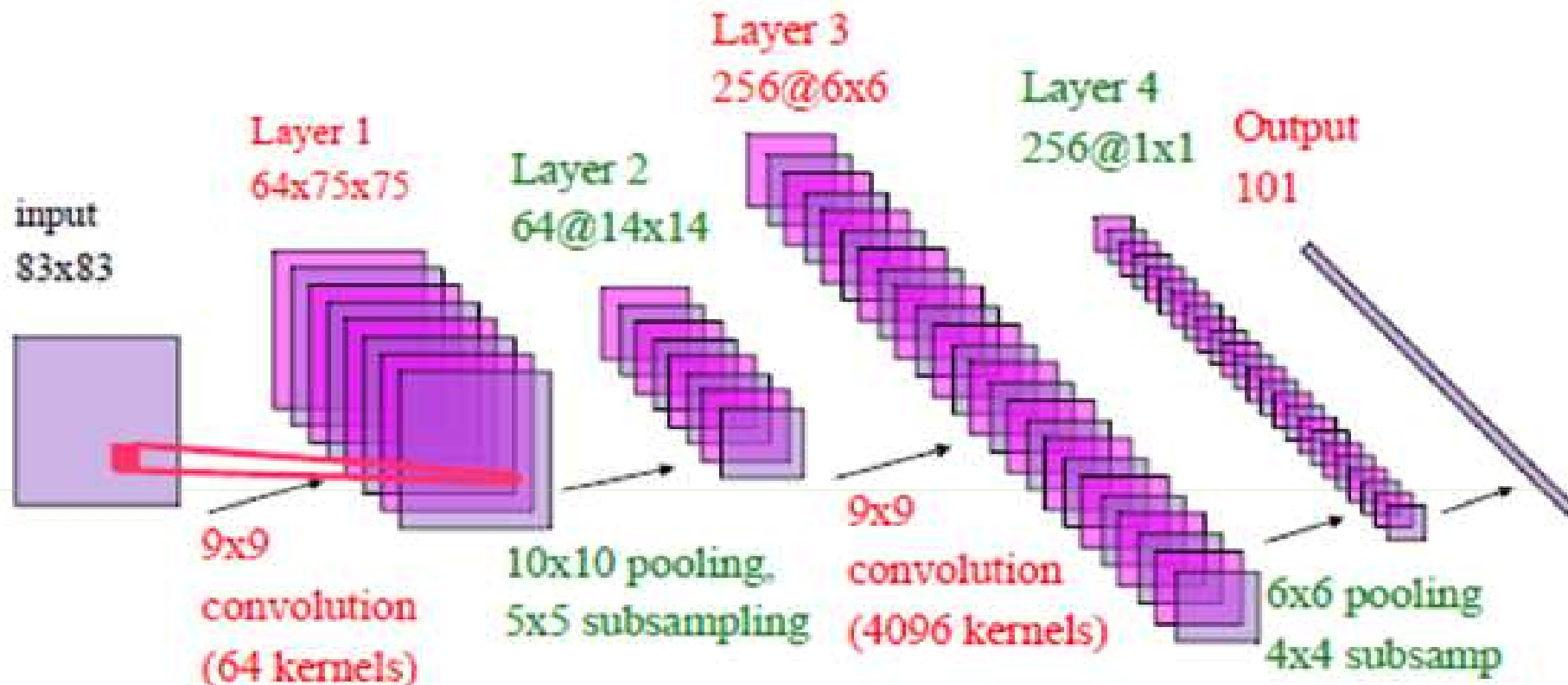
**Hubel and Wiesel 1962**

**Fufushima 1974-1982, LeCun 1988 y sucesivos**

**Desde el 2000, Hinton, Seung, Poggio, Ng, etc**



## Ejemplo: CovNet



**Tipos de No-Linearidad:** Media onda, función de contracción, sigmoide

**Tipos de pooling:** Media, L1, L2, Max

**Tipos de entrenamiento:** Supervisado (1988-2006), No supervisado  
+Supervisado (2006, hasta ahora)



# Retropropagación del error



**Funciones de pérdida para clasificación multiclase**

**Función de decisión de tipo softmax**

$$p(y^{(l)} = 1 | \mathbf{x}, \boldsymbol{\theta}) = \frac{\exp f_l(\mathbf{x}, \boldsymbol{\theta}_l)}{\sum_{j=1}^J \exp f_j(\mathbf{x}, \boldsymbol{\theta}_j)}, l = 1, 2, \dots, J$$

la regla de clasificación es  $C(x) = \hat{l}$ , siendo  $\hat{l} = \arg \max_l f_l(\mathbf{x}, \hat{\boldsymbol{\theta}}_l)$  para  $j=1, \dots, J$

**Para regresión**

Error Cuadrático Medio, 
$$\text{MSE} = \frac{1}{n} \sum_{i=1}^n (t_i - y_i)^2$$

**Cambio de pesos**

Para cada peso

$$\omega_i = \omega_i - \eta \frac{\partial E}{\partial \omega_i} + \alpha \omega_i - \lambda \eta \omega_i$$

donde  $\eta$  es el parámetro de aprendizaje

$\alpha$  es el parámetro de momento

$\lambda$  es el parámetro de reducción del valor del peso



# Retropropagación



## Capa convolucional

Con la función de error E, y el filtro de salida  $x^t$

$$\frac{\partial E}{\partial w_{ab}} = \sum_{i=0}^{N-m} \sum_{j=0}^{N-m} \frac{\partial E}{\partial x_{ij}^t} \frac{\partial x_{ij}^t}{\partial w_{ab}} = \sum_{i=0}^{N-m} \sum_{j=0}^{N-m} \frac{\partial E}{\partial x_{ij}^t} y_{(i+a)(j+b)}^{t-1}$$

$$\frac{\partial E}{\partial x_{ij}^t} = \frac{\partial E}{\partial y_{ij}^t} \frac{\partial y_{ij}^t}{\partial x_{ij}^t} = \frac{\partial E}{\partial y_{ij}^t} \frac{\partial}{\partial x_{ij}^t} \left( \sigma(x_{ij}^t) \right) = \frac{\partial E}{\partial y_{ij}^t} \sigma'(x_{ij}^t)$$

$$\frac{\partial E}{\partial y_{ij}^{t-1}} = \sum_{a=0}^{m-1} \sum_{b=0}^{m-1} \frac{\partial E}{\partial x_{(i-a)(j-b)}^t} \frac{\partial x_{(i-a)(j-b)}^t}{\partial y_{ij}^{t-1}} = \sum_{a=0}^{m-1} \sum_{b=0}^{m-1} \frac{\partial E}{\partial x_{(i-a)(j-b)}^t} w_{ab}$$

Entonces, el error es propagado a la capa previa



## Capa de Reducción o *pooling*



En realidad se aprende a sí misma, solo reducen el tamaño del problema al introducir la dispersión.

Reduce la región de tamaño  $k \times k$  (tamaño del filtro) a un valor único durante la propagación hacia adelante.

El error se propaga hacia atrás a la subimagen local de donde vino, por lo que los errores son bastante dispersos



## ¿Que es Theano?



**Theano** es un compilador de expresiones matemáticas basado en Python cuya sintaxis es bastante similar a **NumPy**.

Es un proyecto de código abierto desarrollado y mantenido por el grupo MI de la Universidad de Montréal.

Utiliza expresiones matemáticas compuestas en una descripción de alto nivel imitando la sintaxis de **NumPy** y su semántica permitiendo a **Theano** proporcionar diferenciación simbólica





## Características clave



**Implementación sencilla compatible con CPU y GPU**

**Theano tiene sus propios optimizadores utilizando CUDA C++ para GPU**

**Fácil de implementar el algoritmo de retropropagación en CNN, de forma tal que se calculan automáticamente todas las transformaciones que conlleva el procedimiento.**

**Crea un grafo con las diferentes entradas involucradas.**

**La diferenciación se realiza utilizando la regla de la cadena**

**2017/11/15: Release of Theano 1.0.0. Everybody is encouraged to update.**



# Implementaciones basadas en Theano para Deep Learning



**Caffe**  
**Torch**  
**Keras**

**Otros marcos de trabajo**

**cuDNN**  
**DIGITS**



## Características claves de Caffe

Marco de trabajo (esencialmente para entrenamiento de CNN) desarrollado por Berkeley Vision Learning Center (BVLC)

**Velocidad:** Capaz de procesar sobre 60M imágenes por día con una sola tarjeta **Nvidia K40 GPU**, esta considerada la más rápida implementación para CNN disponible

**Arquitectura expresiva:** Permite que los modelos y la optimización se definan como ficheros de configuración más que código rígido, con habilidad para **intercambiar** entre **CPU y GPU** mediante una sencilla bandera.



# Caffe: Capa de convolución



Layers {

```
name: "conv1"
type: CONVOLUTION
bottom: "data"
top: "conv1"
blobs_lr: 1
blobs_lr: 2
weight_decay: 1
weight_decay: 0
convolution_param {
  num_output: 96
  kernel_size: 7
  stride: 4
  weight_filter {
    type: "gaussian"
    std: 0.01
  }
  bias_filter {
    type: "constant"
    value: 0
  }
}
```

}



## Caffe: Capa de reducción máxima



```
Layers {  
  name: "pool1"  
  type: POOLING  
  bottom: "conv1"  
  top: "pool1"  
  pooling_param {  
    pool: MAX  
    kernel_size: 3  
    stride: 2  
  }  
}
```



# Caffe: Resolución



Scrip

```
net: "trainer.prototxt"  
test_iter: 1000  
test_interval: 1000  
base_lr: 0.001  
lr_policy: "step"  
gamma: 0.1  
stepsize: 10000  
display: 20  
max_iter: 50000  
momentum: 0.9  
weight_decay: 0.0005  
snapshot: 1000  
snapshot_prefix: "snaps/age_train"  
solver_mode: GPU
```



## Algunas tareas para las cuales las redes convolucionales profundas son las mejores



- Traffic sign recognition (2011) GTSRB competition (IDSIA, NYU)
- Pedestrian Detection (2013): INRIA datasets and others (NYU)
- Human Action Recognition (2011) Hollywood II dataset (Stanford)
- Object Recognition (2012) ImageNet competition
- Scene Parsing (2012) Stanford bgd, SiftFlow, Barcelona (NYU)
- Scene parsing from depth images (2013) NYU TGB-D dataset (NYU))
- Speech Recognition (2012) Acoustic modeling (IBM and Google)
- Breast cancer cell mitosis detection (2011) MITOS (IDSIA)
- Age and Gender classification using Convolutional Neural Networks 2015
- Ordinal Regression with Multiple Output CNN for Age Estimation. 2016
- Fast Convolutional Neural Network Training Using Selective Data Sampling: Application to Hemorrhage Detection in Color Fundus Images. 2016



# MODELOS COMPUTACIONALES: CUARTO CURSO DEL GRADO DE ING. INFORMÁTICA EN COMPUTACION

## **REDES NEURONALES CONVOLUCIONALES**

Fei-Fei Li & Justin Johnson & Serena Yeung

**César Hervás-Martínez/ Pedro A. Gutierrez**  
**Grupo de Investigación AYRNA**

**Departamento de Informática y Análisis  
Numérico**  
**Universidad de Córdoba**  
**Campus de Rabanales. Edificio Einstein.**  
**Email: [chervas@uco.es](mailto:chervas@uco.es)**

**2019-2020**





# **MODELOS COMPUTACIONALES: CUARTO CURSO DEL GRADO DE ING. INFORMÁTICA EN COMPUTACION**

## **EJEMPLOS**

**César Hervás-Martínez/ Pedro A. Gutierrez**  
**Grupo de Investigación AYRNA**

**Departamento de Informática y Análisis  
Numérico**  
**Universidad de Córdoba**  
**Campus de Rabanales. Edificio Einstein.**  
**Email: [chervas@uco.es](mailto:chervas@uco.es)**

**2019-2020**



# CNN en Keras



Sólo se modificó la **estructura de red** y el **formato de entrada (vector -> tensor 3-D)**

```
model2.add( Convolution2D( 25, 3, 3,
                           input_shape=(28, 28, 1)) )
```

1	-1	-1	1	-1
-1	1	-1	1	-1
-1	-1	-1	1	-1
		-1	1	-1
		-1	1	-1

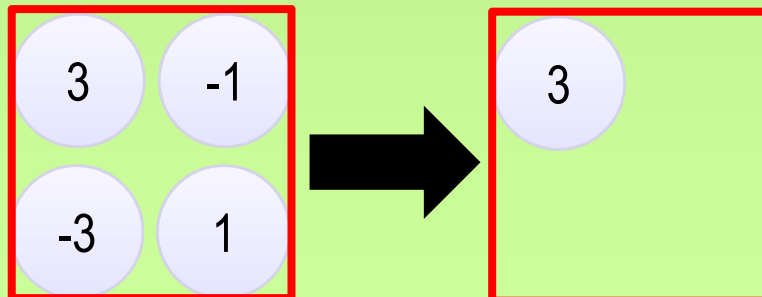
Hay 25 filtros  
de 3x3.

Input\_shape = ( 28 , 28 , 1)

28 x 28 pixeles

1: black/white, 3: RGB

```
model2.add(MaxPooling2D( (2, 2) ))
```



Entrada

Convolucion

Max Pooling

Convolucion

Max Pooling



# CNN en Keras



Sólo se modificó la **estructura de red** y el **formato de entrada** (vector -> tensor 3-D)

Entrada

1 x 28 x 28

```
model2.add( Convolution2D( 25, 3, 3,  
                           input_shape=(28, 28, 1)) )
```

Convolucion

¿Cuantos parámetros  
para cada filtro?

3 X 3 = 9

25 x 26 x 26

```
model2.add( MaxPooling2D( (2, 2)) )
```

Max  
Pooling

25 x 13 x 13

```
model2.add( Convolution2D( 50, 3, 3 ) )
```

Convolucion

¿Cuantos parámetros  
para cada filtro?

225 =  
25 x 9

50 x 11 x 11

```
model2.add( MaxPooling2D( (2, 2)) )
```

Max  
Pooling

50 x 5 x 5



# CNN en Keras



Sólo se modificó la **estructura de red** y el **formato de entrada** (vector -> tensor 3-D)

Entrada

1 x 28 x 28

Convolucion

25 x 26 x 26

Max Pooling

25 x 13 x 13

Convolucion

50 x 11 x 11

Max Pooling

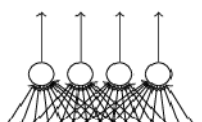
50 x 5 x 5

Alisado

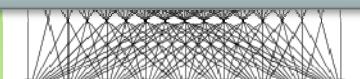
1250

```
model2.add(Flatten())
```

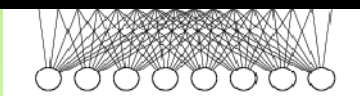
Salida



Red completamente conectada  
Red Feedforward



```
model2.add(Dense(output_dim=100))  
model2.add(Activation('relu'))  
model2.add(Dense(output_dim=10))  
model2.add(Activation('softmax'))
```





# Juego AlphaGo



**Matriz de 19 x 19**

**Negro: 1**

**Blanco: -1**

**Ninguno: 0**

**Red  
Neuronal**

**Siguiente  
movimiento  
(19 x 19  
posiciones)**

**Se puede utilizar una red  
completamente conectada**

**Pero una red CNN juega  
mucho mejor**



## Red de políticas de AlphaGo



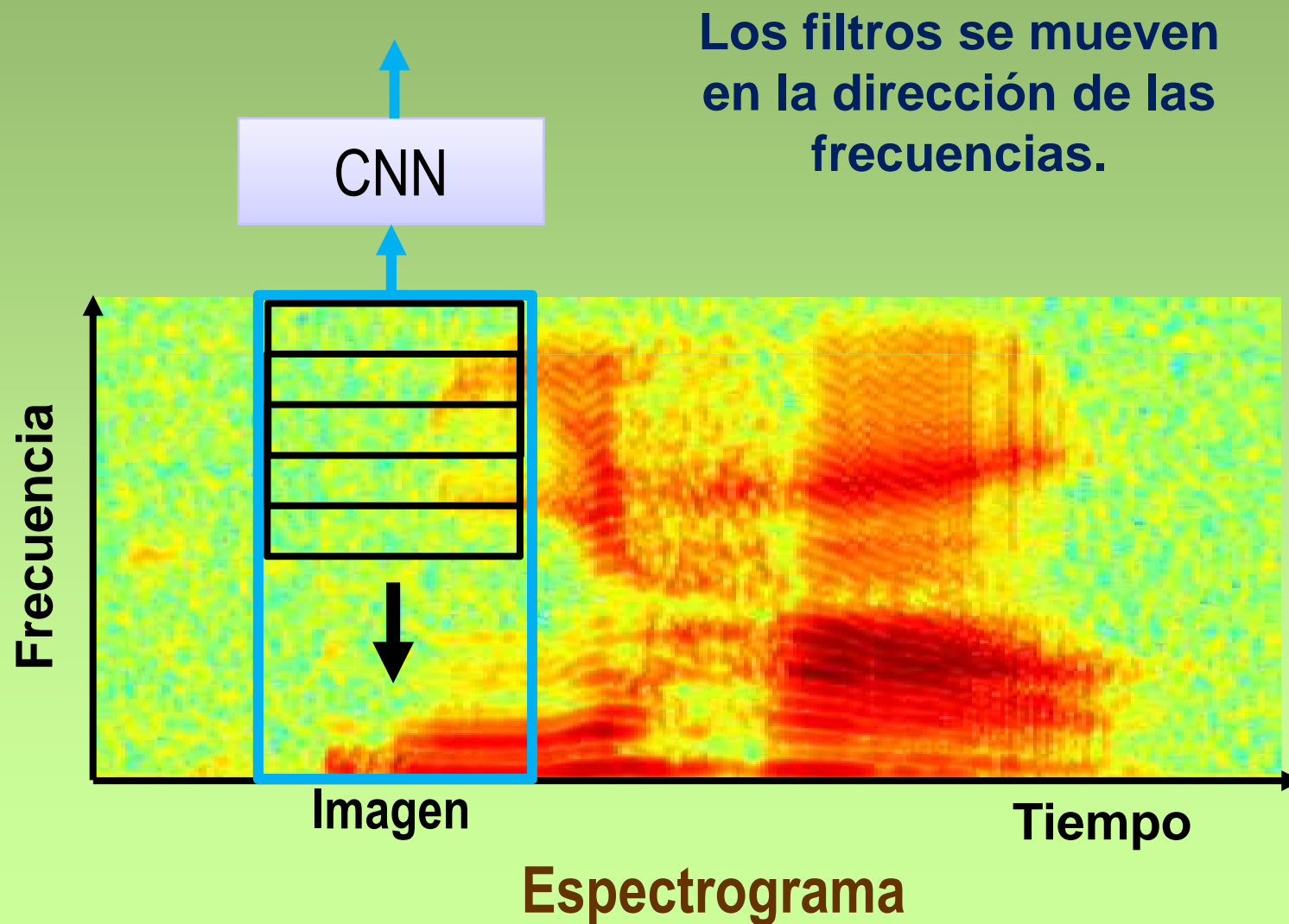
Lo siguiente es una cita del artículo publicado en Nature. :

**Note: AlphaGo does not use Max Pooling.**

**Neural network architecture.** The input to the policy network is a  $19 \times 19 \times 48$  image stack consisting of 48 feature planes. The first hidden layer zero pads the input into a  $23 \times 23$  image, then convolves  $k$  filters of kernel size  $5 \times 5$  with stride 1 with the input image and applies a rectifier nonlinearity. Each of the subsequent hidden layers 2 to 12 zero pads the respective previous hidden layer into a  $21 \times 21$  image, then convolves  $k$  filters of kernel size  $3 \times 3$  with stride 1, again followed by a rectifier nonlinearity. The final layer convolves 1 filter of kernel size  $1 \times 1$  with stride 1, with a different bias for each position, and applies a softmax function. The match version of AlphaGo used  $k = 192$  filters; Fig. 2b and Extended Data Table 3 additionally show the results of training with  $k = 128, 256$  and 384 filters.



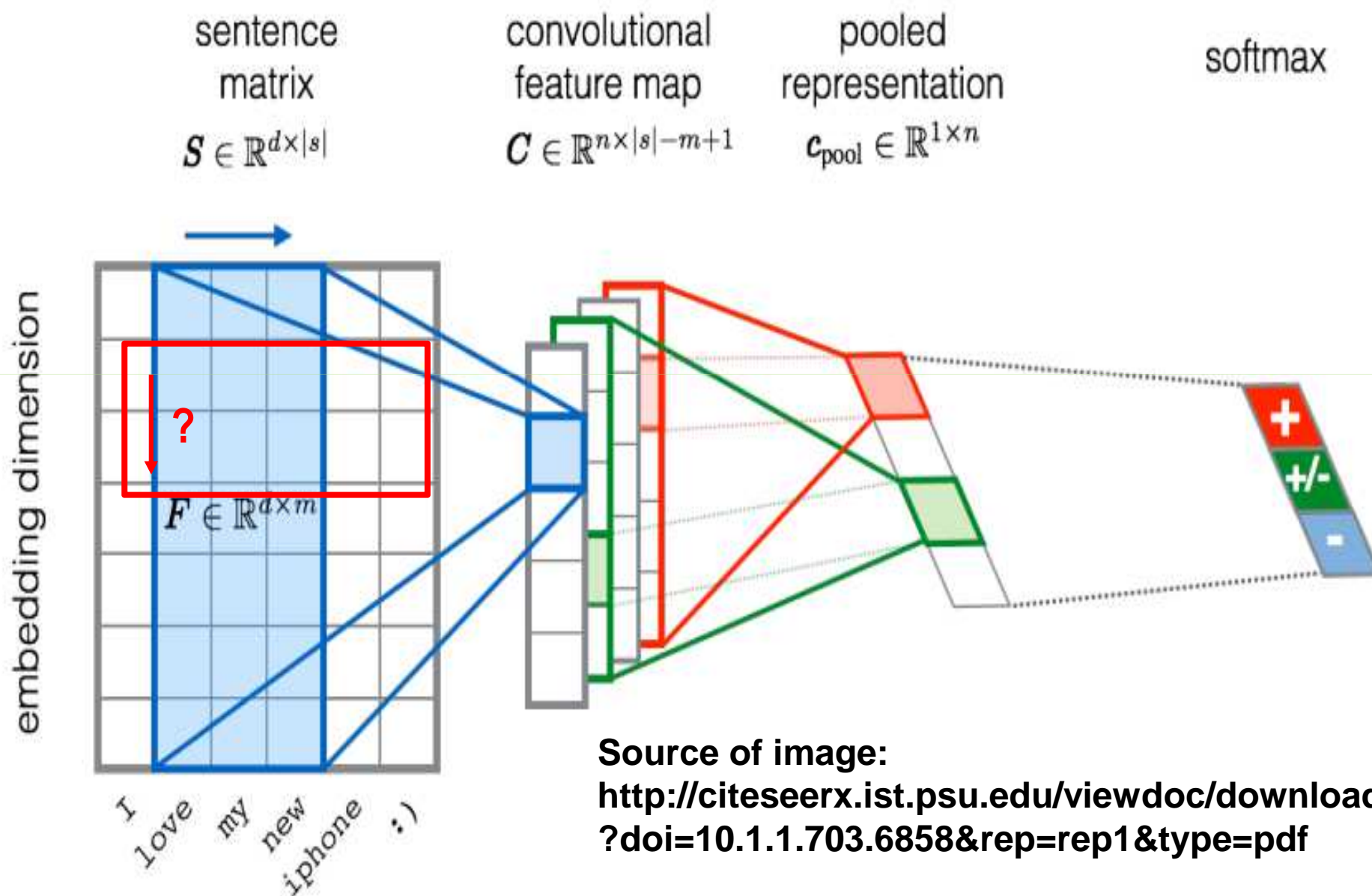
## CNN para reconocimiento del habla







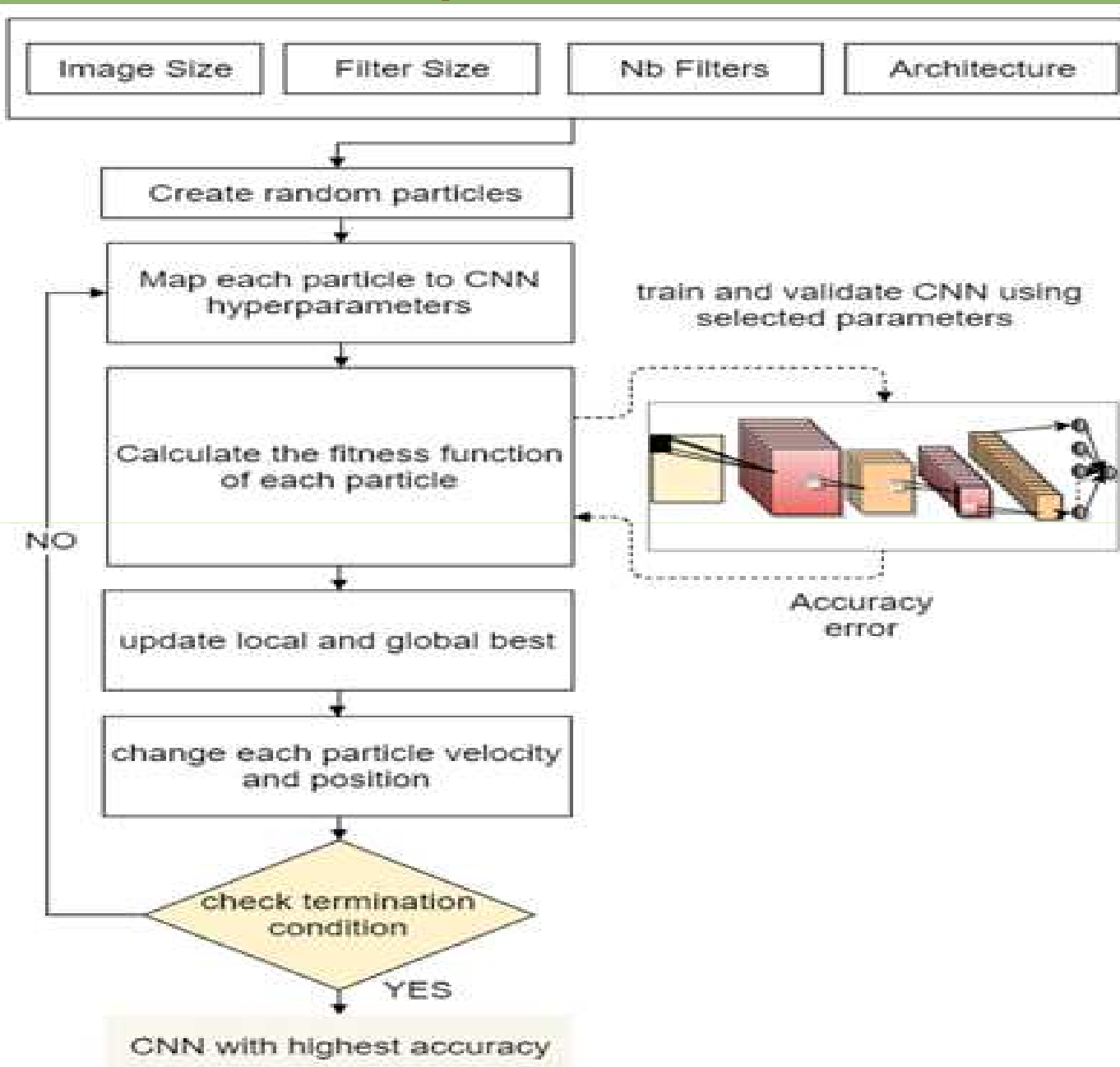
# CNN para clasificación de textos







# Selección de parámetros usando PSO





## Etapas seguidas para seleccionar los parámetros de una red CNN utilizando PSO



### Algorithm: **Parameters Selection** using PSO

**Input:** Available parameters

**Output:** selected CNN

1. create random *particles*
2. evaluate the fitness of each *particle*.
3. decode network elements
4. train CNN
5. validate CNN
6. update local and global best
7. update *particles positions and velocities*
8. check termination condition
9. if termination condition not met
10. repeat step 2
11. else
12. return selected parameters with selected CNN (P)
13. End



# Resumen: Parámetros de una red CNN



- **Capas convolucionales**

- Número de capas convolucionales.
- Número de filtros de cada capa convolucional.
- Tamaño del filtro en cada capa convolucional.
- Función de activación en cada capa convolucional.
- Tamaño del Pooling (si lo hay) después de cada capa convolucional.

- **Capas densas o completamente conectadas**

- Número de capas densas
- Patrón de conectividad de cada capa densa.
- Número de neuronas de cada capa densa.
- Función de activación en cada capa densa.
- Regularización de los pesos en cada capa densa.
- Dropout (ninguno o 50%) en cada capa densa

- **Hiperparámetros generales**

- Tamaño del lote o batch
- Regla de aprendizaje
- Tasa de aprendizaje



# Resumen: Tipos de capas



## Capas convolucionales

Mapa de características o filtro

Pesos compartidos

Submuestreo o agrupación máxima **Max pooling**

Capa completamente conectada (**clasificación**)



## Resumen: Capa convolucional



**Rejilla rectangular de neuronas.**

**Entrada desde una sección rectangular de la capa anterior.**

**Los pesos son iguales para cada neurona.**

**Convolución de imágenes de la capa anterior.**

**Los pesos especifican filtros convolucionales**

**Varias cuadrículas en cada capa, cada cuadrícula toma las entradas de todas las capas utilizando diferentes filtros**



## Resumen: Capa Max pooling



**Toma bloques más pequeños de la capa convolucional.**

**Submuestrea para producir una salida sencilla de ese bloque.**

**Varias formas: media, máxima o combinación lineal aprendida de neuronas.**

**La capa Max pool saca el máximo de cada bloque**



## **Resumen: Capa completamente conectada**



**Razonamiento de alto nivel en redes neuronales**

**Toma todas las neuronas de la capa anterior y las conecta a cada una de las neuronas que tiene.**

**Estas no están localizadas espacialmente (se visualizan de forma unidimensional)**

**Por lo tanto, no hay capas convolucionales después de la capa totalmente conectada**



## Redes CNN



La estructura de red diseñada extrae características relevantes, restringiendo los pesos neuronales de una capa a un campo perceptivo local en la capa anterior.

Así, se obtiene el mapa de características en la segunda capa.

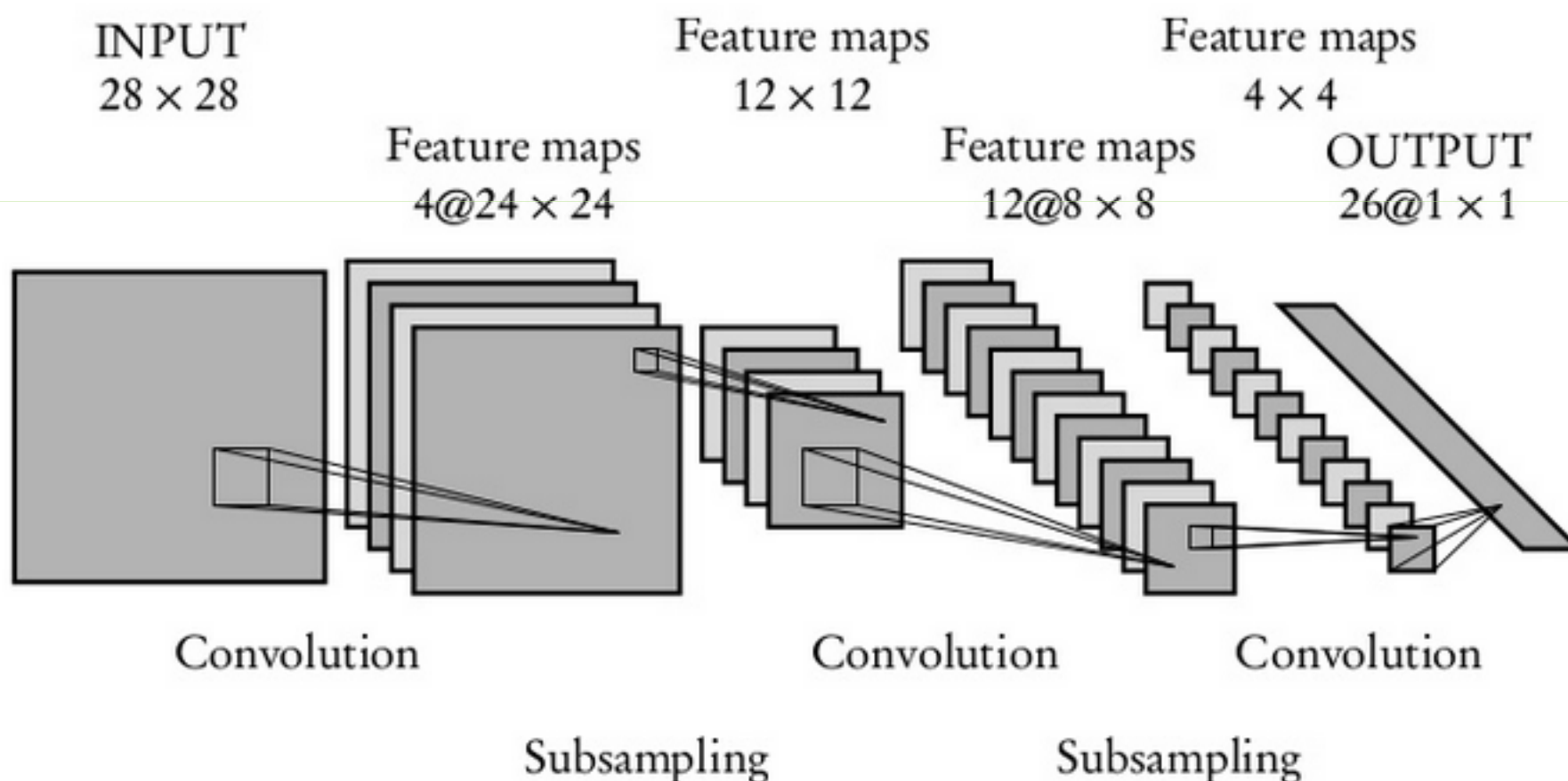
El grado de cambio en la desviación y distorsión se logra al reducir la resolución espacial del mapa de características





## Red CNN con seis capas

**3 capas convolucionales,  
2 de Pooling,  
1 completamente conectada**





## Resumen: Retropropagación de error



En el mapa de características, todas las neuronas comparten el mismo peso y sesgo, por lo que el número de parámetros es menor que en el perceptrón multicapa completamente conectado, lo que lleva a una reducción del computo.

Las capas de submuestreo / agrupamiento o “pooling” tienen un peso y un sesgo entrenables, por lo que el número de parámetros libres es aún menor.

Debido al bajo número de parámetros libres, el entrenamiento de las redes CNN requiere mucho menos coste computacional que el entrenamiento del perceptrón multicapa



## EJEMPLO: Sistema de procesamiento de imágenes con un robot móvil

Sistema de procesamiento de imágenes con robot móvil.

**Tarea:** detectar y caracterizar grietas y daños en paredes de tuberías de alcantarillado.

Utiliza cámara CCD monocromo

**Tarea para la red CNN**

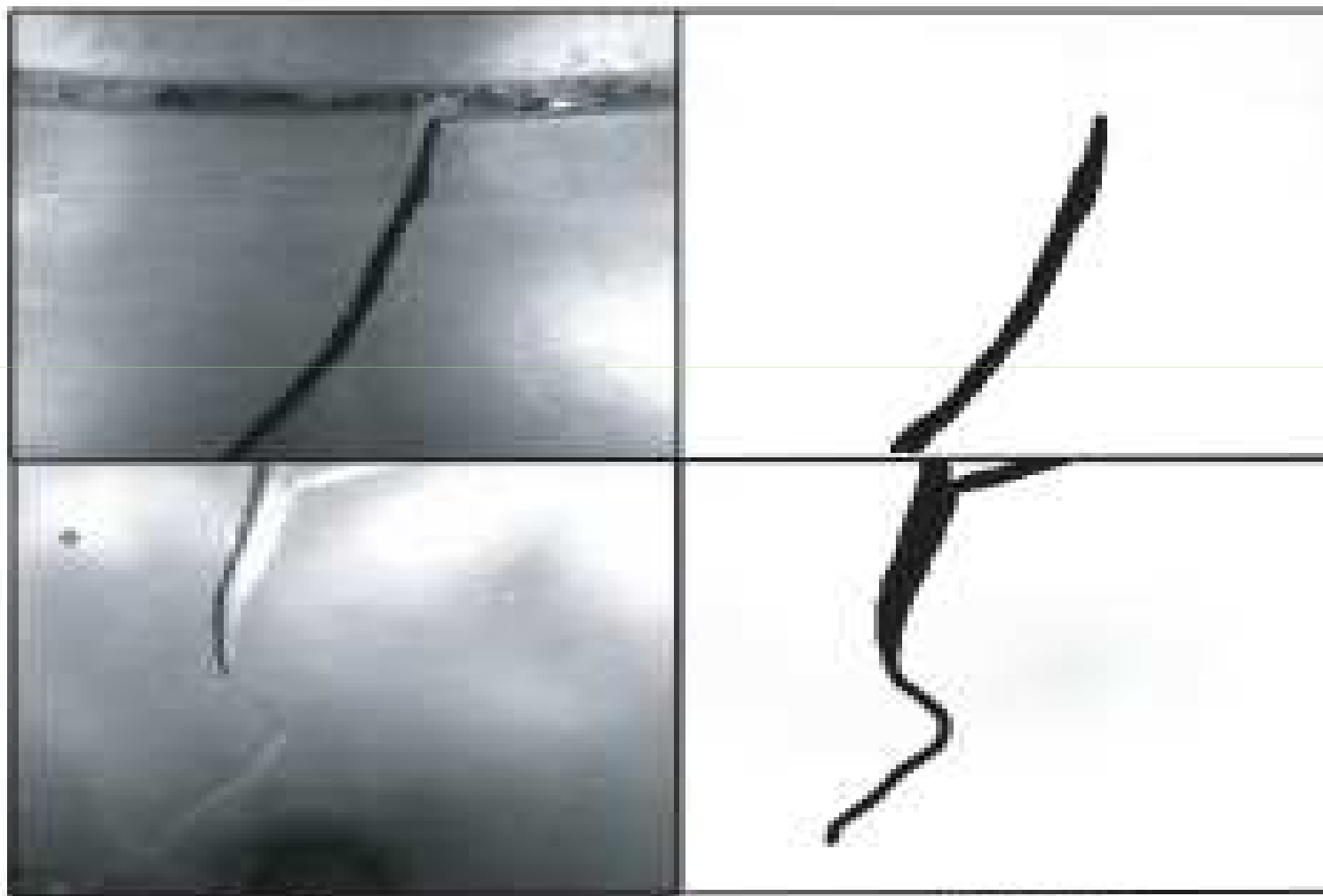
filtrar datos sin procesar

Identificar localización espacial de grietas.

Habilitar la caracterización del largo, ancho del daño.



## Ejemplo de imágenes de entrada y salida para grietas grandes en una tubería concreta



input image

target image



## Ejemplo



**Característica horizontal - junta de tubería**

**Desafíos significativos para el sistema de filtrado.**

**Diferenciación entre tuberías y uniones.**

**Contabilidad de sombras y efectos de iluminación.**



## Ejemplo

**El entrenamiento se realizó utilizando las reglas de actualización de peso estándar y aproximadamente el 93% de los píxeles en el conjunto de validación se clasificaron correctamente**

**No todos los píxeles fueron utilizados para el entrenamiento.**

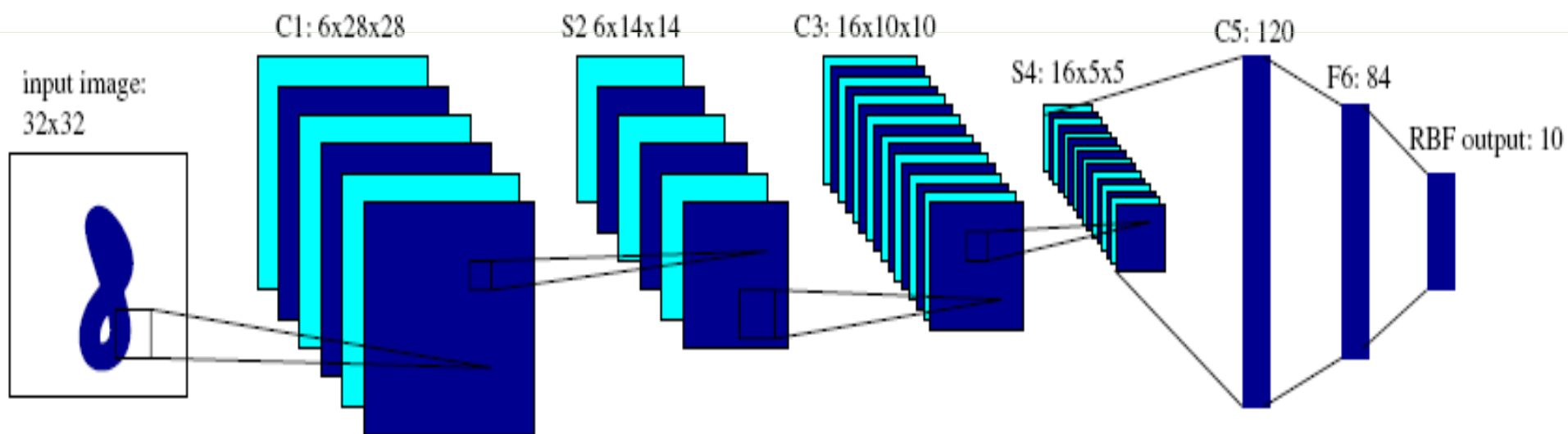
**La baja proporción de muestras de entrenamiento de 'crack' a 'limpias' tendió a desviar la red hacia la clasificación de todas las muestras como 'limpias'**



# LeNet5



- Introducido por LeCun.
- Imágenes en crudo de  $32 \times 32$  pixels como entrada

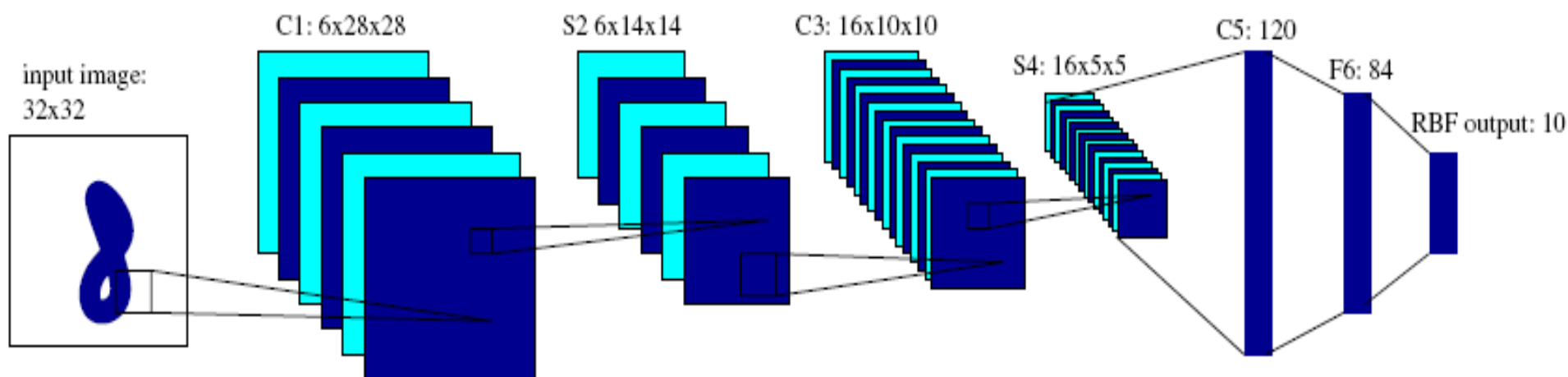




# LeNet5



- ☯ C1,C3,C5 : Capa Convolucional.
- ☯  $5 \times 5$  Matriz de Convolucion.
- ☯ S2 , S4 : Capa de submuestreo.
- ☯ Submuestreo por un factor de 2.
- ☯ F6 : Capa completamente conectada.





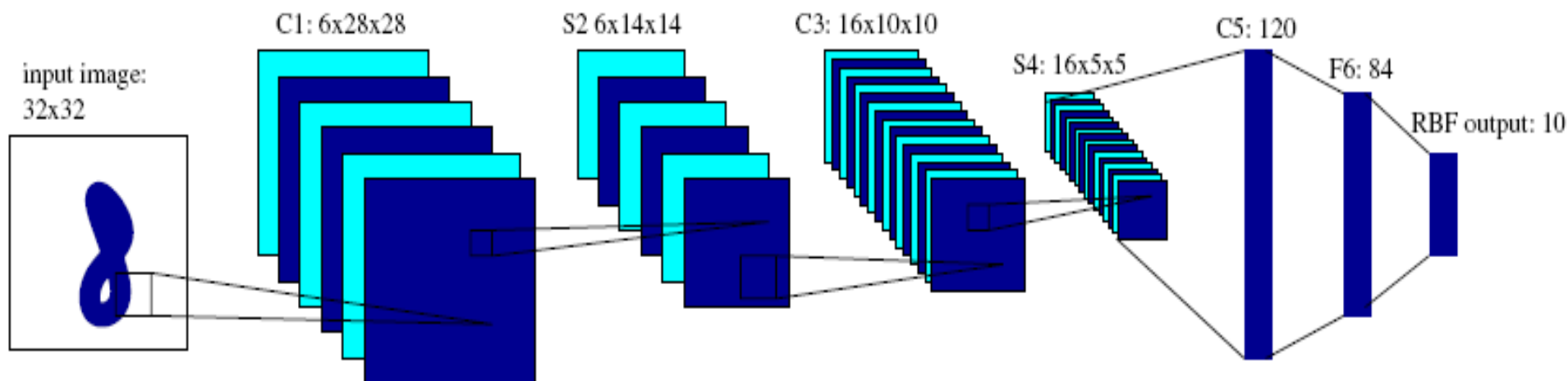


# LeNet5



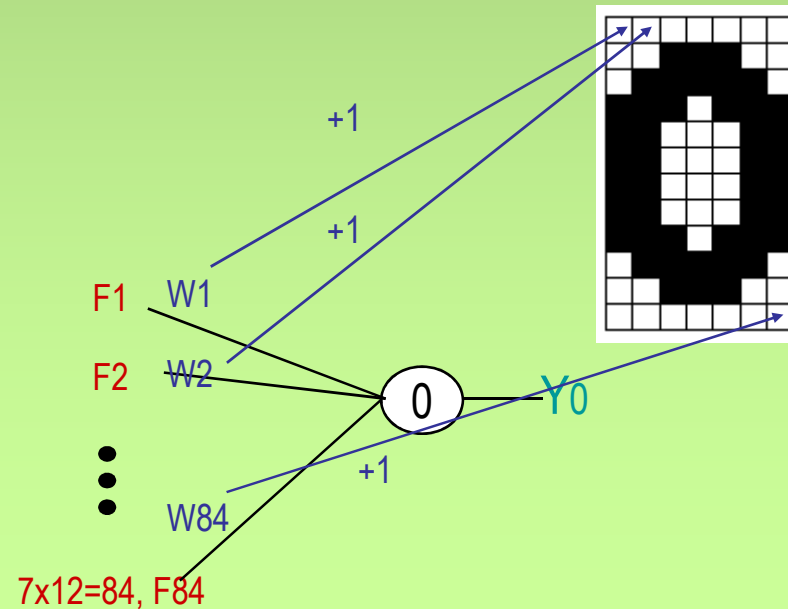
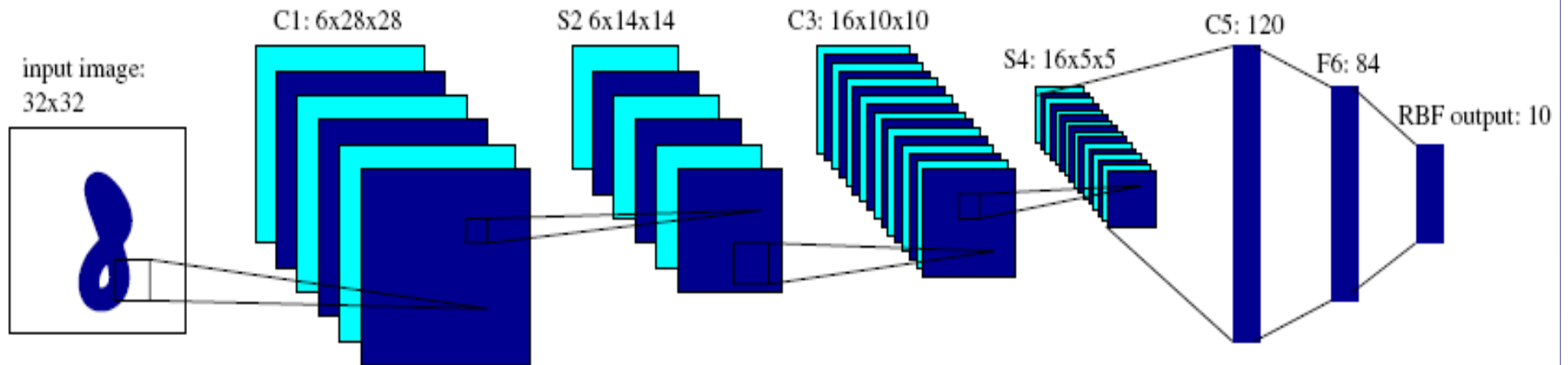
- Todas las unidades de las capas hasta F6 tienen una función de activación sigmoideal del tipo:

$$y_j = \varphi(v_j) = A \tanh(Sv_j)$$





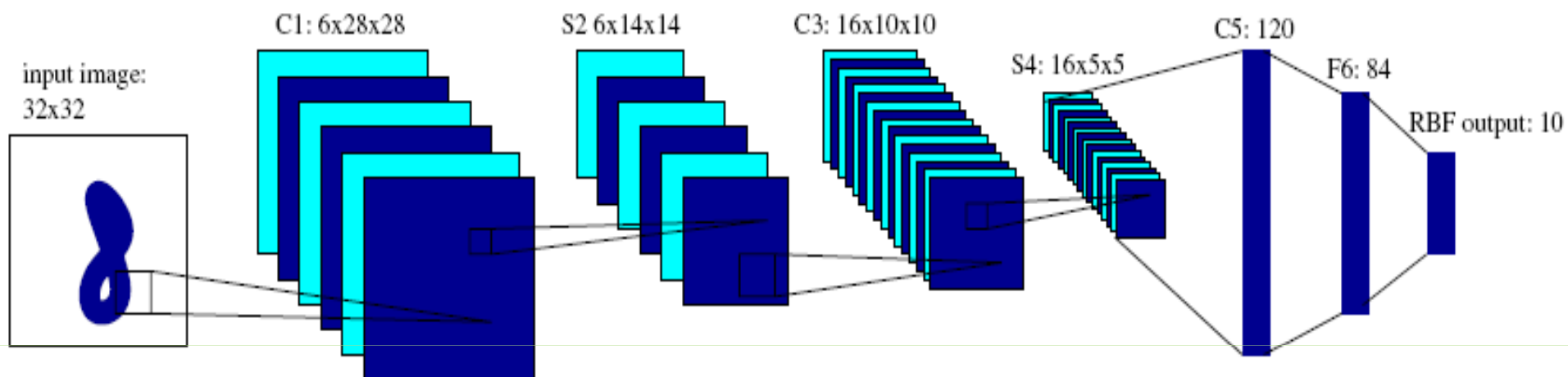
# LeNet5



$$Y_j = \sum_{i=1}^{84} (F_i - W_{ij})^2, j = 0, \dots, 9$$



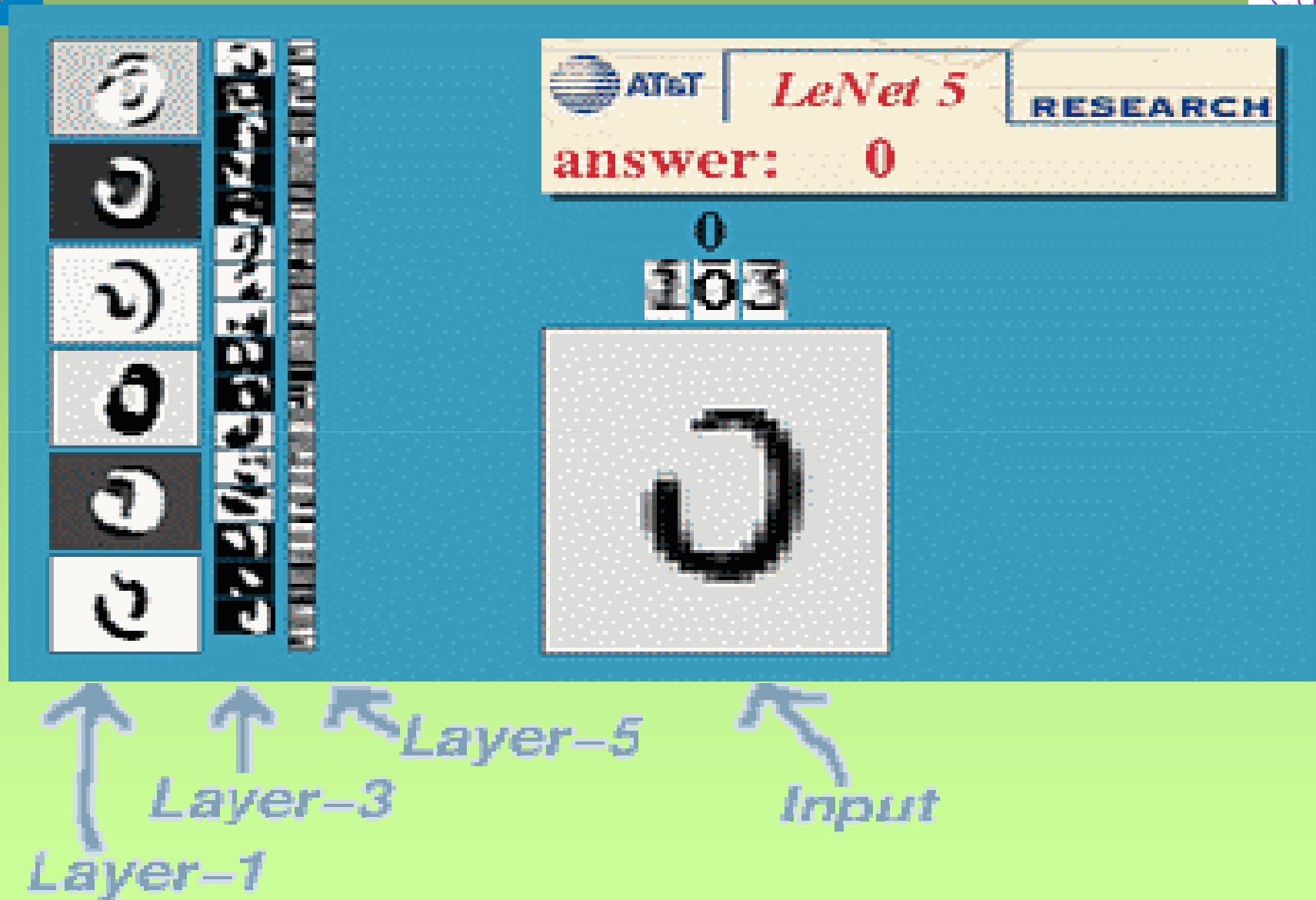
# LeNet5



- ☯ Alrededor de 187.000 conexiones.
- ☯ Alrededor de 14.000 pesos entrenables.



# LeNet5





# Comparación



**Base de datos: MNIST (60,000 dígitos escritos a mano)**

**Distorsión afín: traslación, rotación.**

**Deformaciones elásticas: correspondientes a oscilaciones incontroladas de los músculos de la mano.**

**Redes MLP (3): tiene 800 unidades ocultas**



## Comparación



Algorithm	Distortion	Error	Ref.
2 layer MLP (MSE)	affine	1.6%	[3]
SVM	affine	1.4%	[9]
Tangent dist.	affine+thick	1.1%	[3]
Lenet5 (MSE)	affine	0.8%	[3]
Boost. Lenet4 MSE	affine	0.7%	[3]
Virtual SVM	affine	0.6%	[9]
2 layer MLP (CE)	none	1.6%	this paper
2 layer MLP (CE)	affine	1.1%	this paper
2 layer MLP (MSE)	elastic	0.9%	this paper
2 layer MLP (CE)	elastic	0.7%	this paper
Simple conv (CE)	affine	0.6%	this paper
Simple conv (CE)	elastic	<b>0.4%</b>	this paper



## Desventajas



Desde el punto de vista de la memoria y la capacidad, la red CNN no es mucho más grande que una red normal de dos capas.

En tiempo de ejecución las operaciones de convolución son computacionalmente costosas y ocupan aproximadamente el 67% del tiempo.

Las CNN son aproximadamente 3 veces más lentas que sus equivalentes completamente conectadas (en cuanto al tamaño).



# Desventajas



## **Operación de convolución**

4 bucles anidados (2 bucles en la imagen de entrada y 2 bucles en el núcleo)

## **Tamaño de filtro pequeño**

hacen que los bucles internos sean muy ineficientes ya que con frecuencia JMP.

## **Acceso a la memoria complicado**

La propagación hacia atrás requiere tanto de la fila como de la columna para acceder a la imagen de entrada y la imagen del filtro.

Las imágenes 2-D están representadas en un orden serializado en fila.

El acceso por columnas a los datos puede dar una alta tasa efectiva de fallos en el subsistema de memoria.





# Referencias



- [1].Y. LeCun and Y. Bengio.“Convolutional networks for images, speech, and time-series.” In M. A. Arbib, editor, *The Handbook of Brain Theory and Neural Networks*. MIT Press, 1995.
- [2].Fabien Lauer, ChingY. Suen, Gérard Bloch,”A trainable feature extractor for handwritten digit recognition“,Elsevier, october 2006.
- [3].Patrice Y. Simard, Dave Steinkraus, John Platt, "Best Practices for Convolutional Neural Networks Applied to Visual Document Analysis," International Conference on Document Analysis and Recognition (ICDAR), IEEE Computer Society, Los Alamitos, pp. 958-962, 2003.